



รายงานการวิจัย

ปัจจัยที่มีผลต่อกำลังของดินซีเมนต์บดอัดสำหรับงานถนน

(Factors Influencing Strength Development of Cement Stabilized Soils for Road Construction)

คณะผู้วิจัย

หัวหน้าโครงการ
ผู้ช่วยศาสตราจารย์ ดร.สุขสันติ หอพินุลสุข
สาขาวิชาวิศวกรรมโยธา
สำนักวิชาวิศวกรรมศาสตร์
มหาวิทยาลัยเทคโนโลยีสุรนารี

ได้รับทุนอุดหนุนการวิจัยจากมหาวิทยาลัยเทคโนโลยีสุรนารี ปีงบประมาณ 2547

ผลงานวิจัยเป็นความรับผิดชอบของหัวหน้าโครงการวิจัยแต่เพียงผู้เดียว

กุมภาพันธ์ 2548



รายงานการวิจัย

ปัจจัยที่มีผลต่อกำลังของดินซีเมนต์บดอัดสำหรับงานถนน

(Factors Influencing Strength Development of Cement Stabilized Soils for Road Construction)

คณะผู้วิจัย

หัวหน้าโครงการ
ผู้ช่วยศาสตราจารย์ ดร.สุขสันติ หอพินุลสุข
สาขาวิชาศิวกรรมโยธา
สำนักวิชาศิวกรรมศาสตร์
มหาวิทยาลัยเทคโนโลยีสุรนารี

ได้รับทุนอุดหนุนการวิจัยจากมหาวิทยาลัยเทคโนโลยีสุรนารี ปีงบประมาณ 2547

ผลงานวิจัยเป็นความรับผิดชอบของหัวหน้าโครงการวิจัยแต่เพียงผู้เดียว

กุมภาพันธ์ 2548

กิตติกรรมประกาศ

งานวิจัยนี้จะสำเร็จลุล่วงมีได้ หากปราศจากการช่วยเหลือจากบุคคลและหน่วยงานต่างๆ ที่เกี่ยวข้อง การกล่าวขอบคุณบุคคลที่มีส่วนช่วยเหลือให้ครบถ้วนเป็นอาจเป็นไปไม่ได้ ผู้เขียนต้องขอกล่าวขอ ขมาณາ ณ ที่นี่ด้วย หากมิได้กล่าวนามของท่าน

ผู้เขียนขอขอบคุณมหาวิทยาลัยเทคโนโลยีสุรนารี เป็นอย่างยิ่ง ซึ่งเป็นผู้ให้ทุนอุดหนุนการ วิจัย ปีงบประมาณ 2547

ผู้เขียนขอขอบคุณ พศ. ดร.สุเทพ อุษาะ ผู้อำนวยการศูนย์เครื่องมือวิทยาศาสตร์และ เทคโนโลยี ซึ่งอำนวยความสะดวกในการปฏิบัติงานในห้องปฏิบัติการทุกด้าน งานวิจัยนี้จะไม่ สามารถเสร็จสิ้นอย่างสมบูรณ์ได้ ถ้าปราศจากความช่วยเหลือในการปฏิบัติงานในห้องปฏิบัติการ อย่างแข็งขัน การวิเคราะห์ผลทดสอบ และคำปรึกษาในด้านการนำเสนอผลงาน จาก อาจารย์รุ่งลาวลัย ราชัน คุณวรรษัย เกยกัน และคุณวันชัย ศิริเลิศวัฒนา

สุดท้ายนี้ ผู้เขียนขอขอบคุณ รองศาสตราจารย์ ดร. อำนาจ อกิชาติวัลลภ เป็นอย่างสูง ซึ่ง เป็นผู้ตรวจสอบความชัดเจนที่ได้นำเสนอในวารสารระดับนานาชาติ

สุขสันติ หอพินิจสุข
หัวหน้าโครงการวิจัย
กุมภาพันธ์ 2548

บทคัดย่อ

การซ่อมแซมถนนที่ชำรุดเนื่องจากการใช้งานมาเป็นเวลานาน โดยวิธีการหมุนเวียนวัสดุชั้นทางเดินมาใช้ใหม่เป็นวิธีที่นิยมใช้กันอย่างมากในประเทศไทยขณะนี้ แต่การศึกษาการพัฒนาがらสังอัคของคินซีเมนต์ในห้องปฏิบัติการและในสนามยังมีอยู่อย่างจำกัด ดังนั้น งานวิจัยนี้จะนำเสนอลักษณะทางวิศวกรรมและลักษณะการฟกรอบด้วยของคินบดอัดและคินผสมซีเมนต์บดอัด และท้ายสุดจะสร้างแบบจำลองทำงานยกอัคของคินซีเมนต์ในห้องปฏิบัติการและในสนาม

จากการศึกษารากฐานการฟกรอบด้วยของคินเม็ดละอีดและคินเม็ดหยาบ พบว่า เส้นกราฟการบดอัดทางค้านแห่งของคินบดอัดชนิดหนึ่งๆ ถูกควบคุมโดยตัวแปร $m/S^{0.5}$ ถึงแม้ว่าคินบดอัดจะมีปริมาณความชื้นและหน่วยน้ำแห้งต่างกัน แต่ตัวแปร $m/S^{0.5}$ จะมีค่าคงที่สำหรับทุกผลลัพธ์งานการบดอัด ตัวแปร $(m/S^{0.5})/(m/S^{0.5})_0$ ถูกสร้างขึ้นเพื่อจัดอิทธิพลของชนิดของคิน โดยอาศัยตัวแปรดังกล่าว ผู้วิจัยได้นำเสนอแบบจำลองจากการสังเกต ซึ่งนอกจากจะสามารถใช้สร้างกราฟการบดอัดได้กับคินทุกชนิดและทุกผลลัพธ์งานการบดอัดแล้ว ยังสามารถประมาณค่าพัฒนาการบดอัดที่ต้องใช้เพื่อให้ได้ค่าปริมาณความชื้นเหมาะสมและหน่วยน้ำหนักแห้งสูงสุดที่ต้องการ อีกทั้งยังสามารถใช้ตรวจสอบความถูกต้องของผลการทดสอบในห้องปฏิบัติการได้อีกด้วย

ผลทดสอบการบดอัดและกำลังอัดแกนเดียวของคินซีเมนต์ในห้องปฏิบัติการแสดงให้เห็นว่า ความสัมพันธ์ระหว่างหน่วยน้ำหนักแห้งและปริมาณความชื้นของคินซีเมนต์มีลักษณะที่เหมือนกันโดยไม่แปรผันตามปริมาณซีเมนต์ ปริมาณความชื้นที่ให้กำลังอัดสูงสุดคือปริมาณความชื้นเหมาะสมสมมารตรในช่วงปริมาณความชื้นอยู่ระหว่าง 80 ถึง 120 เปอร์เซ็นต์ ของปริมาณความชื้นเหมาะสม ที่ค้านเปียกของปริมาณความชื้นเหมาะสม และที่อายุบ่มหนึ่งๆ กำลังอัดของคินซีเมนต์บดอัดแปรผันตามอัตราส่วนปริมาณความชื้นต่อปริมาณซีเมนต์ พลังงานการบดอัดมีได้มีอิทธิพลโดยตรงกับการเพิ่มขึ้นของกำลังอัด เพียงแต่ช่วงลดปริมาณความชื้นเหมาะสม นอกเหนือนี้ ยังพบว่าอัตราการเพิ่มขึ้นของกำลังอัดแปรผันตามอายุบ่มเพียงอย่างเดียว โดยไม่ขึ้นอยู่กับชนิดของคิน ปริมาณความชื้นปริมาณซีเมนต์ จากความรู้ทั้งหมดนี้ ผู้วิจัยได้นำเสนอแบบจำลองทำงานยกอัคของคินซีเมนต์บดอัด ซึ่งสามารถทำงานยกอัคของคินผสมซีเมนต์ ที่ปริมาณความชื้น ปริมาณซีเมนต์ พลังงานการบดอัด และอายุบ่มใดๆ ได้ เพียงมีผลทดสอบกำลังอัดของคินซีเมนต์บดอัดที่อายุบ่มและปริมาณความชื้นที่ค้านเปียกของปริมาณความชื้นเหมาะสมเพียงค่าเดียว จากแบบจำลองที่สร้างขึ้นนี้ร่วมกับผลทดสอบในสนาม ผู้วิจัยได้นำเสนอขั้นตอนการทำงานการปรับปรุงถนนด้วยวิธีหมุนเวียนวัสดุชั้นทางเดินมาใช้ใหม่ โดยพิจารณาอิทธิพลของวิธีการบดอัดและสภาพการบ่มต่อกำลังอัดของคินซีเมนต์บดอัดในสนาม

ABSTRACT

In Thailand, the pavement recycling technique is a well-known method for repairing damaged roads due to overloaded for a long time. However, studies on the laboratory and field strength development in cement stabilized soils are still limited. This research thus presents engineering behavior and characteristics of compaction curves of compacted soil and cement stabilized soil (compacted cement-soil). Finally, a model for predicting laboratory and field strength development in cement stabilized soils would be introduced.

From the study on characteristics of compaction curves of fine and coarse grained soils, it is found that for a given soil compacted on the dry side of optimum, the $m/S^{0.5}$ is practically constant for a particular compaction energy, even with the change in moisture content and dry unit weight. The parameter, $(m/S^{0.5})/(m/S^{0.5})_{st}$, is introduced to take the effect of soil type into account. Using this parameter, the phenomenological model is developed. It is useful not only for predicting compaction curves wherein the compaction energy varies over a wide range, but also for justifying the laboratory test results.

It is revealed from laboratory compaction and unconfined compression tests of cement stabilized soils, that dry unit weight and water content relationship is similar and irrespective of cement content. Water content corresponding to the maximum compressive strength is the optimum water content of the compacted soil. In the range of water content between 80 to 120 percentages of optimum water content, the relationship between compressive strength and water content of the cement stabilized soil is symmetry. At wet side of optimum and a particular curing time, the strength of cement stabilized soil is dependent upon the soil-water/cement ratio, w/C . The compaction energy does not directly impart the strength, but its role is to reduce the optimum water content. The rate of strength development depends on only curing time, regardless of soil type, water content, cement content and compaction energy. Based on the knowledge gained from this study, the model for predicting strength of cement stabilized soil is proposed. It can assess the strength of cement stabilized soil in which the water content, cement content and compaction energy vary over a wide range using a trial test. From this proposed model and the field test, a suggested procedure for repairing the damaged road by the pavement recycling technique is introduced taking the effect of the effect of compaction method and curing condition into account.

สารบัญ

	หน้า
กิตติกรรมประกาศ.....	๗
บทคัดย่อภาษาไทย.....	๘
บทคัดย่อภาษาอังกฤษ.....	๙
สารบัญ.....	๑
สารบัญตาราง.....	๒
สารบัญรูปภาพ.....	๓
บทที่ 1 บทนำ	
1.1 ความสำคัญและที่มาของปัจจุบัน.....	1
1.2 วัตถุประสงค์.....	4
1.3 ขอบเขตงานวิจัย.....	4
บทที่ 2 ปริพัฒน์วรรณกรรมงานวิจัยที่เกี่ยวข้อง	
2.1 ประวัติความเป็นมาของการปรับปรุงดินด้วยสารผสมเพิ่ม.....	5
2.2 ประเภทของดินซีเมนต์.....	6
2.3 ปอร์ตแลนด์ซีเมนต์ (Portland Cement).....	6
2.3.1 สารประกอบในปูนซีเมนต์.....	6
2.3.2 ประเภทของปูนซีเมนต์ปอร์ตแลนด์.....	7
2.4 ปฏิกิริยาทางเคมีของดินซีเมนต์.....	8
2.5 โครงสร้างดินซีเมนต์	9
2.6 อิทธิพลของแร่คินเนียร์ต่อกำลังของดินซีเมนต์.....	10
2.7 ความหนาแน่นและปริมาณความชื้นที่ใช้ในการทดสอบดินซีเมนต์.....	13
2.8 อิทธิพลของปริมาณซีเมนต์ที่มีผลต่อกำลังของดินซีเมนต์.....	13
2.9 บทบาทของพันธะเชื่อมประสานต่อคุณสมบัติทางวิศวกรรมของดิน.....	16
2.9.1 กำลังต้านทานแรงเฉือนของดิน.....	16
2.9.2 การอัดตัวอย่าง.....	17
2.9.3 สัมประสิทธิ์การซึมผ่าน.....	17
2.10 สมการทำนายกำลังของดินซีเมนต์.....	19
บทที่ 3 กำลังอัดของดินเหนียวกรุงเทพสมบูรณ์	
3.1 บทนำ.....	22

3.2 คินตัวอย่างที่ใช้ในการทดสอบ.....	23
3.3 วิธีการทดสอบ.....	23
3.4 ผลทดสอบ.....	24
3.5 การวิเคราะห์ผลทดสอบการบดอัด.....	28
3.6 การทำนายกราฟการบดอัด.....	33
บทที่ 4 กำลังอัดของคินซีเมนต์บดอัด	
4.1 บทนำ.....	36
4.2 คินตัวอย่าง.....	36
4.3 วิธีการทดสอบ.....	37
4.4 ผลทดสอบ.....	39
4.5 ลักษณะทางวัสดุของคินเม็ดขยายและคินเม็ดขยายผสมซีเมนต์บดอัด.....	43
4.6 ทฤษฎีกำลังอัดของคินซีเมนต์บดอัด.....	47
4.7 ความสัมพันธ์ระหว่างกำลังอัดและระยะบ่ำນ.....	52
4.8 ความสัมพันธ์ระหว่างกำลังอัด อัตราส่วนปริมาณความชื้นต่อปริมาณซีเมนต์ และอายุบ่ำນ.....	57
4.9 การประยุกต์ใช้แบบจำลองในการทำนายกำลังอัดของคินซีเมนต์บดอัดใน สนาม.....	60
4.10 ข้อเสนอแนะในการทำงานทั้งในห้องปฏิบัติการและในสนาม.....	65
บทที่ 5 บทสรุป	68
เอกสารอ้างอิง.....	70
ประวัตินักวิจัย.....	75

สารบัญตาราง

	หน้า
2.1 ออกไชค์ต่างๆ ที่เป็นองค์ประกอบของปูนซีเมนต์ปอร์ตแลนด์.....	6
2.2 สารประกอบหลักที่รวมอยู่ในปูนซีเมนต์ปอร์ตแลนด์.....	6
4.1 ปริมาณความชื้นเหมาะสมและหน่วงน้ำหนักแห้งสูงสุดของดินลูกรัง (1) และหินคลุก...	38
4.2 การคำนวณกำลังอัดแกนเดียวของดินลูกรังผสมซีเมนต์บดอัด (LL = 36%, PL = 16%) (ธีรชาติและสมบัติกระแสง, 2544).....	59
4.3 การคำนวณกำลังอัดแกนเดียวของดินซีเมนต์บดอัด ที่มีอัตราส่วนดินลูกรัง (2) : หินคลุก 80 : 20.....	60

สารบัญรูป

	หน้า
2.1 โครงสร้างของดินซีเมนต์ (Mitchell และ Jack, 1966).....	9
2.2 อิทธิพลของแร่ดินเหนียวที่มีผลต่อกำลังอัดแกนเดียวยของดินซีเมนต์ที่ปริมาณซีเมนต์ร้อยละ 8 (Davidson, 1962).....	10
2.3 อิทธิพลของแร่ดินเหนียวที่มีผลต่อกำลังอัดแกนเดียวยของดินซีเมนต์ที่ปริมาณซีเมนต์ร้อยละ 12 (Davidson, 1962).....	10
2.4 อิทธิพลของแร่ดินเหนียวที่มีผลต่อกำลังอัดแกนเดียวยของดินซีเมนต์ที่ปริมาณซีเมนต์ร้อยละ 16 (Davidson, 1962).....	11
2.5 ความสัมพันธ์ระหว่างกำลังอัดกับอายุการบ่มของ trajectory ที่มีขนาดคละสม่ำเสมอ และดินตะกอนปนดินเหนียว (Grimer และ Krawezyk ,1963).....	11
2.6 อิทธิพลเนื่องจากปริมาณซีเมนต์และอายุการบ่มต่อกำลังอัดของดิน Loamy Sand (Felt, 1965).....	13
2.7 อิทธิพลเนื่องจากปริมาณซีเมนต์และอายุการบ่มต่อกำลังอัดของดิน Medium Clay (Felt, 1965).....	14
2.8 อิทธิพลเนื่องจากปริมาณซีเมนต์และอายุการบ่มต่อกำลังอัดของดิน Silty Clay (Felt, 1965).....	15
2.10 ความสัมพันธ์ระหว่างความเค้นเบี้ยงเบนและความเค้นประสิทธิผล (Horpibulsuk et al., 2004).....	16
2.11 การอัดตัวคาน้ำของดินเหนียวกรุ่นเทพผสมซีเมนต์ เปรียบเทียบกับดินเหนียวกรุงเทพไรีพันธะเชื่อมประสาน (สุขสันต์ และ รุ่งลาวัลย์ , 2546).....	17
2.12 ความสัมพันธ์ระหว่างอัตราโพรงและสัมประสิทธิ์การซึมผ่านของดินเหนียวไรีพันธะเชื่อมประสาน และดินเหนียวซีเมนต์ (สุขสันต์ และ รุ่งลาวัลย์ , 2546).....	17
2.13 การเพิ่มขึ้นของกำลังรับแรงอัดแกนเดียวยของดินซีเมนต์ (Horpibulsuk et al., 2003).....	20
3.1 การกระจายขนาดเม็ดดินของดินตัวอย่างทดสอบ.....	24
3.2 ผลทดสอบการบดอัดของดินเหนียวปนดินตะกอนที่พลังงานการบดอัดต่างๆ	25
3.3 ผลทดสอบการบดอัดของดินลูกรังที่พลังงานการบดอัดต่างๆ	25
3.4 ผลทดสอบการบดอัดของหินคลุกที่พลังงานการบดอัดต่างๆ	26
3.5 ผลทดสอบการบดอัดของดินแม่คละเอียดต่างๆ ภายใต้พลังงานการบดอัดที่ 592.5 กิโลกรัมต่อถูกบาลานซ์เมตร.....	27

3.6 รูปแบบจำลองเส้นกราฟการบดอัดครูปตัววีกลับหัว.....	27
3.7 ความสัมพันธ์ระหว่างปริมาณความชื้นและพลังงานการบดอัดของดินเหนียวป่นดิน ตะกอนและเส้น Normalization.....	28
3.8 ความสัมพันธ์ระหว่างปริมาณความชื้นและพลังงานการบดอัดของหินคลุกและเส้น Normalization	29
3.9 ตัวแปร $m/S^{0.5}$ และพลังงานของดินทั้งสามชนิดและอัตราส่วนของ $(m/S^{0.5})/(m/S^{0.5})_{st}$ ที่ พลังงานต่างๆ.....	30
3.10 ความสัมพันธ์ระหว่าง OMC และพลังงานการบดอัด ร่วมกับ Normalization.....	32
3.11 ความสัมพันธ์ระหว่าง γ_{dmax} พลังงานการบดอัด ร่วมกับ Normalization.....	33
3.12 เส้นกราฟการบดอัดดินที่ได้จากผลทดสอบและการทำนายของดินลูกรัง.....	34
3.13 เส้นกราฟการบดอัดดินที่ได้จากผลทดสอบและการทำนายของดินเหนียวป่นดินตะกอน	35
4.1 การกระจายตัวของดินลูกรังและหินคลุก.....	37
4.2 กราฟการบดอัดของดินลูกรัง (1).....	38
4.3 กราฟการบดอัดของหินคลุก.....	39
4.4 ความสัมพันธ์ระหว่างปริมาณชื้น-ความหนาแน่นแห้ง-กำลังอัดแกนเดียวยขอ. กินลูกรัง ที่อายุบ่ำ 14 วัน ภายใต้พลังงานการบดอัดครึ่งหนึ่งของพลังงานการบดอัดแบบ มาตรฐาน.....	40
4.5 ความสัมพันธ์ระหว่างปริมาณชื้น-ความหนาแน่นแห้ง-กำลังอัดแกนเดียวยขอหิคลุก ที่ อายุบ่ำ 28 วัน ภายใต้พลังงานการบดอัดครึ่งหนึ่งของพลังงานการบดอัดแบบสูงกว่า มาตรฐาน.....	41
4.6 ผลทดสอบแรงอัดแกนเดียวยของดินลูกรังผสมซีเม็นต์บดอัด ที่อายุบ่ำต่างๆ ภายใต้ พลังงานการบดอัดแบบมาตรฐาน.....	42
4.7 อิทธิพลของพลังงานการบดอัดต่อกำลังอัดของดินซีเม็นต์.....	42
4.8 อิทธิพลของชนิดดินต่อกำลังอัดของดินซีเม็นต์.....	43
4.9 ผลทดสอบกำลังอัดแกนเดียวยของดินลูกรังบดอัด ที่บดอัดด้วยพลังงาน 592.5 กิโลจูล ต่อลูกบาศก์เมตร.....	44
4.10 ภาพถ่ายโครงสร้างชุลภาคของดินลูกรังบดอัดและดินลูกรังซีเม็นต์บดอัด (อายุบ่ำ 7 วัน) ภายใต้พลังงานการบดอัดที่ 293.3 กิโลจูลต่อลูกบาศก์เมตร	45
4.11 (a) แบบจำลองโครงสร้างดินเม็ดหยาบผสมซีเม็นต์บดอัด (b) แรงที่เกิดขึ้นระหว่างเม็ด ดินหลังผสมซีเม็นต์.....	46
4.12 โซนการปรับปรุงคุณภาพดินด้วยซีเม็นต์บดอัด.....	47

4.13 ผลกระทบแรงอัดแกนเดี่ยวของหินคลุกผสมซีเมนต์บดอัด ที่ค่า w/C ต่างกันสามค่า คือ 0.5, 2.0 และ 4.0 ภายใต้พลังงานการบดอัดที่ 1346.6 กิโลปascal	48
4.14 ผลกระทบแรงอัดแกนเดี่ยวของหินคลุกผสมซีเมนต์บดอัด ที่ค่า w/C เท่ากัน แต่ พลังงานการบดอัดและปริมาณความชื้นต่างกัน ที่อายุบ่ม 14 วัน.....	49
4.15 ความสัมพันธ์ระหว่างกำลังอัดและ w/C ของดินลูกรังผสมซีเมนต์บดอัด ที่อายุบ่ม 14 และ 60 วัน.....	50
4.16 ความสัมพันธ์ระหว่างกำลังอัดแกนเดี่ยวและ w/C ของดินลูกรังซีเมนต์บดอัด.....	51
4.17 ความสัมพันธ์ระหว่างกำลังอัดแกนเดี่ยวและ w/C ของหินคลุกซีเมนต์บดอัด.....	52
4.18 ความสัมพันธ์ระหว่างกำลังอัดแกนเดี่ยวและอายุบ่มของดินลูกรัง (1) ซีเมนต์บดอัด ด้านเปียก ที่พลังงานการบดอัดเท่ากับ 592.5 กิโลจูลต่อลูกบาศก์เมตร.....	53
4.19 ความสัมพันธ์ระหว่างกำลังอัดแกนเดี่ยวและอายุบ่มของดินลูกรังซีเมนต์บดอัดด้าน เปียก ที่พลังงานการบดอัดเท่ากับ 592.5 กิโลจูลต่อลูกบาศก์เมตร.....	53
4.20 ความสัมพันธ์ระหว่างกำลังแกนเดี่ยวและอายุบ่มของดินลูกรังซีเมนต์บดอัดที่พลังงาน การบดอัดต่างๆ และการ Normalization.....	55
4.21 ความสัมพันธ์ระหว่างกำลังแกนเดี่ยวและอายุบ่มของหินคลุกซีเมนต์บดอัดที่พลังงาน การบดอัดต่างๆ และการ Normalization.....	56
4.22 Normalized strength development ของดินลูกรังและหินคลุกซีเมนต์บดอัด.....	57
4.23 แบบจำลองกำลังอัดแกนเดี่ยวของดินซีเมนต์บดอัด.....	58
4.24 หน่วยน้ำหนักแห้งและปริมาณความชื้นของดินซีเมนต์บดอัดในสถานะ	61
4.25 อัตราส่วนหน่วยน้ำหนักแห้งที่สถานีต่างๆ	62
4.26 กำลังอัดของดินซีเมนต์บดอัดที่ได้จากการผสมในสถานะและทำการบดอัดใน ห้องปฏิบัติการและโดยรอบบดอัดที่อายุบ่ม 7 วัน.....	63
4.27 ผลเปรียบเทียบกำลังอัดของดินซีเมนต์บดอัดที่ได้จากการผสมในสถานะและบดอัดด้วย รอบบดอัดกับกำลังอัดของดินซีเมนต์บดอัดที่ได้จากการผสมในสถานะและบดอัดใน ห้องปฏิบัติการ ที่อายุบ่ม 7 วัน.....	64
4.28 การทำนายกำลังอัดของดินซีเมนต์ที่ผสมในสถานะและบดอัดด้วยรอบบดอัด	65
4.29 สรุปขั้นตอนการทำงานการปรับปรุงถนนด้วยวิธีหมุนเวียนวัสดุชั้นทางเดินมาใช้ใหม่..	67

บทที่ 1

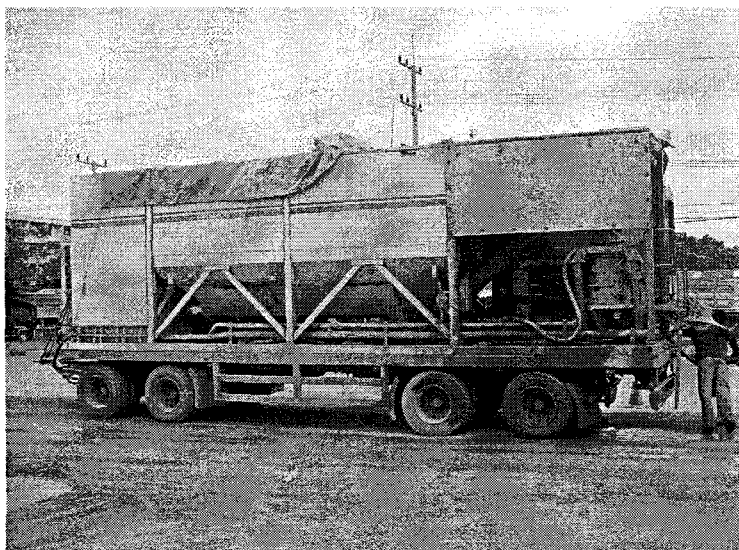
บทนำ

1.1 ความสำคัญและที่มาของปูนหิน

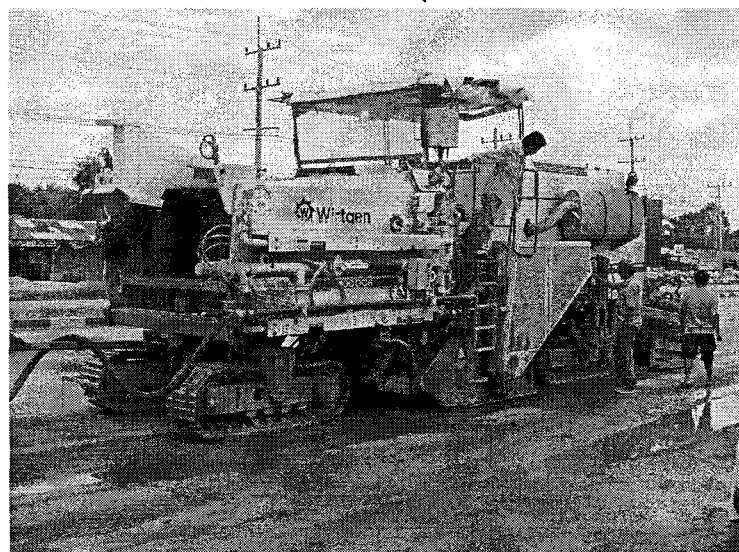
งานก่อสร้างถนนตามมาตรฐานกรมทางหลวงจำเป็นอย่างยิ่งที่จะต้องใช้วัสดุที่มีคุณสมบัติเชิงวิศวกรรมที่ดีและเหมาะสมสำหรับการบดอัดเพื่อทำชั้นพื้นทาง และชั้นรองพื้นทาง ในบางพื้นที่ที่จำเป็นต้องทำการก่อสร้าง แต่ขาดแคลนแหล่งวัสดุ หรือห่างไกลจากแหล่งวัสดุที่มีคุณสมบัติตามที่กำหนดไว้ในมาตรฐาน จะเป็นการสิ้นเปลืองอย่างมากสำหรับผู้รับจ้างที่จะต้องหาแหล่งดินที่เหมาะสม และทำการขนส่งมาขึ้นพื้นที่ก่อสร้าง ทางเลือกอีกทางที่เหมาะสมคือการผสมดินที่สามารถหาได้ในพื้นที่ก่อสร้างนั้นกับซีเมนต์และทำการบดอัด วิธีการนี้เป็นวิธีการที่ประหยัดและสามารถกำหนดและควบคุมคุณสมบัติเชิงวิศวกรรมของดินซีเมนต์ให้เป็นไปตามมาตรฐานของกรมทางหลวง โดยกำลังของดินซีเมนต์นี้จะมีกำลังเพิ่มขึ้นกับเวลา ปัจจุบันจึงได้มีการก่อสร้างถนนดินซีเมนต์เพื่อรับปูนหินดังกล่าว นอกจากนี้ กรมทางหลวงยังได้คิดค้นและใช้วิธีการหนึ่งในการปรับปรุงคุณสมบัติเชิงวิศวกรรมของถนนที่ชำรุดและไม่สามารถใช้งานได้ โดยการนำวัสดุชั้นทางเดินมาปรับปรุงคุณภาพแล้วนำมาใช้ใหม่ เพื่อให้มีคุณภาพตามรูปแบบและข้อกำหนด ในการนี้อาจจะเพิ่มเติมวัสดุผสมเพื่อปรับปรุงขนาดคละและเพิ่มปริมาณ เช่นหิน ราย soil aggregate และอื่นๆ และวัสดุผสมเพิ่มเพื่อปรับปรุงคุณภาพ เช่น ปูนซีเมนต์ ปูนขาว แอสฟัลต์ เป็นต้น การซ่อนแซมถนนของกรมทางหลวงนิยมใช้ซีเมนต์เป็นวัสดุผสมเพิ่ม วิธีการนี้เรียกว่า “การหมุนเวียนวัสดุชั้นทางเดินมาใช้งานใหม่ (Pavement recycling)” รายละเอียดเพิ่มเติมสามารถอ้างอิงได้จากมาตรฐานที่ ทล.-ม 213/2543 ข้อดีของวิธีการนี้คือประหยัดเมื่อเทียบกับการปรับปรุงและซ่อนแซมถนนโดยวิธีการอื่น และซีเมนต์ยังเป็นวัสดุที่หาได้ง่ายในประเทศไทย ซึ่งเป็นการใช้ทรัพยากรให้เกิดประโยชน์ นอกจากนี้ การซ่อนแซมสามารถทำได้อย่างรวดเร็ว รถเครื่องจักรที่ใช้ในงานซ่อนแซมประกอบด้วยส่วนประกอบสองส่วน ได้แก่ (1) ห้องควบคุม ซึ่งทำการควบคุมปริมาณซีเมนต์ ปริมาณน้ำ และความเร็วรถ ดังรูปที่ 1ก (2) ตัวกลั่นชั้นทางเดิน ขณะที่รถเครื่องจักรเคลื่อนที่ไป ตัวกลั่นนี้จะทำการกลั่นดินจากชั้นทางเดินและในขณะเดียวกันก็ผสมดินนี้กับซีเมนต์และน้ำ ดังแสดงในรูปที่ 1ก ต่อจากนั้นดินซีเมนต์ก็จะถูกบดอัดด้วยรถบดอัดให้ได้ความแน่นตามมาตรฐาน

ประวัติความเป็นมาของการใช้ดินซีเมนต์ในงานก่อสร้างอิฐบัยพอสังเบปีได้ดังนี้ Davidson (1961) กล่าวถึงเรื่องวิวัฒนาการของดินซีเมนต์ที่ได้กำเนิดขึ้นในโลกไว้ว่า กิจการรับเหมาก่อสร้างที่เกี่ยวกับการสร้างถนนในเมือง Sarasota รัฐ Florida ได้ก่อตั้งในปี 1915 น่าจะเป็นการเริ่มต้นครั้งแรกในโลกเกี่ยวกับถนนดินซีเมนต์ จากหลักฐานพบว่าถนน Oak ได้ถูกสร้างขึ้นจากการบดหิน Shell จากอ่าวมาสกับรายและซีเมนต์ ต่อจากนั้นก็นำส่วนผสมที่ได้เกลี่ยและบดอัดด้วยรถบดไอน้ำ

ที่มีน้ำหนัก 10 ตัน ซึ่งวิธีดังกล่าวเป็นวิธีก่อสร้างที่ไม่เป็นไปตามแผนที่ได้วางเอาไว้เนื่องจาก การเสียหายของเครื่องผสมคอนกรีต ในช่วงศตวรรษที่ 1920 State Highway Department ต่างๆ ในประเทศสหรัฐอเมริกา อันประกอบด้วยรัฐ Iowa, South Dakota, Ohio, California และ Texas ได้มีการทดสอบคินผสมซีเมนต์ทำถนน แต่เนื่องจากขณะนั้นยังขาดความรู้และความเข้าใจทางวิทยาศาสตร์ทำให้ไม่สามารถทำนายและอธิบายผลได้ ยังได้อ้างรายงานของ Mills (1935 และ 1936) ว่าปี ก.ศ. 1932 South California State Department ได้ทำการศึกษาส่วนผสมของคินและซีเมนต์ภายใต้การดูแลของ ดร. C.H. Moorefield หลายรูปแบบการทดลอง ซึ่งได้รายงานผลการทดสอบว่า คินผสมซีเมนต์เป็นวัสดุที่สามารถผสมเข้ากันได้และนำมาใช้เป็นวัสดุพื้นทางของถนนที่มีราคาถูกได้



ก) ห้องควบคุม



ข) ตัวกลั่นซับน้ำทางเดิม

รูปที่ 1 ก) รถเครื่องจักรสำหรับงานการหมุนเวียนวัสดุซับน้ำทางเดิมมาใช้งานใหม่ (Pavement recycling)

Terrel et al. (1979) และ Davidson (1961) ได้บันทึกตรงกันว่า เพื่อเป็นการยืนยันผลการทดลองของ South Carolina State Highway ได้เกิดความร่วมมือกันระหว่าง Bureau of Public Roads และ PCA ก่อสร้างถนนดินซีเมนต์ยาว 1.5 ไมล์ขึ้นในเมือง Johnsville ขึ้นในปี ค.ศ. 1935 ถนนสายนี้ต่อมากลายเป็นที่รู้จักว่าเป็นโครงการแรกของวิศวกรรมถนนดินซีเมนต์ Davidson (1961) ได้รายงานความสำเร็จของ South California State Highway Department และการขยายเขตของการทดลองขึ้นอีกในหลายรัฐของประเทศสหรัฐอเมริกา ในช่วงสังคมโนโลกรั้งที่ 2 ถนนดินซีเมนต์ได้ถูกนำมาใช้กับการก่อสร้างถนนบินอ่ายมาก ระหว่างปี 1941-1944 พบร่วมกับปริมาณการใช้มากถึง 22 ล้านตารางหลา ในประเทศไทย การประยุกต์ใช้ดินซีเมนต์เพื่อการสร้างถนนได้ถูกบันทึกโดย Marshall (1965) นอกจากจากการก่อสร้างถนนแล้ว ยังมีการใช้ดินซีเมนต์เป็นวัสดุรองพื้นทางของถนนคอนกรีต แหล่งทางของถนน ที่จอดรถ คลังเก็บสินค้า วัสดุรองพื้นอ่างเก็บน้ำของคูและคลอง

คุณสมบัติพื้นฐานและคุณสมบัติเชิงวิศวกรรม (Basic and engineering properties) ของดินซีเมนต์ได้ถูกศึกษาอย่างจริงจังโดย Terashi et al. (1979) และต่อมาก็ได้มีการศึกษาทางด้านนี้มากขึ้นเรื่อยๆ อาทิเช่น Kawasaki et al. (1981), Kamon and Bergado (1992), Kamaluddin and Balasubramaniam (1995) และ Nontananandh and Yupakorn (2002) งานวิจัยเหล่านี้สรุปได้ว่า ปัจจัยหลักที่มีผลต่อกำลังของดินซีเมนต์คือปริมาณน้ำ และปริมาณซีเมนต์ งานวิจัยล่าสุดอันหนึ่งที่ถูกเสนอโดย Horpibulsuk et al. (2005) และ Miura et al. (2001) แสดงให้เห็นว่าปัจจัยทั้งสองนี้สามารถรวมไว้ในตัวแปรตัวเดียวได้ ตัวแปรตัวนี้เรียกว่า Clay-water/cement ratio (w/C) และถูกนิยามว่าเป็นอัตราส่วนระหว่างปริมาณความชื้นในดินต่อปริมาณซีเมนต์ โดยน้ำหนักผึ้งแห้ง นอกจากนี้ Horpibulsuk et al. (2003) ยังได้สร้างสมการทำงานกำลังของดินซีเมนต์ที่ปริมาณซีเมนต์ปริมาณความชื้น และระยะบ่มต่างๆ โดยอาศัยผลทดสอบเพียงผลการทดสอบเดียว แต่อย่างไรก็ตาม การศึกษาของนักวิจัยเหล่านี้ยังไม่สมบูรณ์ เนื่องจากว่า ไม่มีการพิจารณาผลของพลังงานการบดอัดต่อกุณสมบัติทางวิศวกรรม ผลของพลังงานการบดอัดนี้ได้ถูกศึกษาอย่างละเอียดโดยธีรชาติและสมบัติยะแสง (2544) จากการศึกษานี้สรุปได้ว่าพลังงานการบดอัดมีผลอย่างมากต่อกำลังของดินซีเมนต์ แต่การศึกษาอันนี้ไม่ได้ศึกษาคุณสมบัติเชิงวิศวกรรมที่ปริมาณความชื้นต่างๆ นอกจากนี้จากการเปลี่ยนแปลงของปริมาณความชื้น ปริมาณซีเมนต์ ระยะบ่ม และพลังงานการบดอัดได้การศึกษาดังกล่าวทำการศึกษาเพียงแค่ที่ปริมาณความชื้นเหมาะสม (OMC) เท่านั้น ซึ่งในทางปฏิบัติบางครั้งอาจมีข้อกำหนดบางประการที่ไม่สามารถทำการบดอัดที่ปริมาณความชื้นเหมาะสม ดังนั้นจึงมีความจำเป็นอย่างยิ่งที่จะต้องทำการศึกษาคุณสมบัติทางวิศวกรรมที่ปริมาณความชื้นต่างๆ นอกจากนี้จากปริมาณความชื้นเหมาะสม (OMC) เพื่อให้วิศวกรผู้ออกแบบ/วิศวกรโครงการ และผู้ที่เกี่ยวข้องสามารถเลือกปริมาณความชื้นควบคู่กับพลังงานการบดอัดเพื่อให้ได้คุณสมบัติเชิงวิศวกรรม

เป็นไปตามมาตรฐานและข้อกำหนด งานวิจัยนี้จัดทำขึ้นเพื่อขอรับการอนุมัติพิจารณาของคุณภาพต่างๆ ที่มีต่อกำลังอัดของคินซีเมนต์บดอัด และท้ายสุดจะสร้างแบบจำลองท่านายกำลังอัดของคินซีเมนต์บดอัด ในห้องปฏิบัติการ นอกจากนี้ จะทำการศึกษาพฤติกรรมด้านกำลังอัดของคินซีเมนต์บดอัดในสถานะและนำผลทดสอบที่ได้ร่วมกับแบบจำลองท่านายกำลัง เพื่อนำเสนอขั้นตอนการทำงานและตรวจสอบคุณสมบัติด้านกำลังอัดของคินซีเมนต์บดอัดในสถานะ

1.2 วัตถุประสงค์

- สร้างแบบจำลองท่านายกราฟการบดอัดของคินซีเมนต์
- เพื่อศึกษาอิทธิพลของความคละ สภาพความเป็นพลาสติก ปริมาณความชื้น ปริมาณซีเมนต์ พลังงานการบดอัด และอายุปั่น ต่อกำลังอัดของคินซีเมนต์
- เพื่อสร้างสมการท่านายกำลังกับการเปลี่ยนแปลงของปริมาณความชื้น ปริมาณซีเมนต์ อายุปั่น และพลังงานการบดอัดของคินซีเมนต์ต่างๆ ผสมซีเมนต์
- เพื่อให้วิศวกรผู้ออกแบบสามารถตรวจสอบความถูกต้องของผลทดสอบที่ได้จากห้องปฏิบัติการ
- เพื่อนำเสนอขั้นตอนการทำงานปรับปรุงถอนที่ชำรุดค่าวิธีหมุนเวียนวัสดุชั้นทางเดินมาใช้ใหม่

1.3 ขอบเขตงานวิจัย

งานวิจัยนี้มีแนวทางหลักสี่อย่างคือ (1) การศึกษาตัวแปรที่มีอิทธิพลต่อกราฟการบดอัด และนำเสนอแบบจำลองท่านายกราฟการบดอัด (2) การศึกษาปัจจัยที่มีผลต่อการเพิ่มขึ้นของกำลังของคินซีเมนต์บดอัด และสร้างทฤษฎีพื้นฐานสำหรับการหากำลังของคินซีเมนต์บดอัด (3) การประยุกต์ทฤษฎีพื้นฐานนี้มาสร้างแบบจำลองท่านายกำลังของคินซีเมนต์บดอัดผสมซีเมนต์ และ (4) การประยุกต์ใช้แบบจำลองท่านายกำลังอัดในการประมาณกำลังอัดของคินซีเมนต์บดอัดในสถานะ พร้อมทั้งนำเสนอขั้นตอนการทำงานอย่างเป็นลำดับ

บทที่ 2

ปริศนาวรรณกรรมงานวิจัยที่เกี่ยวข้อง

2.1 ประวัติความเป็นมาของการปรับปรุงดินด้วยสารผสมเพิ่ม

การปรับปรุงดินโดยใช้สารผสมเพิ่ม (Additive) ได้เกิดขึ้นเป็นเวลา กว่าหลายพันปี ล่วงมาแล้ว ปรากฏมีหลักฐานเกี่ยวกับการปรับปรุงดินที่ใช้สัญจรตั้งแต่สมัยโบราณ โดยการใช้ปูนขาว หรือสาร Pozzolans ผสมกับดินที่ใช้ทำพื้นทาง เพื่อให้ดินมีสภาพการใช้งานที่ดีขึ้น (Woods และ Yoder, 1952)

Portland Cement Association (1956) รายงานว่าปี 1940 ในประเทศสหรัฐอเมริกา ได้มีการก่อสร้างงานถนนด้วยดินซีเมนต์ซึ่งมีพื้นที่มากกว่า 5.7 ล้านตารางเมตร ส่วนการนำดินซีเมนต์มาใช้ในงานถนนบินได้เริ่มขึ้นระหว่างสงครามโลกครั้งที่ 2 ในช่วงปี 1941-1944 ซึ่งมีพื้นที่ประมาณ 16.8 ล้านตารางเมตร ภายหลังสงครามครั้งที่ 2 ยุติ จึงมีการสร้างถนนด้วยดินซีเมนต์เพิ่มขึ้นอย่างรวดเร็ว ส่วนใหญ่นำไปใช้เป็นวัสดุชั้นรองพื้นทางของถนนพิวคอนกรีต ใช้เป็นไอล์ททาง ที่จอดรถ พื้นคลังสินค้า รองพื้นอ่างเก็บน้ำ คู และคลองอีกด้วย

Davidson (1961) กล่าวถึงวิวัฒนาการของดินซีเมนต์ที่ได้กำเนิดขึ้นในโลกว่า กิจการรับเหมา ก่อสร้างที่เกี่ยวกับถนนในเมือง Sarasota รัฐ Florida ได้ก่อสร้างในปี 1915 น่าจะเป็นการเริ่มต้นครั้งแรกในโลกเกี่ยวกับถนนซีเมนต์ จากหลักฐานพบว่าถนน Oak ได้ถูกสร้างขึ้นจากการขุดเอาดิน Shell จากอ่าวมาผสมกับทราย และซีเมนต์ จากนั้นก็นำส่วนผสมที่ได้มาเกลี่ย และบดอัดด้วยรถบดไอน้ำที่มีน้ำหนัก 10 ตัน และยังได้อ้างถึงรายงานของ Mill (1935) ว่าในปี 1932 South California State Department ได้ทำการศึกษาส่วนผสมของดินและซีเมนต์ ภายใต้การดูแลของ Dr. C.H.Moorefield ซึ่งได้รายงานผลการทดสอบว่า ดินผสมซีเมนต์เป็นวัสดุที่สามารถเข้ากันได้ และนำมาใช้เป็นวัสดุพื้นทางของถนนได้

Terrel และ Davidson (1961) ได้บันทึกตรงกันว่าเพื่อเป็นการยืนยันผลการทดลองของ South California State Department ในปี 1935 Bureau of Public Road และ Portland Cement Association (PCA) ได้ร่วมมือกันสร้างถนนดินซีเมนต์ยาว 1.5 ไมล์ ใกล้เมือง Johnsonville ขึ้น ถนนสายนี้ต่อมาถูกยกไปใช้เป็นโครงการแรกของวิศวกรรมถนนซีเมนต์

สำหรับประเทศไทย การประยุกต์ใช้ดินซีเมนต์เริ่มในปี พ.ศ. 2508 โดยกรมทางหลวงร่วมกับบริษัทปูนซีเมนต์ไทยจำกัด ได้ทดลองนำดินผสมซีเมนต์ (ซีเมนต์ + ลูกรัง) มาใช้เป็นพื้นทางครั้งแรกในทางสายวาริณาราม – เดชอุดม จังหวัดอุบลราชธานี โดยทำการทดลองระยะทางยาว 5 กิโลเมตร ผลการทดลองเป็นที่น่าพอใจ กรณทางหลวงจึงได้ออกแบบถนนหลายสายในภาคตะวันออกเฉียงเหนือ โดยใช้ซีเมนต์เป็นพื้นทาง (Soil Cement Base) ซึ่งส่วนใหญ่ใช้การได้ดี

2.2 ประเภทของดินซีเมนต์

Highway Research Board Committee on Soil-Cement Stabilization (1959) แบ่งดินผสมซีเมนต์ออกเป็น 5 ประเภท ตามปริมาณปูนซีเมนต์ที่ผสมและลักษณะการใช้งานดังต่อไปนี้

2.2.1 Soil-Cement เป็นการนำดินและซีเมนต์มาผสมกันแล้วบดอัด โดยวิธีทางกลศาสตร์ แล้วทำการบ่มให้แข็งตัว ซีเมนต์มีปริมาณสูงพอกอนทำให้มีกำลังอัด หรือกำลังแบนกทานตามที่กำหนด และหากพอที่จะทำให้ดินซีเมนต์ลายเป็นวัสดุก่อสร้างที่แข็งแรงทนทาน มีความชื้นเพียงพอที่จะทำปฏิกิริยาไฮดรอลิก มีความหล่อลื่นเพียงพอในการบดอัดให้ได้ความแน่นสูงสุด

2.2.2 Cement Modified Granular Soil ใช้ปรับปรุงคุณสมบัติของดินจำพวกทรายและกรวด (Granular Soil) บางชนิด เพื่อลดค่าดันนีสภาพพลาสติก ดินซีเมนต์ประเภทนี้มักใช้เป็นวัสดุชั้นรองพื้นทาง และใช้เป็นชั้นพื้นทางของถนนผิวจราจรคงรูป (Rigid Pavement) และผิวจราจรยืดหยุ่น (Flexible Pavement) ปริมาณซีเมนต์ที่ใช้ประมาณร้อยละ 1-3

2.2.3 Cement Modified Silt-Clay Soil ปริมาณซีเมนต์ที่ใช้น้อยมาก โดยมีจุดประสงค์ในการปรับปรุงคุณสมบัติการบรวมตัวและลดดัชนีดินที่อ่อนมาก หรือเป็นพื้นที่ที่ดินเปียกน้ำ

2.2.4 Cement - Treated Soil Slurries and Grouts เป็นการนำเอารดินและซีเมนต์ผสมน้ำให้มีสภาพเหลวพอประมาณ ดินซีเมนต์ประเภทนี้จะใช้ในการบำรุงรักษาถนน ใช้ในการยา หรืออุดรอยรั่วที่เกิดขึ้น เช่น รอยรั่วในอุโมงค์ส่งน้ำ

2.2.5 Plastic Soil - Cement เป็นการนำดินซีเมนต์ และน้ำมาผสมเข้าด้วยกันให้มีสภาพเหลวมาก นิยมใช้ในงานคาดปูลงบนพื้นที่มีความลาดเอียง เช่น การคาดท้องคลองชลประทาน การคาดผิวหน้ากันทาง

2.3 ปอร์ตแลนด์ซีเมนต์ (Portland Cement)

2.3.1 สารประกอบในปูนซีเมนต์

ปอร์ตแลนด์ซีเมนต์ประกอบด้วยส่วนผสมที่สำคัญคือ 1) Calcareous Material ได้แก่ หินปูน (Limestone) และดินสอพอง (Chalk) 2) Argillaceous Material ได้แก่ Silica ซึ่งอยู่ในรูปของดินเหนียว (Clay) และดินดาน (Shale) 3) Iron Oxide Material ได้แก่ แร่เหล็ก (Iron) หรือศิลาแอล (Laterite) เมื่อทำการเผาวัสดุดังกล่าวทึ่งหมดร่วมกันในหม้อเผา ปอร์ตแลนด์ซีเมนต์ที่ได้จะประกอบด้วยออกไซด์ 2 กลุ่มใหญ่ คือ ออกไซด์หลัก ได้แก่ CaO , SiO_2 , Al_2O_3 , Fe_2O_3 ซึ่งรวมกันประมาณร้อยละ 90 ของน้ำหนักซีเมนต์ และออกไซด์รอง ได้แก่ MgO , NaO , TiO_2 , P_2O_5 ปริมาณออกไซด์ต่างๆ ที่เป็นองค์ประกอบของปอร์ตแลนด์ซีเมนต์ แสดงในตารางที่ 2.1 ออกไซด์หลักจะรวมตัวกันในระหว่างการเกิดปูนเม็ด (Clinker) และเกิดเป็นสารประกอบที่สำคัญ 4 อย่าง ดังแสดงในตารางที่ 2.2

ตารางที่ 2.1 ออกไซด์ต่างๆที่เป็นองค์ประกอบของปูนซีเมนต์ปอร์ตแลนด์ (ข้าวाल, 2536)

ออกไซด์	ร้อยละโดยน้ำหนัก
<u>ออกไซด์หลัก</u>	
CaO	60-67
SiO ₂	17-25
Al ₂ O ₃	3-8
Fe ₂ O ₃	0.5-0.6
<u>ออกไซด์รอง</u>	
MgO	0.1-5.5
Na ₂ + K ₂ O	0.5-1.3
TiO ₂	0.1-0.4
P ₂ O ₅	0.1-0.2

ตารางที่ 2.2 สารประกอบหลักที่รวมอยู่ในปูนซีเมนต์ปอร์ตแลนด์ (ข้าวाल, 2536)

ชื่อสารประกอบ	ส่วนประกอบทางเคมี	ชื่อย่อ
ไตรคัลเซียม ซิลิกेट	3CaO . SiO ₂	C ₃ S
ไคคัลเซียม ซิลิกेट	2CaO . SiO ₂	C ₂ S
ไตรคัลเซียม อลูมินา	3CaO . Al ₂ O ₃	C ₃ A
เตตราคัลเซียม อลูมิโนเฟอร์ไรท์	4CaO . Al ₂ O ₃ . Fe ₂ O ₃	C ₄ AF

2.3.2 ประเภทของปูนซีเมนต์ปอร์ตแลนด์

2.3.2.1 ปอร์ตแลนด์ซีเมนต์ประเภทธรรมดा (Ordinary Portland Cement) เป็นปูนซีเมนต์ที่เหมาะสมสำหรับผลิตคอนกรีตทั่วไป ได้แก่ ปอร์ตแลนด์ซีเมนต์ตราช้าง ตราเพชร ตราพญานาคสีเขียว

2.3.2.2 ปอร์ตแลนด์ซีเมนต์ประเภทดัดแปลง (Modified Portland Cement) เหมาะสำหรับใช้ในงานที่เกิดความร้อนปานกลาง ทนซัลเฟตได้ปานกลาง ปัจจุบันไม่มีผลิตในประเทศไทย

2.3.2.3 ปอร์ตแลนด์ซีเมนต์ประเภทให้กำลังอัดเร็ว (High Early Strength Portland Cement) ปูนซีเมนต์ประเภทนี้ให้กำลังอัดสูงในระยะแรก เพราะมีความละเอียดกว่าปูนซีเมนต์ธรรมด้า เหมาะสำหรับการทำคอนกรีตที่ต้องการใช้งานเร็ว หรือลดอุดแบบในเวลาอันสั้น ได้แก่ ปอร์ตแลนด์ซีเมนต์ตราเอราวัณ ตราสามเพชร ตราพญานาคสีแดง ข้อควรระวัง คือ ไม่ควรใช้ปูนซีเมนต์ประเภทนี้ในงานโครงสร้างคอนกรีตขนาดใหญ่ เพราะความร้อนจากปฏิกิริยาไฮเดรตชั่นจะเกิดสูงมากในช่วงต้น อาจก่อให้โครงสร้างเกิดการแตกร้าวได้

2.3.2.4 ปอร์ตแลนด์ซีเมนต์ประเภทเกิดความร้อนต่ำ (Low Heat Portland Cement)

ได้ถูกพัฒนาครั้งแรกในประเทศสหรัฐอเมริกา เป็นปูนซีเมนต์ที่ให้ความร้อนต่ำ ในประเทศไทยไม่มีการใช้ปูนซีเมนต์ประเภทนี้ ปัจจุบันนี้ถูกหดแทนโดยการใช้ปอร์ตแลนด์ซีเมนต์รวมค่าผสมกับถ้าลอย

2.3.2.5 ปอร์ตแลนด์ซีเมนต์ประเภททนซัลเฟต ได้สูง (Sulphate Resistance Portland Cement) ปูนซีเมนต์ประเภทนี้จะมีไตรแคลเซียม (C_3A) ต่ำ จึงทำให้มีการพัฒนากำลังอัดซ้ำ ทำให้เกิดความร้อนต่ำกว่าปอร์ตแลนด์ซีเมนต์ประเภทธรรมชาติ ได้แก่ ปอร์ตแลนด์ซีเมนต์ตราช้างฟ้า และตราปลาฉลาม

2.4 ปฏิกิริยาทางเคมีของดินซีเมนต์

เมื่อผสมซีเมนต์เข้ากับเม็ดดินและน้ำ ผลของปฏิกิริยาไฮเดรชั่นจะทำให้ได้สารประกอบ Calcium Silicate Hydrate (CSH) และ Calcium Aluminate Hydrate (CAH) ซึ่งมีคุณสมบัติเป็นตัวประสาน และได้ Hydrate Lime ที่แยกตัวออกจากระหว่างการเกิดปฏิกิริยาไฮเดรชั่น นอกจากนี้ Hydrate Lime ทำปฏิกิริยากับซิลิกาและอลูминิที่ได้จากแร่ดินเหนียว ได้สารประกอบที่มีคุณสมบัติเชื่อมประสานเพิ่มมากขึ้นอีก

ในมวลดินที่มีขนาดเม็ดละเอียด แรงขีดเคาะกันจะประกอบด้วย Mechanical Interlock และ Chemical Cementation ซึ่งเกิดจากปฏิกิริยาเคมีระหว่างซีเมนต์กับซิลิกาและอลูминิท ปฏิกิริยานี้จะเกิดขึ้นตามผิวของเม็ดดิน โดยจะเกาะอยู่รอบๆ เม็ดดิน ทำให้เม็ดดินเชื่อมกัน เป็นผลให้เม็ดดินมีขนาดใหญ่ขึ้น และมีกำลังสูงขึ้น (Lame, et al. 1959)

Herzog and Mitchell (1963) ได้ศึกษาปฏิกิริยาของซีเมนต์กับดินเหนียวและพบว่า การเกิดปฏิกิริยาไฮเดรชั่นก่อให้เกิด CSH และ CAH เป็นกระบวนการแรก ส่วนกระบวนการที่สองเกิดจากปฏิกิริยว่าซิลิกา และอลูминิกับ Calcium Ion ที่เกิดจาก Hydrate Lime ทำให้ได้ CSH และ CAH เช่นกัน แต่ต้องใช้ระยะเวลาการเกิดนานกว่ากระบวนการแรก จึงทำให้กำลังรับแรงอัดของดินซีเมนต์สูงขึ้นตามอายุการบ่มที่เพิ่มขึ้น

Moh (1965) พนว่าปฏิกิริยาของดินซีเมนต์สามารถเปลี่ยนเป็นสมการทางเคมีได้ดังนี้



Michell and Jack (1966) อธิบายว่า เมื่อผสมซีเมนต์ลงไปในเม็ดดิน จะเกิดปฏิกิริยาและได้สารสุดท้ายเป็น CSH ปฏิกิริยาช่วงสั้นๆ ที่เกิดขึ้นเมื่อผสมซีเมนต์ลงไปในดิน ประกอบด้วยการ

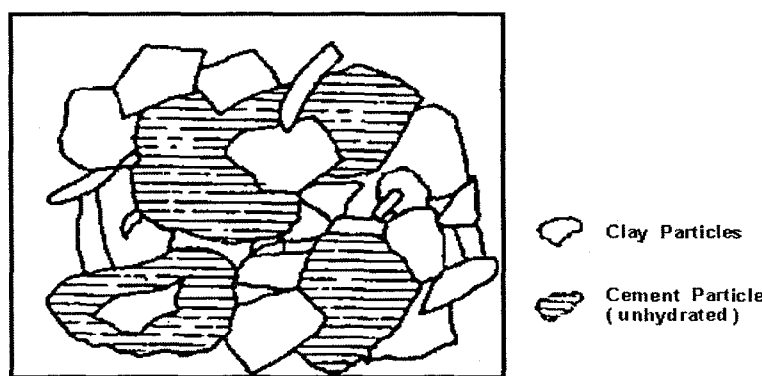
แทนที่หรือการแลกเปลี่ยน Valency โดยการคูดซับ Cation ของแคลเซียม และเม็ดคินจะคูดซับเอา $\text{Ca}(\text{OH})_2$ เข้าไว้ เกิดสารประกอบที่ทำให้มีการเชื่อมยึดติดกันของเม็ดคิน

Terrel et al. (1979) ได้กล่าวถึงปฏิกิริยาของคินซีเมนต์ว่า คินเม็ดละเอียด (Fine grained soil) โดยเฉพาะที่มีส่วนผสมของคินเหนียวอยู่ แร่คินเหนียวจะมีส่วนช่วยในการทำปฏิกิริยากับ Hydrate Lime ก่อให้เกิดสารประกอบ CSH และ CAH

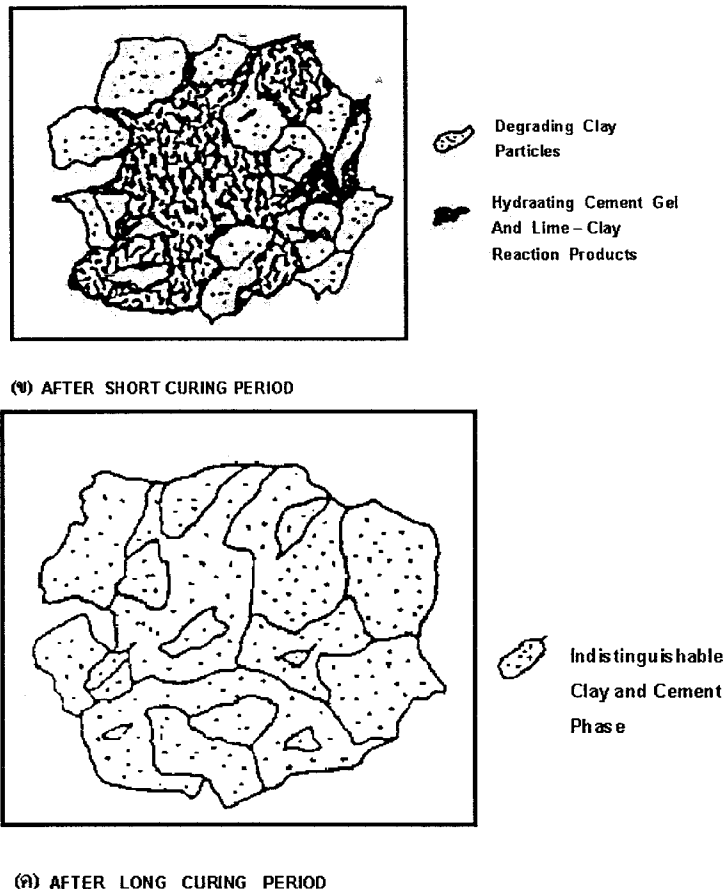
เกย์น และพินิต (2536) ได้ศึกษาพบว่า คินเหนียวปกติเป็นคินที่มีแร่ซิลิกาผสมอยู่สูง ซึ่ง แร่เหล่านี้สามารถทำปฏิกิริยากับ $\text{Ca}(\text{OH})_2$ ได้ดี ปฏิกิริยานี้เรียกว่าปฏิกิริยาปอชโซลานิกซึ่งทำให้คินเปลี่ยนคุณสมบัติไป สามารถรับน้ำหนักได้เพิ่ม และการยุบตัวน้อยลง

2.5 โครงสร้างคินซีเมนต์

Michell and Jack (1966) ได้อธิบายการเปลี่ยนแปลงโครงสร้างของคินหลังจากผสมปูนซีเมนต์แล้ว โดยแสดงถึงการเปลี่ยนแปลงของส่วนประกอบและโครงสร้างคินซีเมนต์ ดังรูปที่ 2.1 ภายใต้การบดอัด ซีเมนต์ยังไม่เกิดปฏิกิริยาไฮเครชั่น อนุภาคของปูนซีเมนต์จะผสมกับอนุภาคของคิน ดังรูปที่ 2.1(ก) ภายใต้การบ่มระยะสั้น อนุภาคของซีเมนต์เริ่มทำปฏิกิริยาไฮเครชั่น ทำให้เกิดซีเมนต์เจลแทรกไปตามช่องระหว่างอนุภาคของเม็ดคิน และ $\text{Ca}(\text{OH})_2$ ที่ได้จากปฏิกิริยาไฮเครชั่นเริ่มทำปฏิกิริยากับซิลิกาและอลูมินาที่มีอยู่ในคิน เป็นผลให้เกิดวัสดุเชื่อมประสานจากนั้นซีเมนต์เจลและวัสดุเชื่อมประสานจะแพร่กระจายไปตามอนุภาคของคินดังรูปที่ 2.1(ข) ภายใต้การบ่มระยะยาว การทำปฏิกิริยาไฮเครชั่นจะเสร็จสิ้นสมบูรณ์ มีผลทำให้ซีเมนต์เจลแทรกซึ่นกระจายไปทั่วดังรูปที่ 2.1(ค) เป็นผลให้กำลังของคินซีเมนต์สูงขึ้นเมื่ออายุการบ่มเพิ่มขึ้น



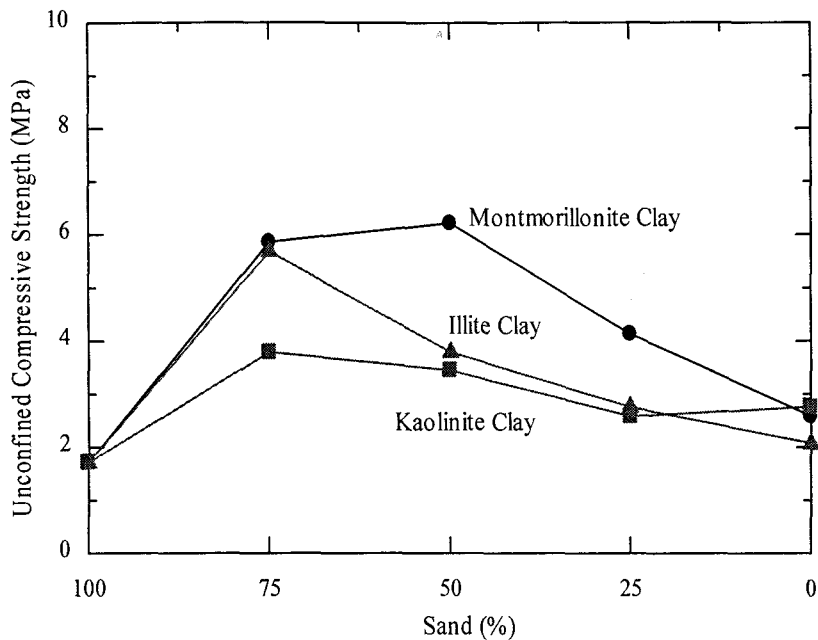
(a) AS - COMPACTED CONDITION



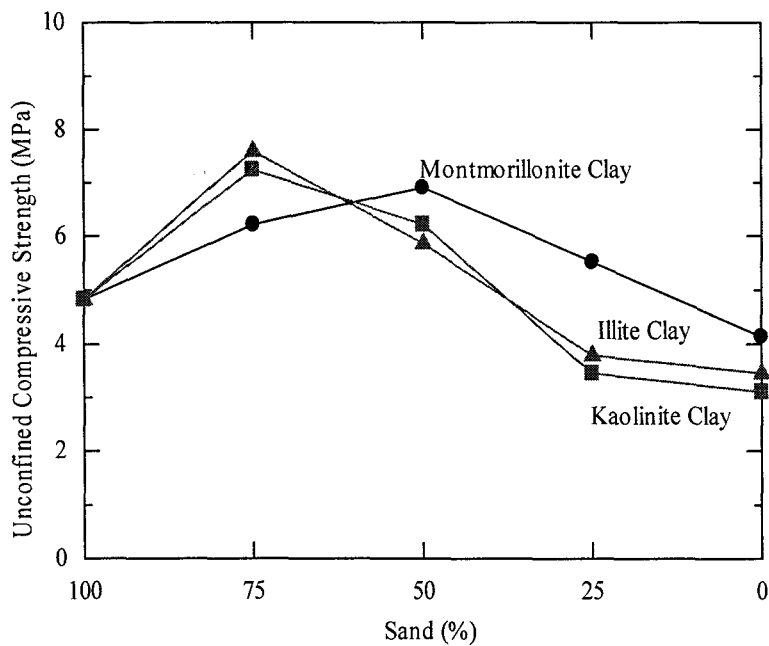
รูปที่ 2.1 โครงสร้างของดินซีเมนต์ (Michell และ Jack ,1966)

2.6 อิทธิพลของแร่ดินเหนียวต่อกำลังของดินซีเมนต์

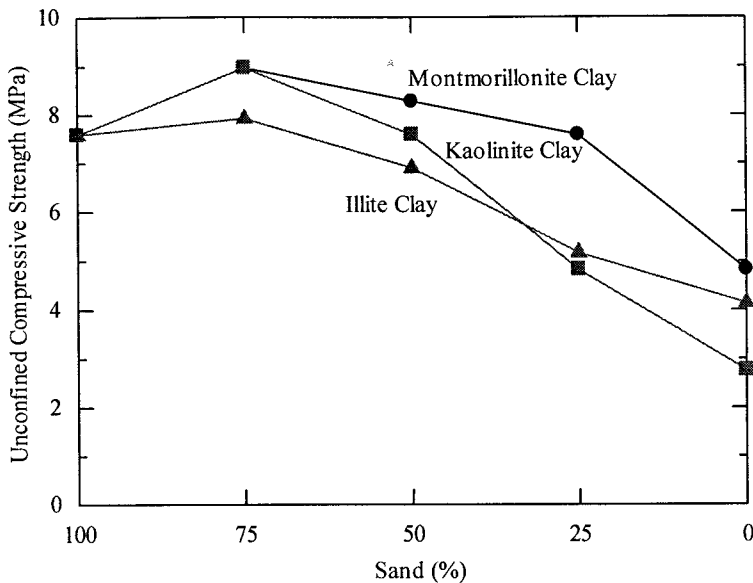
Davidson et al. (1962) ได้ทำการทดลองโดยใช้ทรัพย์สมบัตินาโนะห์ในอัตราส่วนทรัพย์ต่อดินเหนียว 100:0, 75:25 , 50:50 , 25:75 และ 0:100 ดินเหนียวที่ใช้เป็นพาก Kaolinite , Illite และ Montmorillonite ดังแสดงผลในรูปที่ 2.2 , 2.3 และ 2.4 ซึ่งแสดงให้เห็นว่าปริมาณดินเหนียวที่มากเกินไป (เกินกว่าร้อยละ 25) เมื่อผสมกับดินเจ้าพากที่ไม่มีความเข้มแน่น (Cohesionless Soil) จะทำให้กำลังของดินซีเมนต์ลดลงอย่างเด่นชัด อีกทั้งที่ปริมาณซีเมนต์ร้อยละ 8 และปริมาณตัดส่วนของทรัพย์ต่อดินเหนียว 75:25 จะให้การรับกำลังสูงสุด เพราะว่าที่ปริมาณตัดส่วนนี้เป็นตัดส่วนผสมที่กลมกลืนกัน ก่อให้เกิดส่วนผสมที่มีขนาดคละเคลีย (Well Grade) ทำให้ได้ค่าความแน่นสูงสุด จึงส่งผลให้ได้ค่ากำลังสูงสุดด้วย



รูปที่ 2.2 อิทธิพลของแร่ดินเหนียวที่มีผลต่อกำลังอัดแกนเดียวยของดินซีเมนต์ที่ปริมาณซีเมนต์ร้อยละ 8 (Davidson, 1962)

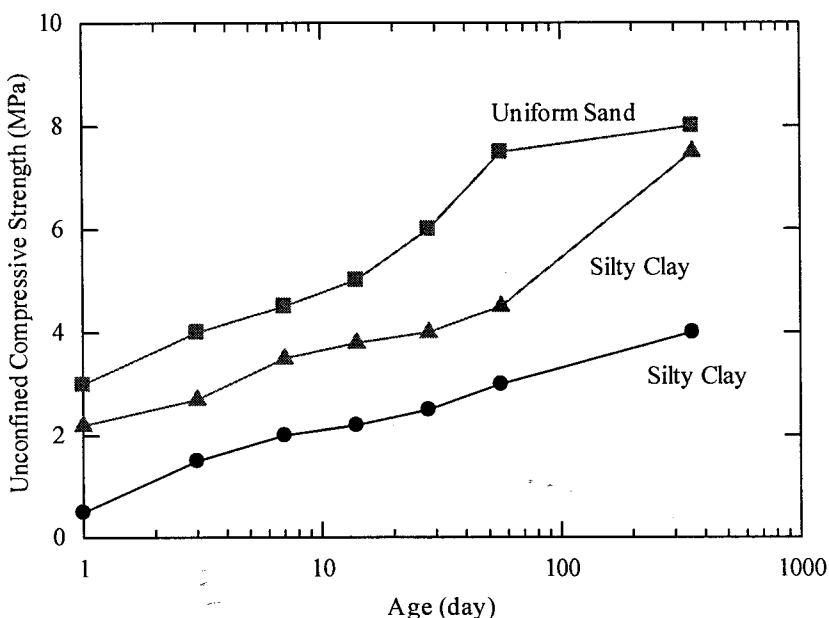


รูปที่ 2.3 อิทธิพลของแร่ดินเหนียวที่มีผลต่อกำลังอัดแกนเดียวยของดินซีเมนต์ที่ปริมาณซีเมนต์ร้อยละ 12 (Davidson, 1962)



รูปที่ 2.4 อิทธิพลของแรคินเหนียวที่มีผลต่อกำลังอัดแกนเดียวกันของดินซึ่งมีปริมาณซีเมนต์ที่ร้อยละ 16 (Davidson, 1962)

Grimer และ Krawezyk (1963) ได้กล่าวว่าความสัมพันธ์ระหว่างกำลังอัดกับอายุ (log scale) ของดินซึ่งมีปริมาณซีเมนต์ที่ร้อยละ 10 ดังรูปที่ 2.5 พ布ว่ากำลังของทรายที่มีขนาดคละสม่ำเสมอ (Uniform Sand) ที่ไม่มีดินเหนียวผสม จะมีลักษณะเป็นเส้นตรงลงถึงอายุการบ่ม 28 วัน หลังจากนั้นมีการเพิ่มขึ้นของกำลัง เนื่องจากผลของปฏิกิริยาไฮเดรชันของซีเมนต์



รูปที่ 2.5 ความสัมพันธ์ระหว่างกำลังอัดกับอายุการบ่มของทรายที่มีขนาดคละสม่ำเสมอ และดินตะกอนปูดินเหนียว (Grimer และ Krawezyk ,1963)

Bell (1976) พบว่าแร่ดินเหนียว Montmorillonite เมื่อทำปฏิกิริยากับปูนขาวจะทำให้ Aqueous Phase ลดลง ทำให้สาร Cementious ซึ่งทำหน้าที่ยึดเกาะอยู่ในปูนขาวไม่เพียงพอต่อการแข็งตัว การแก้ไขคือ การเพิ่มปริมาณซีเมนต์ลงไปเพื่อเพิ่ม Free Lime ให้มากขึ้น โดยปกติ การเพิ่มซีเมนต์มากกว่าร้อยละ 15 จะทำให้ดินจำพวก Montmorillonite มีคุณภาพดีสามารถนำมาราบได้

2.7 ความหนาแน่นและปริมาณความชื้นที่ใช้ในการบดอัดดินซีเมนต์

การบดอัด คือ การเพิ่มความแน่นของดิน โดยการໄล้ออากาศออกจากมวลดินด้วยกระบวนการทางกล การบดอัดทำให้อากาศที่มีอยู่ในมวลดินถูกขับออกไป เม็ดดินที่มีขนาดเล็กจะทำหน้าที่สอดแทรกตามช่องว่างต่างๆ ของมวลดินในลักษณะเรียงตัวอัดแน่น ปริมาณความชื้นจะมีอิทธิพลต่อความหนาแน่นของมวลดิน ในช่วงแรกความหนาแน่นจะสูงขึ้นตามปริมาณความชื้นที่เพิ่มขึ้นถึงจุดที่ปริมาณความชื้นทำให้ความหนาแน่นมีค่าสูงสุด เรียกว่าปริมาณความชื้นเหมาะสม (Optimum Moisture Content, OMC) จากนั้นค่าความหนาแน่นจะลดลงตามปริมาณความชื้นที่เพิ่มขึ้น เนื่องจากในช่วงว่างระหว่างเม็ดดินจะเต็มไปด้วยน้ำ เม็ดดินที่มีขนาดเล็กไม่สามารถเข้าไปอยู่ในช่องว่างระหว่างเม็ดดินได้ ความหนาแน่นของมวลดินจึงลดลง

Felt (1955) ได้ทดลองและสรุปผลว่า การเปลี่ยนแปลงความหนาแน่นและปริมาณความชื้น มีอิทธิพลต่อคุณสมบัติของดินซีเมนต์ ดินทรายผสมซีเมนต์ควรทำการบดอัดทางด้านแห้งของ OMC เล็กน้อยจึงได้ค่ากำลังรับแรงอัดสูงสุด ส่วนดินเหนียวและดินตะกอนควรบดอัดให้อยู่ทางด้านเปียกของ OMC เล็กน้อยจึงได้ค่ากำลังรับแรงอัดสูงสุด

นอกจากนี้ Felt (1955) ยังได้ทำการทดลองบดอัดดินด้วยวิธีมาตรฐาน และวิธีสูงกว่ามาตรฐาน ตามมาตรฐาน ASSHTO โดยใช้ปริมาณซีเมนต์คงที่ การบดอัดแบบสูงกว่ามาตรฐาน จะให้ค่ากำลังอัดที่สูงกว่า อย่างไรก็ตาม ที่ปริมาณความชื้นต่ำ ความหนาแน่นจะไม่มีผลต่อกำลังอัด

Ruenkrairergsa (1982) พบว่าปริมาณความชื้นเหมาะสมไม่เพียงแต่จะทำให้ดินซีเมนต์มีค่าความหนาแน่นสูงสุดเท่านั้น แต่ยังทำให้ปฏิกิริยาทางเคมีเป็นไปอย่างสมบูรณ์อีกด้วย และความหนาแน่นแห้งสูงสุดอาจจะไม่ได้ค่ากำลังอัดสูงสุดสำหรับดินซีเมนต์เสมอไป

2.8 อิทธิพลของปริมาณซีเมนต์ที่มีผลต่อกำลังของดินซีเมนต์

Felt (1965) ได้นำดินสามชนิด คือ Silty Loam, Sandy Loam และ Silty Clay มาใช้ในการทดลองผสมซีเมนต์ ผลการทดลองแสดงดังรูปที่ 2.6, 2.7 และ 2.8 ตามลำดับ สรุปได้ว่า กำลังอัด

ของดินซีเมนต์เพิ่มขึ้นตามปริมาณซีเมนต์ที่ใช้ นอกจากนี้ ดินเม็ดหยาบจะมีกำลังอัดที่สูงกว่าดินเม็ดละเอียด

Ruenkraairergsa (1982) อธิบายว่าเมื่อปริมาณซีเมนต์เพิ่มขึ้นคุณสมบัติของดินซีเมนต์จะดีขึ้นด้วย และอัตราการเพิ่มขึ้นของกำลังอัดของดินซีเมนต์ยังขึ้นอยู่กับคุณสมบัติพื้นฐานของดินด้วยค่าแรงขีดเห็นี่ยวยะห่าวงอนุภาคเม็ดดิน (Cohesion) ของดินซีเมนต์ของดินเม็ดหยาบจะเพิ่มสูงขึ้นมากกว่าดินซีเมนต์ของดินเม็ดละเอียด

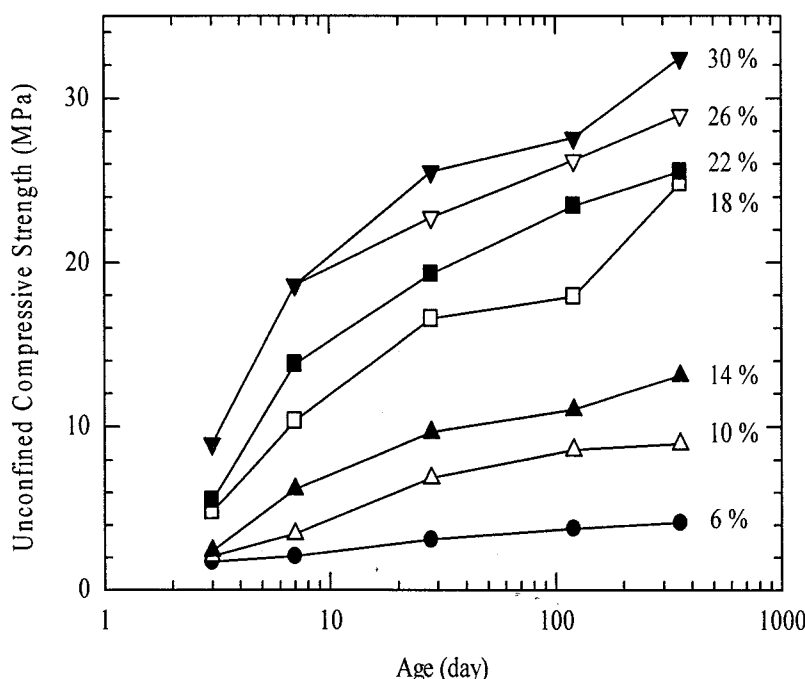
Metcalf (1977) พบว่าปริมาณซีเมนต์มีผลโดยตรงกับกำลังอัดของดินซีเมนต์โดยเฉพาะกับดินเม็ดหยาบ และสรุปได้ว่ากำลังอัดของดินซีเมนต์จะเปรียบเทียบกับปริมาณซีเมนต์ที่ใช้ และได้แนะนำเกี่ยวกับเรื่องการเลือกปริมาณซีเมนต์ โดยใช้ความสัมพันธ์ของค่ากำลังอัดแกนเดียว (Unconfined Compressive Strength) กับปริมาณซีเมนต์ที่ใช้ โดยแบ่งเป็น 7 ขั้นตอน ตามนี้ดังภาพที่ 2.9 สรุปเป็นสมการได้ดัง

$$q_u (\text{MPa}) = 1.1654 C + 0.4832 \quad \text{สำหรับ Sandy Gravel} \quad (2.4)$$

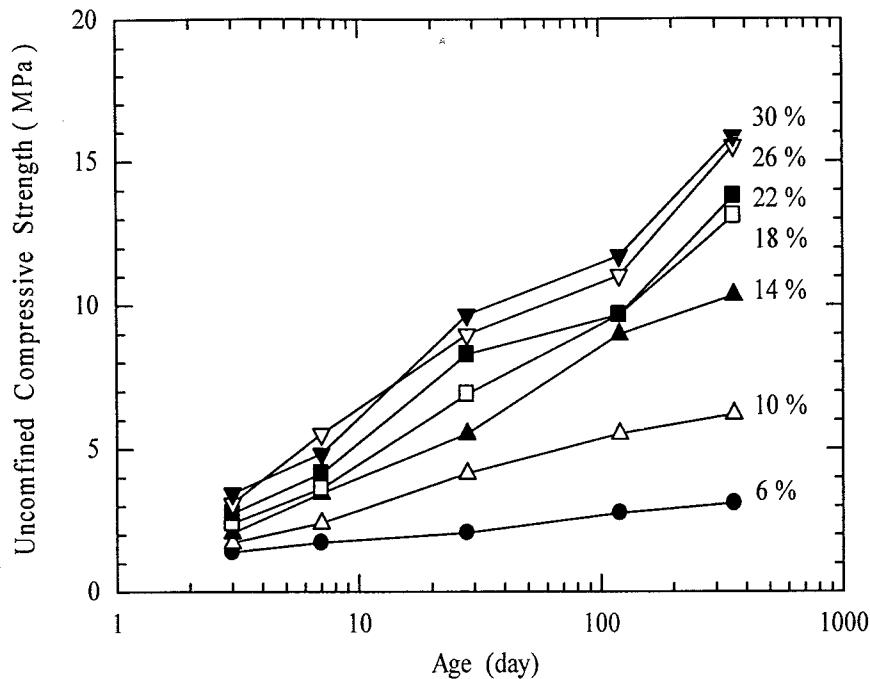
$$q_u (\text{MPa}) = 0.3953 C + 1.0995 \quad \text{สำหรับ Silty Clay} \quad (2.5)$$

$$q_u (\text{MPa}) = 0.3785 C + 0.3598 \quad \text{สำหรับ Sandy Clay} \quad (2.6)$$

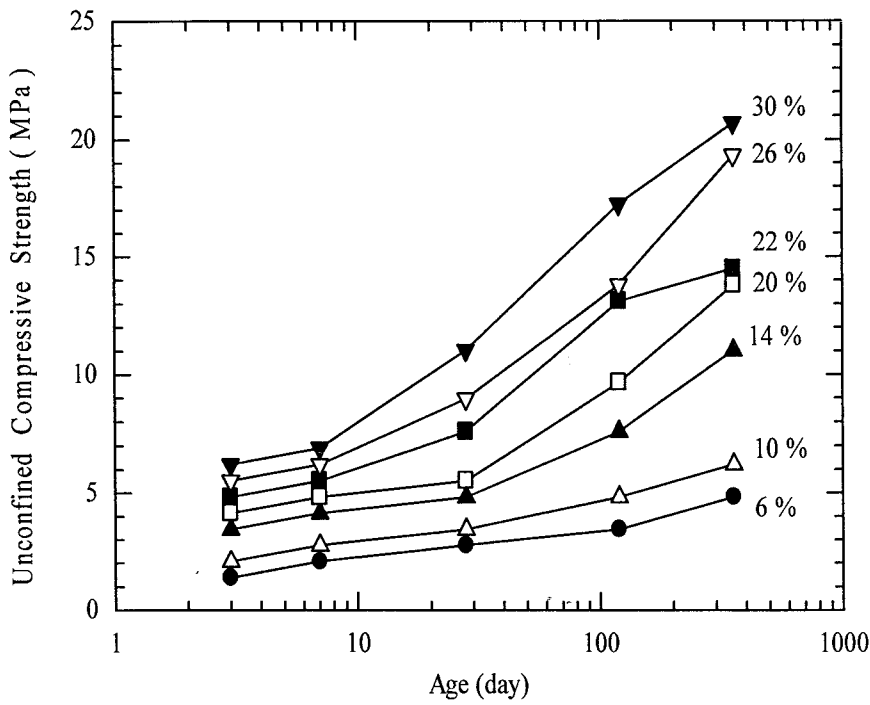
$$q_u (\text{MPa}) = 0.042 C^2 - 0.031C - 0.027 \quad \text{สำหรับ Uniform Sand} \quad (2.7)$$



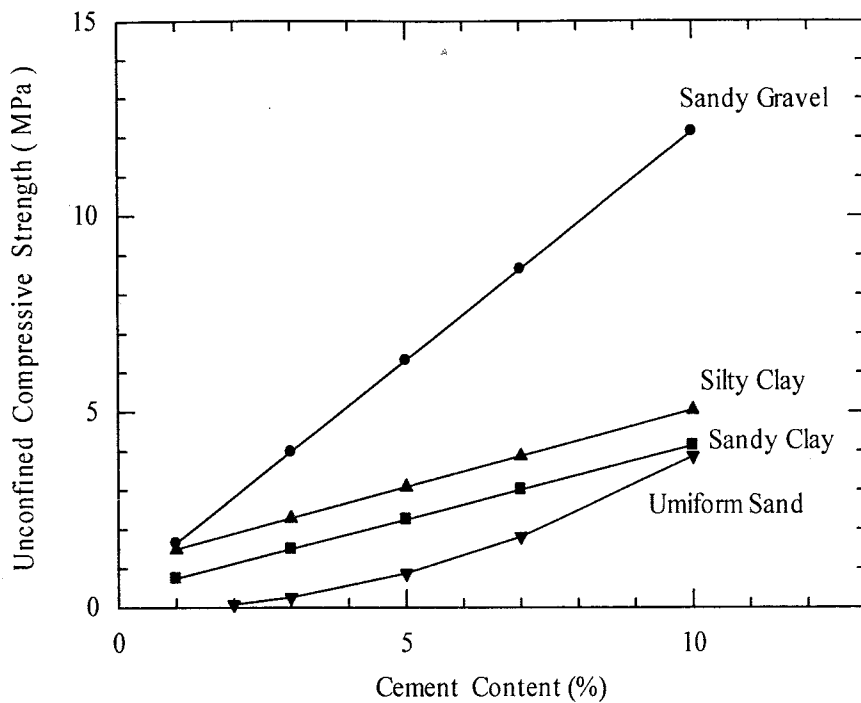
รูปที่ 2.6 อิทธิพลเนื่องจากปริมาณซีเมนต์และอายุการบ่มต่อกำลังอัดของดิน Loamy Sand
(Felt, 1965)



รูปที่ 2.7 อิทธิพลเนื่องจากปริมาณซีเมนต์และอายุการบ่มต่อกำลังอัดของดิน Medium Clay
(Felt, 1965)



รูปที่ 2.8 อิทธิพลเนื่องจากปริมาณซีเมนต์และอายุการบ่มต่อกำลังอัดของดิน Silty Clay
(Felt, 1965)



รูปที่ 2.9 ปริมาณซีเมนต์กับค่ากำลังต้านทานแรงอัดที่ได้ตามชนิดของดิน (Metcalf, 1977)

2.9 บทบาทของพันธะเชื่อมประสานต่อคุณสมบัติทางวิศวกรรมของดิน

2.9.1 กำลังต้านทานแรงเชื่อมของดิน

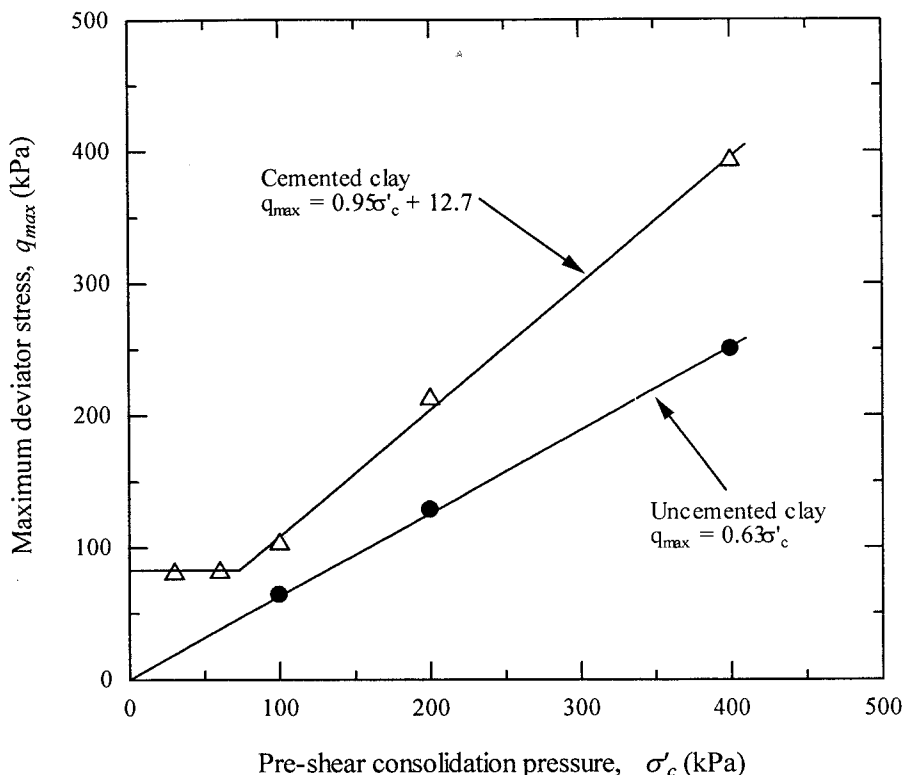
Horpibulsuk et al. (2004) กล่าวว่า กำลังต้านทานแรงเชื่อมของดินซีเมนต์ จะขึ้นอยู่กับการจัดเรียงตัวของเม็ดดิน (Fabric) และพันธะเชื่อมประสาน เมื่อเชื่อมดินประเภทนี้ ภายใต้สถานะที่ความเค้นประสิทธิผลน้อยกว่าความเค้นครากประสิทธิผล (σ'_y) จะเกิดการเปลี่ยนแปลงของการจัดเรียงตัวของเม็ดดินน้อยมาก ในช่วงนี้ กำลังต้านทานแรงเชื่อมของดินจะขึ้นอยู่กับพันธะเชื่อมประสาน (Cementation bond) แต่มีความเค้นประสิทธิผลมากกว่าความเค้นครากประสิทธิผล ทั้งการจัดเรียงตัวของเม็ดดิน (Fabric) และพันธะเชื่อมประสานจะมีอิทธิพลต่อกำลังต้านทานแรงเชื่อม (รูปที่ 2.10) และเสนอความสัมพันธ์ได้ดังสมการ

$$q_{\max} = q_{bond} + q_{fabric} \quad (2.8)$$

เมื่อ q_{\max} คือ ความเค้นเบี่ยงเบนสูงสุด (ที่จุควิตติ)

q_{bond} คือ ความเค้นเบี่ยงเบนเนื่องจากพันธะเชื่อมประสาน

q_{fabric} คือ ความเค้นเบี่ยงเบนเนื่องจากการจัดเรียงตัวของเม็ดดิน (Fabric)



รูปที่ 2.10 ความสัมพันธ์ระหว่างความเค้นเบี่ยงเบนและความเค้นประสิทธิผล
(Horpibulsuk et al., 2004)

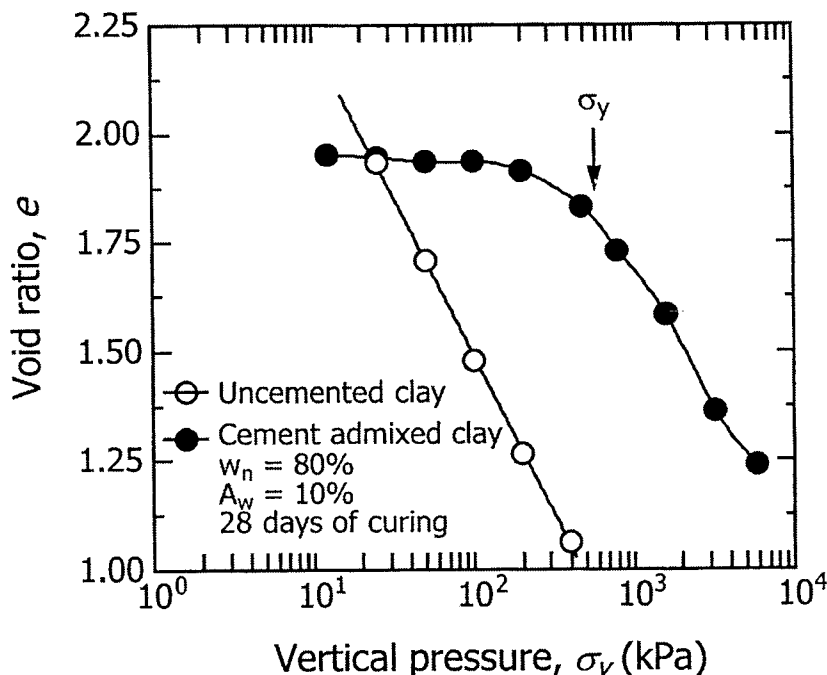
2.9.2 การอัดตัวคายน้ำ

สุขสันต์ และรุ่งลาวัลย์ (2546) แสดงผลทดสอบการอัดตัวคายน้ำของดินเหนียวกรุงเทพมหานคร ดังรูปที่ 2.11 จากรูปเห็นว่า การอัดตัวคายน้ำมีค่าน้อยมากในช่วงก่อนจุดคราก (Yield stress) เป็นเพราะอิทธิพลของพันธะเชื่อมประสาน แต่การอัดตัวมีค่าเพิ่มขึ้นอย่างชัดเจนในช่วงหลังจุดคราก ซึ่งสภาวะหลังจุดครากนี้ ดัชนีการอัดตัว (Compression index) มีค่าค่อนข้างคงที่กับการเพิ่มขึ้นของความเค้นในแนวตั้ง นอกจากนี้ ดินเหนียวชีเมนต์ (ดินพันธะเชื่อมประสาน) สามารถที่จะเสถียรอยู่ได้ที่อัตราส่วนโพรงสูงๆ เมื่อเทียบกับดินเหนียวไร้พันธะเชื่อมประสาน

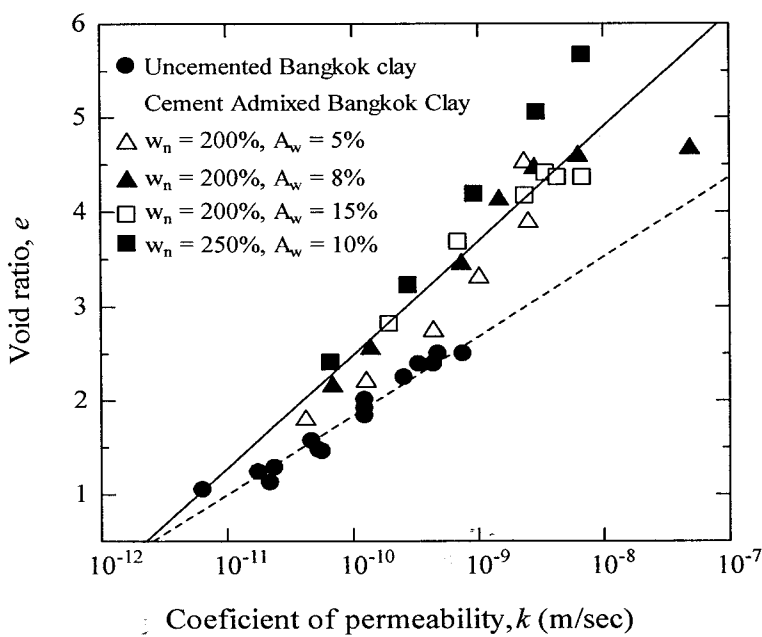
2.9.3 สัมประสิทธิ์การซึมผ่าน

สุขสันต์ และรุ่งลาวัลย์ (2546) แสดงผลการทดสอบการซึมผ่านนำของดินเหนียวไร้พันธะเชื่อมประสานและดินเหนียวชีเมนต์ ดังรูปที่ 2.12 จะเห็นได้ว่า พันธะเชื่อมประสานมีอิทธิพลต่อการซึมผ่านนำของดินเหนียวอย่างมาก ที่อัตราส่วนโพรงที่เท่ากัน ดินเหนียวชีเมนต์จะมีค่าสัมประสิทธิ์การซึมผ่านต่ำกว่า ดังนั้น พันธะเชื่อมประสานนอกจากจะเสริมกำลังด้านทานแรง

เพื่อน และลดการทรุดตัวแล้ว บังคับการซึมผ่านของน้ำ ซึ่งมีประโยชน์สำหรับงานโครงสร้างที่บันได เช่น งานซ่อมแซมเขื่อนที่แตกร้าว และ Cut - off wall เป็นต้น



รูปที่ 2.11 การอัดตัวภายในของดินเหนียวกรุงเทพสมชีเมนต์ เปรียบเทียบกับดินเหนียวกรุงเทพฯ ไร้พันธะเชื่อมประสาน (สุขสันติ และรุ่งลาวัลย์, 2546)



รูปที่ 2.12 ความสัมพันธ์ระหว่างอัตราโพรงและสัมประสิทธิ์การซึมผ่านของดินเหนียวไร้พันธะเชื่อมประสาน และดินเหนียวชีเมนต์ (สุขสันติ และรุ่งลาวัลย์, 2546)

2.10 สมการคำนวณกำลังของดินซีเมนต์

โดยอาศัยกรอบความคิดของการศึกษาโครงสร้างอุตสาหกรรม แล้วพัฒนาซีเมนต์เข้มประสานของดิน Horpibulsuk et al. (2003) ได้ทำการทดสอบ และวิเคราะห์การเพิ่มขึ้นของกำลังอัดของดินซีเมนต์โดยละเอียด โดยได้สร้างสมมติฐานขึ้นเรียกว่า Clay – water/cement ratio hypothesis ซึ่งกล่าวว่า กำลังของดินชนิดหนึ่งที่ผสมกับซีเมนต์ขึ้นอยู่กับตัวแปรเพียงตัวเดียว คือ Clay–water / cement ratio

$$q_u = \frac{A}{B^{(w_c/C)}} \quad (2.9)$$

เมื่อ q_u คือ กำลังอัดแกนเดียวที่ระบะบ่มค่าหนึ่ง
 A ค่าคงที่ขึ้นอยู่กับชนิดของดิน
 B ค่าคงที่ขึ้นอยู่กับชนิดของดิน มีค่าอยู่ระหว่าง 1.22 ถึง 1.24
 w_c/C คือ อัตราส่วนระหว่างปริมาณความชื้นในดินต่อปริมาณซีเมนต์
 นอกจากนี้ Horpibulsuk et al. (2003) ยังได้ทำการศึกษาปรากฏการณ์การเพิ่มขึ้นของกำลังของดินซีเมนต์ชนิดต่างๆ กับระบะบ่ม และสรุปได้ว่า อัตราการเพิ่มของกำลังของดินซีเมนต์ทุกชนิดมีค่าคงที่ โดยไม่ขึ้นอยู่กับชนิดของดิน และสามารถแสดงในพิ翁กร์ชั้นของลือกาลิทึม ดังแสดงในรูปที่ 2.13 และในรูปสมการที่ (2.10) คือ

$$\frac{q_D}{q_{28}} = 0.038 + 0.281 \ln D \quad (2.10)$$

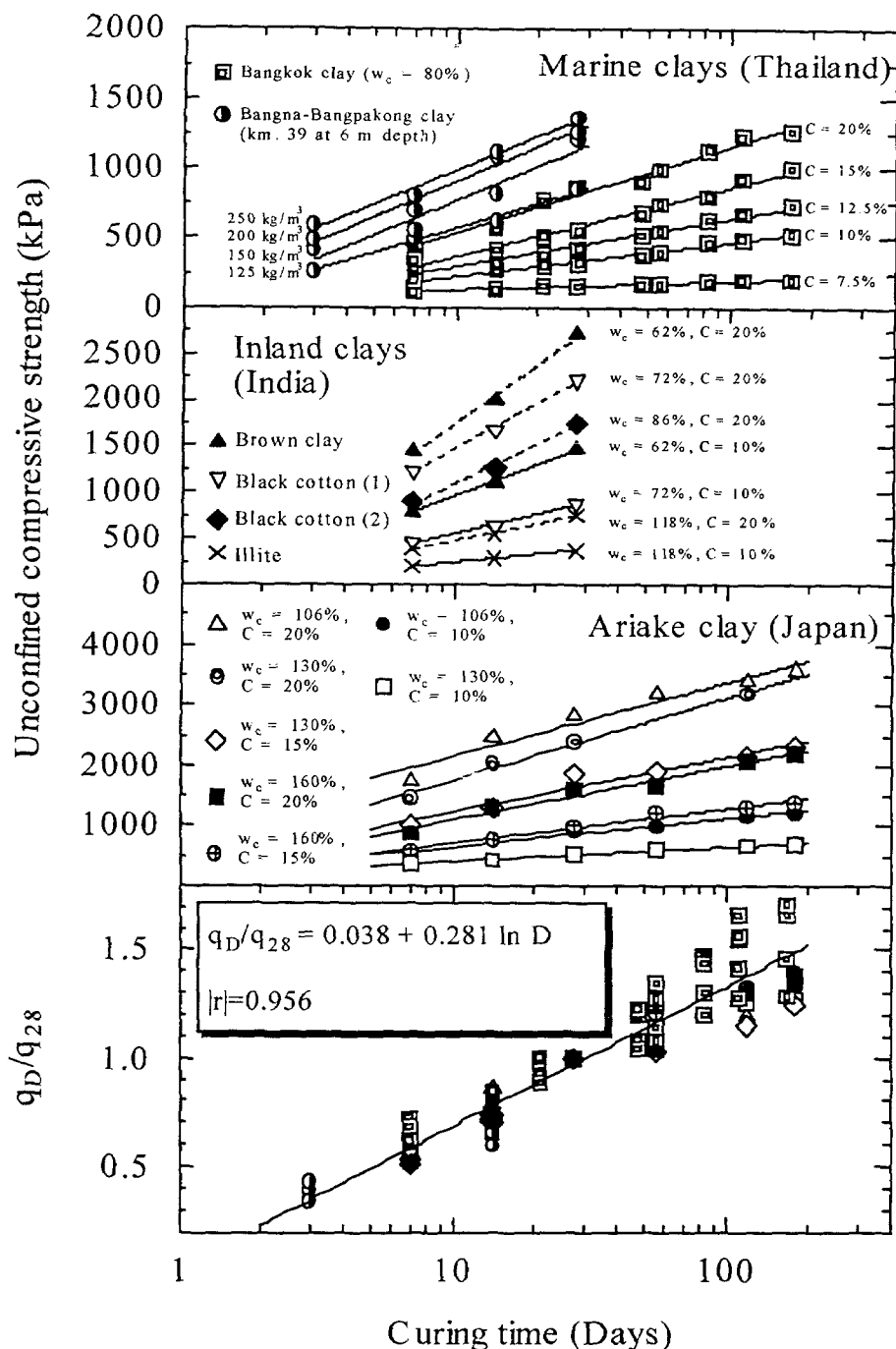
เมื่อ q_D คือ กำลังอัดแกนเดียวของดินซีเมนต์ที่ระบะบ่ม D ไดๆ
 q_{28} คือ กำลังอัดแกนเดียวของดินซีเมนต์ที่ระบะบ่ม 28 วัน
 D คือ ระบะการบ่ม

โดยการรวมสมการที่ 2.9 และ 2.10 จะได้สมการที่สามารถคำนวณกำลังของดินซีเมนต์ที่ปริมาณความชื้น ปริมาณซีเมนต์ และระบะบ่มไดๆ โดยอาศัยเพียงแค่ผลการทดสอบเดียวที่อายุการบ่ม 28 วัน ดังแสดงในสมการ

$$\left[\frac{q_{(w_c/C)1,D}}{q_{(w_c/C)28}} \right] = 1.24^{\{(w_c/C)_{28} - (w_c/C)_D\}} - (0.038 + 0.0281 \ln D) \quad (2.16)$$

เมื่อ $q_{(w_c/C)1,D}$ คือ กำลังอัคแกนเดียวกองดินซีเมนต์ที่ต้องการทราบ ที่ w_c/C หลังจากระยะเวลา D วัน

$q_{(w_c/C)28}$ คือ กำลังอัคแกนเดียวกองดินซีเมนต์ที่ทราบค่า ที่ระยะเวลา 28 วัน



รูปที่ 2.13 การเพิ่มขึ้นของกำลังรับแรงอัดแกนเดียวของดินซีเมนต์ (Horpibulsuk et al., 2003)

บทที่ 3

3.1 ບກນໍາ

ในงานก่อสร้างถนน เกี้ยวนคิน และโครงสร้างต่างๆ ที่เกี่ยวข้องกับงานทางด้านวิศวกรรม เราจำเป็นต้องทำการบดอัดดินเพื่อเพิ่มน้ำหนักของดิน การบดอัดจะเป็นการเพิ่มกำลังต้านทานแรงเฉือนของดิน และส่งผลให้กำลังรับแรงแบกรากของดินเพิ่มขึ้น นอกจากนี้ การบดอัดยังช่วยลดการทรุดตัวของชั้นดิน และเพิ่มเสถียรภาพความลาดได้กับดินตาม

นักวิจัยหลายท่าน อาทิ เช่น Davidson and Gardiner (1962) และ Turnbull (1948) ได้สร้างความสัมพันธ์ระหว่างจุดเหมาะสม (Prismatic Soil Classification) และความชื้นเหมาะสมและหน่วงน้ำหนักแห้งสูงสุด (และคุณสมบัติพื้นฐานของดิน เช่น ชนิดของดินและการจำแนกประเภทดิน (Soil Classification) ค่าพิกัดอัตเตอร์เบอร์ก (Atterberg's Limit) และการกระจายตัวของเม็ดดิน (Grain Size Distribution) Kofiatis and Manikopoulos (1982) สร้างความสัมพันธ์ระหว่างหน่วงน้ำหนักแห้งสูงสุดและขนาดของดินเม็ดหยาบ Ramiah et al. (1970) ได้สร้างสมการประมาณปริมาณความชื้นเหมาะสมและหน่วงน้ำหนักแห้งสูงสุดในพจน์ของปีกจำกัดเหลว Jeng and Strohm (1976) ได้สร้างสมการทำงานยับปริมาณความชื้นเหมาะสมและหน่วงน้ำหนักแห้งสูงสุดของดินบดอัดแบบวิชีมาตรฐานจากคุณสมบัติทางกายภาพของดิน Blotz et al. (1998) ทำการทดสอบดินเม็ดคละอี้ด 22 ชนิด และเสนอสมการคำนวณปริมาณความชื้นเหมาะสมและหน่วงน้ำหนักแห้งสูงสุดในพจน์ของปีกจำกัดเหลวและพลังงานการบดอัด Gurtug and Sridharan (2002) ได้สร้างสมการทำงานยับปริมาณความชื้นเหมาะสมและหน่วงน้ำหนักแห้งสูงสุดของดินเม็ดคละอี้ดบดอัดแบบวิชีมาตรฐานจากค่าพิกัดพลาสติก

จนถึงปัจจุบัน มีงานวิจัยเพียงไม่กี่ชิ้นที่ทำการศึกษาและสร้างแบบจำลองทำนายเส้นกราฟการบดอัด เส้นกราฟการบดอัดเป็นสิ่งสำคัญยิ่ง เนื่องจากมันสามารถป้องกันพฤติกรรมที่ปริมาณความชื้นต่างๆ ลักษณะของกราฟจะเป็นเครื่องมือที่ช่วยในการควบคุมปริมาณความชื้นสำหรับการบดอัดในสนา� แบบจำลองกราฟการบดอัดได้ถูกนำเสนอครั้งแรกโดย Joslin (1959) จากการทดสอบการบดอัดคิน 26 ชนิด ด้วยการบดอัดแบบมาตรฐาน (Standard Proctor Test) และได้สร้างแบบจำลองที่เรียกว่ากราฟการบดอัดโอไฮโอ (Ohio Curves) กราฟดังกล่าวสามารถประมาณค่าเส้นกราฟการบดอัดได้อย่างรวดเร็วเพียงแค่ใช้ข้อมูลปริมาณความชื้นและหน่วยน้ำหนักร่วมเพียงจุดเดียวจากการทดสอบการบดอัดแบบมาตรฐาน ต่อมา Nagaraj and Bindumadhava (1992) และ Pandian et al. (1997) ได้เสนอแบบจำลองจากการสังเกต (Phenomenological Model) สำหรับสร้างความสัมพันธ์ระหว่างความหนาแน่นและปริมาณความชื้นของดินเม็ดละอิคทางด้านแห้งและทางด้านเปียกของความชื้นเหมาะสมจากค่าคงที่จำกัดเหลวและความถ่วงจำเพาะ แต่อย่างไรก็ตาม แนวโน้มคงที่ได้เฉพาะกับการทดสอบ

การบดอัดแบบมาตรฐานเท่านั้น จุดสูงสุดของเส้นกราฟเกิดจากจุดตัดของเส้นกราฟทางด้านแห้งและทางด้านเปียก ทำให้กราฟมีลักษณะเป็นรูปตัววีกลับหัว (Inverted V Shape)

แม้ว่าจะมีแบบจำลองที่ใช้ในการสร้างกราฟการบดอัดแล้วก็ตาม แต่แบบจำลองเหล่านี้ใช้ได้กับเฉพาะการบดอัดแบบมาตรฐาน ในทางปฏิบัติ การสุ่มทดสอบ (Trial Test) เป็นสิ่งจำเป็นอย่างยิ่ง ก่อนที่จะเริ่มน้ำทำการบดอัดในสนาม ดังนั้น งานวิจัยนี้มีจุดประสงค์ที่จะนำเสนอแบบจำลองการบดอัดคิน ซึ่งสามารถประมาณกราฟการบดอัดที่พลังงานการบดอัดต่างๆ โดยอาศัยเพียงผลทดสอบการบดอัดพลังงานเดียว

3.2 ดินตัวอย่างที่ใช้ในการทดสอบ

การศึกษานี้ทำการทดสอบคินหลายชนิดซึ่งครอบคลุมขนาดของเม็ดคินทั้งคินเม็ดหยาบและคินเม็ดละเอียด ได้แก่ หินคลุก ดินลูกรัง และดินเหนียวปานคินตะกอน โดยคินเหนียวปานคินตะกอนลูกเก็บ ที่ความลึก 3 เมตร จากระดับผิวดิน ภายในบริเวณมหาวิทยาลัยเทคโนโลยีสุรนารี จังหวัดนครราชสีมา มีปริมาณคินเหนียว 53 เปอร์เซ็นต์ คินตะกอน 44 เปอร์เซ็นต์ และคินทรายเพียง 3 เปอร์เซ็นต์ คินเหนียวมีค่าความเป็นพลาสติกปานกลาง และมีปริมาณความชื้นตามธรรมชาติ 18.5 เปอร์เซ็นต์ ค่าขีดจำกัดเหลวและพิกัดพลาสติกเท่ากับ 51 และ 26 เปอร์เซ็นต์ ตามลำดับ กำลังด้านทานแรงเฉือนในสภาพไม่ระบายน้ำมีค่าเท่ากับ 100 กิโลปascal

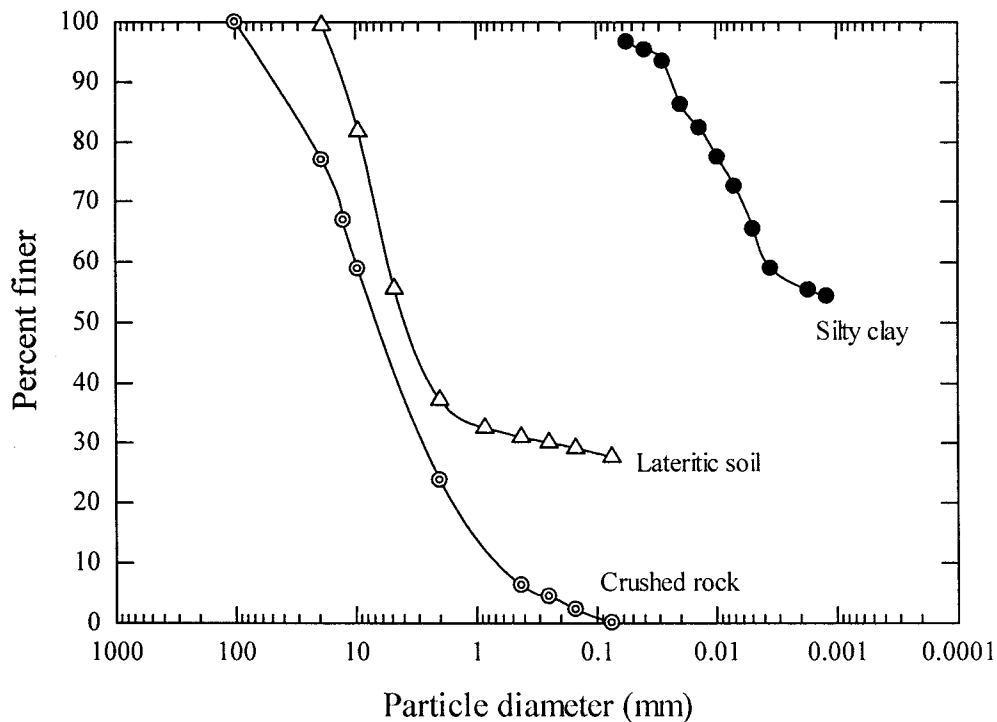
ตัวอย่างคินลูกรังและหินคลุกเก็บจากจังหวัดเพชรบูรณ์ คินลูกรังประกอบด้วยคินเม็ดหยาบ 70 เปอร์เซ็นต์ ค่าขีดจำกัดเหลวและพิกัดพลาสติกเท่ากับ 53 และ 37 เปอร์เซ็นต์ ตามลำดับ จัดเป็นคินทรายที่มีคินเหนียวปาน (SC) ตามระบบ USCS หินคลุกจำแนกตามระบบ USCS ได้เป็นกราดที่มีขนาดคละกันดี (GW) การกระจายตัวของคินตัวอย่างทั้งสามแสดงดังรูปที่ 1

3.3 วิธีการทดสอบ

ตัวอย่างคินทั้งสามชนิดถูกนำมาร่อนผ่านตะแกรงขนาดช่องเปิด 19 มิลลิเมตร เพื่อขัดส่วนผสมที่มีขนาดใหญ่ อันจะก่อให้เกิดความไม่เหมาะสมทางด้านขนาดของวัสดุทดสอบ (Size Effect) คินตัวอย่างที่ผ่านการร่อนจะถูกนำมาผึ่งแห้งในอากาศอย่างน้อย 3 วัน จากนั้นหาปริมาณความชื้น และเตรียมทำการบดอัดที่ปริมาณความชื้นต่างๆ กันจำนวน 5 ถึง 6 จุดปริมาณความชื้น โดยในแต่ละจุดปริมาณความชื้น ทำการเติมน้ำใส่ตัวอย่างและห่อเก็บไว้ในถุงพลาสติก เป็นเวลาประมาณ 12 ชั่วโมง เพื่อให้คินตัวอย่างมีปริมาณความชื้นทั่วถึงกัน จากนั้นวัดปริมาณความชื้นก่อนทำการบดอัด และทำการบดอัดตัวอย่างในแบบหล่อ (Mould) มาตรฐานที่มีขนาดเส้นผ่านศูนย์กลาง 4 นิ้ว ตามมาตรฐาน ASTM D 698 ด้วยพลังงานการบดอัดเท่ากับ 296.3, 592.5, 1346.6 และ 2693.3 กิโลกรัมต่อถูกบาทเมตร เทียบเท่ากับพลังงานการบดอัดที่ครึ่งหนึ่งของพลังงานการบดอัดมาตรฐาน พลังงานการบดอัดมาตรฐาน

ของพัลส์งานการบดอัดที่สูงกว่ามาตรฐาน และพัลส์งานการบดอัดที่สูงกว่ามาตรฐาน ตามลำดับ ในแต่ละจุดปริมาณความชื้น ใช้จำนวนตัวอย่างอย่างน้อย 3 ตัวอย่าง เพื่อตรวจสอบความสอดคล้อง (Consistency) ของผลทดสอบ

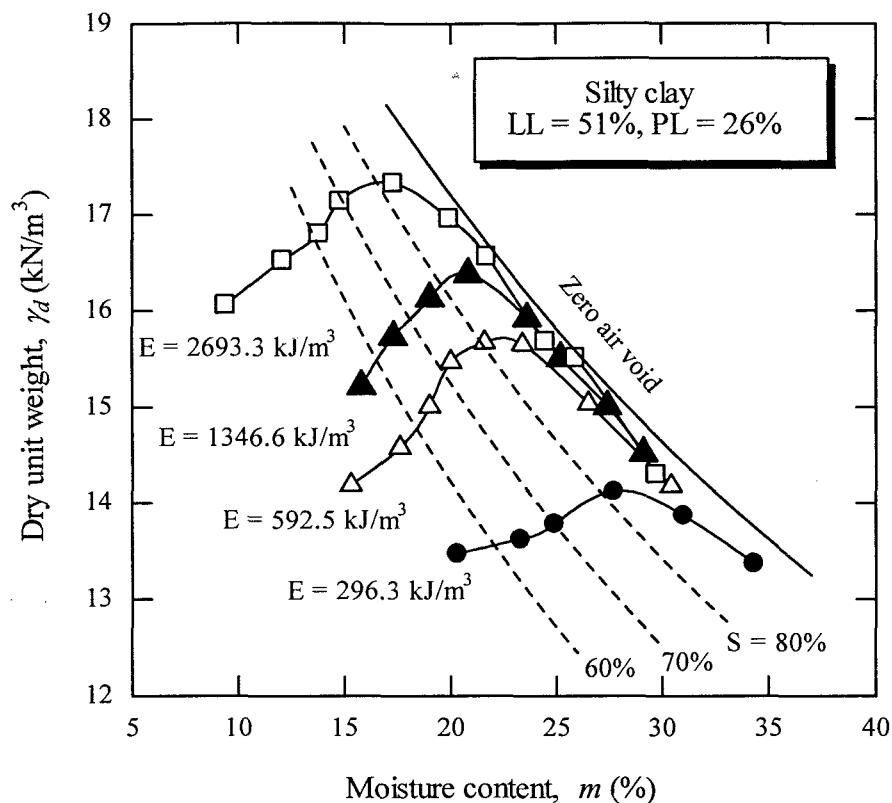
นอกจากการทดสอบดังอธิบายข้างต้นแล้ว ผลทดสอบดินลูกรัง (ธีรชาติและสมบัติกระแสง, 2544) และดินเหนียวปนดินตะกอน (Turnbull, 1950) ถูกนำมาใช้ในการตรวจสอบความแม่นยำของการทำนายกราฟการบดอัด



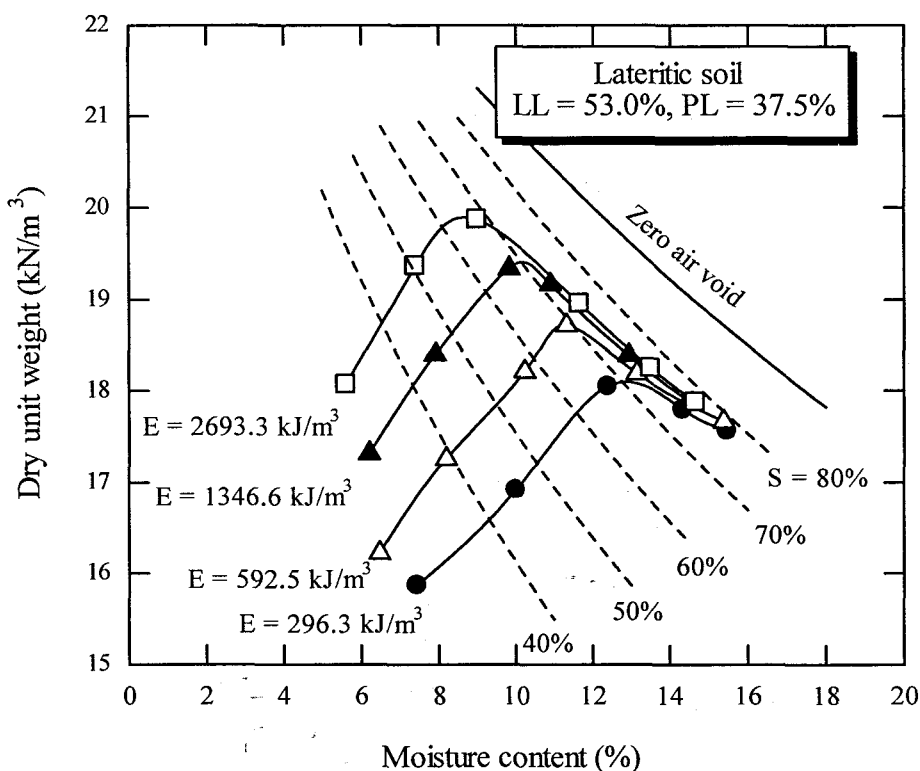
รูปที่ 3.1 การกระจายขนาดเม็ดดินของดินตัวอย่างทดสอบ

3.4 ผลการทดสอบ

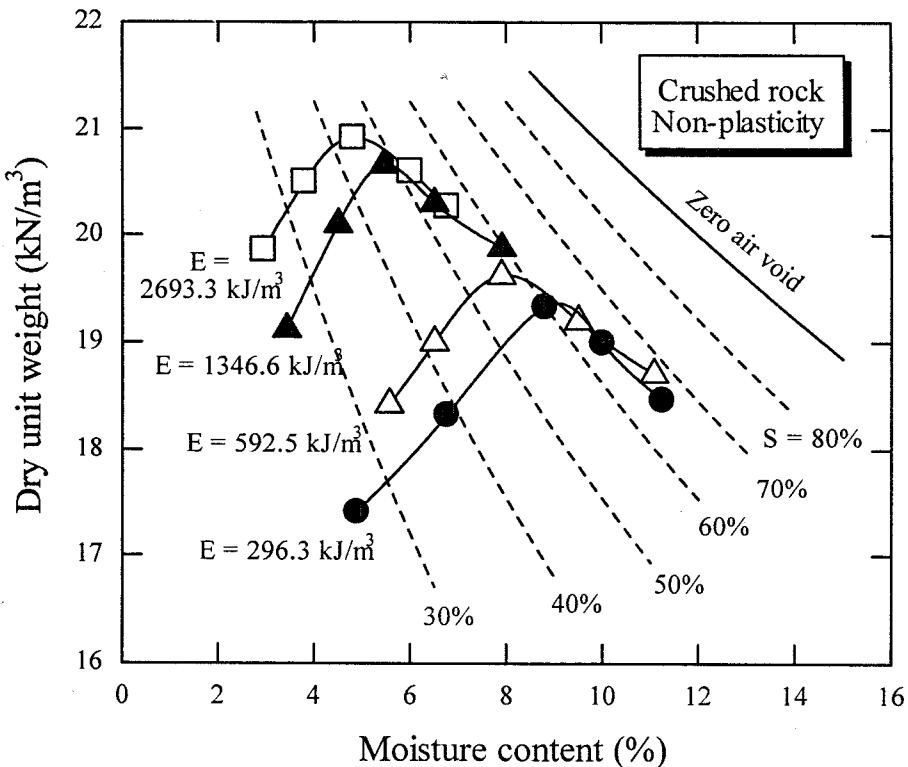
รูปที่ 3.2 ถึง 3.4 แสดงผลการทดสอบการบดอัดของดินเหนียวปนดินตะกอน ดินลูกรัง และหินคลุก ที่พัลส์งานการบดอัดต่างๆ กัน ตามลำดับ จะเห็นว่าที่พัลส์งานการบดอัดเดียวกัน ดินเหนียวปนดินตะกอนจะให้ค่าปริมาณความชื้นเหมาะสม (OMC) สูงที่สุด และหน่วยน้ำหนักแห้งสูงสุด (γ_{dmax}) ต่ำที่สุด ในขณะที่ หินคลุกจะให้ค่าปริมาณความชื้นเหมาะสม (OMC) ต่ำที่สุด และหน่วยน้ำหนักแห้งสูงสุด (γ_{dmax}) สูงที่สุด สิ่งนี้แสดงให้เห็นว่าปริมาณของดินเม็ดละเอียดในมวลดินเป็นปัจจัยที่ควบคุมลักษณะทางวิศวกรรมของดินบดอัด ดินที่มีปริมาณดินเม็ดละเอียดมากจะให้ค่าปริมาณความชื้นเหมาะสมสูงกว่า และหน่วยน้ำหนักแห้งสูงสุดต่ำกว่า ทั้งนี้เพราะการบดอัดดินเม็ดละเอียดถูกควบคุมด้วยค่าขีดจำกัดเหล่านี้ และพิภพพลาสติก (Gurtug and Sridharan, 2002 และ Pandian et al., 1997)



รูปที่ 3.2 ผลทดสอบการบดอัดของดินเหนียวปนดินตะกอนที่พลังงานการบดอัดต่างๆ



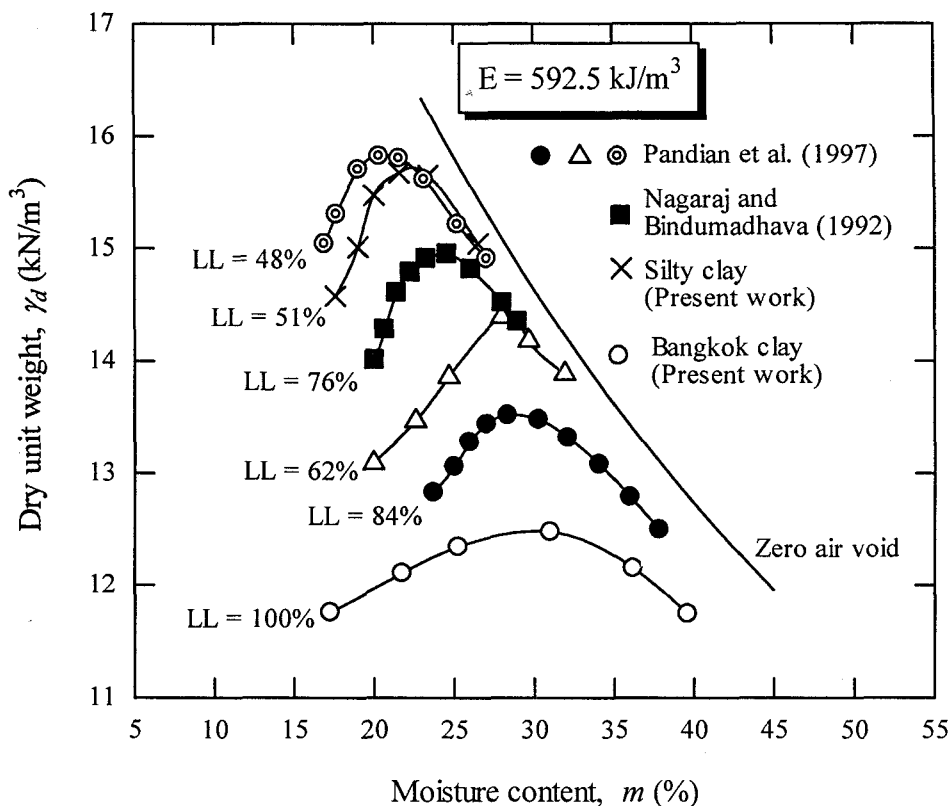
รูปที่ 3.3 ผลทดสอบการบดอัดของดินลูกรังที่พลังงานการบดอัดต่างๆ



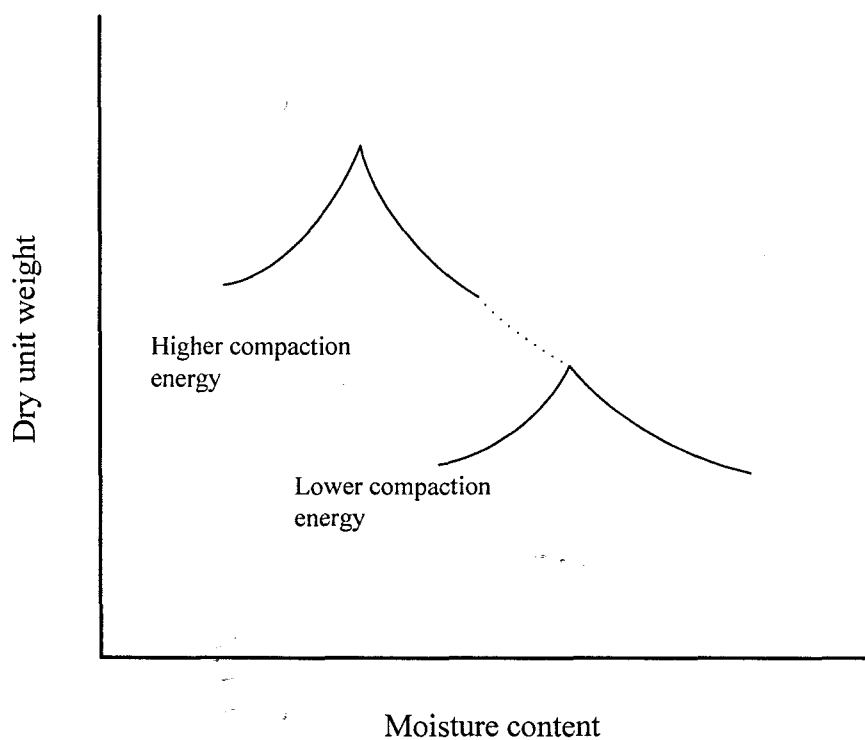
รูปที่ 3.4 ผลทดสอบการบดอัดของหินคลุกที่พลังงานการบดอัดต่างๆ

รูปที่ 3.5 แสดงผลทดสอบการบดอัดดินเม็ดละเอียดหลายชนิดภายใต้พลังงานการบดอัดที่ 592.5 กิโลกรัมต่อสูตรบากเมตร ซึ่งรวบรวมจาก Pandian et al. (1997) และ Nagaraj and Bindumadhava (1992) และผลทดสอบของผู้เขียน จะเห็นว่าลักษณะทางวิศวกรรมของดินเม็ดละเอียดบดอัดขึ้นกับค่าปิดกัดเหลว ซึ่งเป็นผลเนื่องจากปริมาณของเหลวในช่องว่างระหว่างมวลดิน (Pore Fluid) และแร่ดินเหนียว (Clay Mineral) ค่าปิดกัดเหลวที่สูงกว่าจะมีผลทำให้ค่าปริมาณความชื้นเหมาะสมสูงกว่าและหน่วงน้ำหนักแห้งสูงสุดต่ำกว่า

จากผลทดสอบในรูปที่ 3.2 ถึง 3.4 และงานวิจัยในอดีต (Turnbull, 1950; Mitchell et al., 1965; Nagaraj et al., 1994; และ Santucci De Magistris and Tatsuoka, 2004) แสดงให้เห็นว่าเส้นการเปลี่ยนแปลงของปริมาณความชื้นและหน่วงน้ำหนักแห้ง ที่ด้านเปียกของปริมาณความชื้นเหมาะสม มีลักษณะเป็นเส้นโค้งเดียงกันสำหรับทุกพลังงานการบดอัด ดังนั้นผู้เขียนขอนำเสนอบนแบบจำลองท่านายเส้นกราฟการบดอัดดังแสดงในรูปที่ 3.6



รูปที่ 3.5 ผลการทดสอบการบดอัดของดินเม็ดละอีดต่างๆ
ภายใต้พลังงานการบดอัดที่ 592.5 กิโลจูลต่อลูกบาศก์เมตร

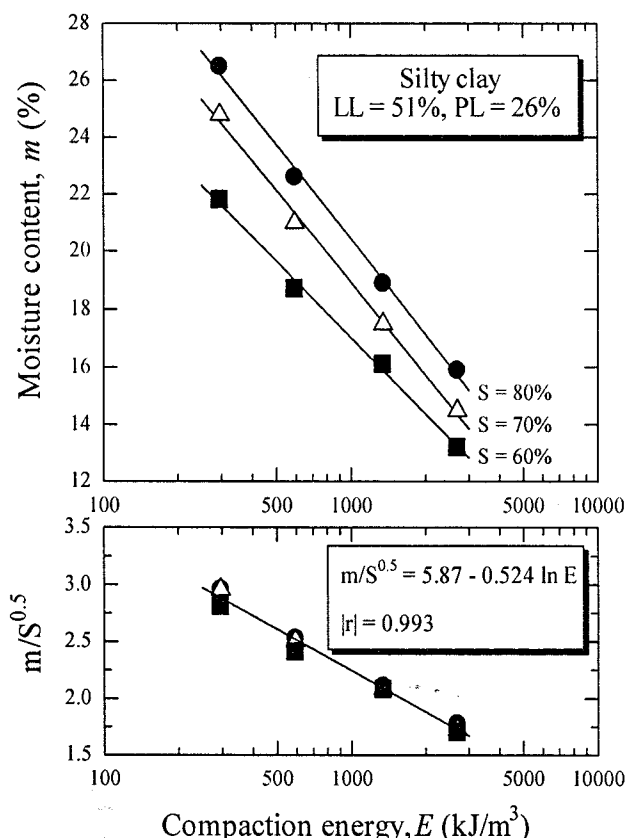


รูปที่ 3.6 รูปแบบจำลองเส้นกราฟการบดอัดรูปตัววีกับหัว

3.5 การวิเคราะห์ผลทดสอบการบดอัด

Nagaraj and Srinivasa Murthy (1985) และ Nagaraj and Tiwari (1985) ได้อธิบายว่ากราฟการบดอัดที่พัลส์งานหนึ่งๆ จะถูกควบคุมโดยคุณสมบัติพื้นฐาน กล่าวคือ ปริมาณความชื้นและระดับความอิ่มตัวด้วยน้ำของดิน โดยการใช้ตัวแปรทั้งสองเป็นตัวแปรหลัก Pandian et al. (1997) ได้นำเสนอแบบจำลองที่ได้จากสังเกต (Phenomenological model) เพื่อทำนายเส้นกราฟการบดอัด ซึ่งสามารถใช้ได้ที่พัลส์งานการบดอัดแบบมาตรฐานเท่านั้น งานวิจัยนี้จะขยายแนวคิดดังกล่าวเพื่อนำเสนอแบบจำลองกราฟการบดอัดของดินชนิดต่างๆ ที่พัลส์งานการบดอัดต่างๆ

จากการวิเคราะห์ความสัมพันธ์ระหว่างปริมาณความชื้นและพัลส์งานการบดอัดบนสเกลล์อกการริทึม พบว่าความสัมพันธ์ดังกล่าวมีลักษณะเป็นเส้นตรงซึ่งแปรผันตามค่าระดับความอิ่มตัวด้วยน้ำ ดังแสดงในรูปที่ 3.7 และ 3.8 ความสัมพันธ์เชิงเส้นตรงนี้แสดงให้เห็นว่าที่ปริมาณความชื้นเดียวกัน ปริมาณอากาศในดินบดอัดจะถูกไล่ออกได้ง่าย เมื่อให้พัลส์งานการบดอัดที่สูงขึ้นและมีผลให้ระดับความอิ่มตัวของดินสูงตามไปด้วย ลักษณะการเปลี่ยนแปลงเช่นนี้จะไม่ปรากฏกับดินบดอัดที่มีปริมาณความชื้นมากกว่าปริมาณความชื้นเหมาะสม (ด้านเปียก) ทั้งนี้เพราะมวลดินมีสภาพใกล้เคียงกับสภาวะอิ่มตัวด้วยน้ำ

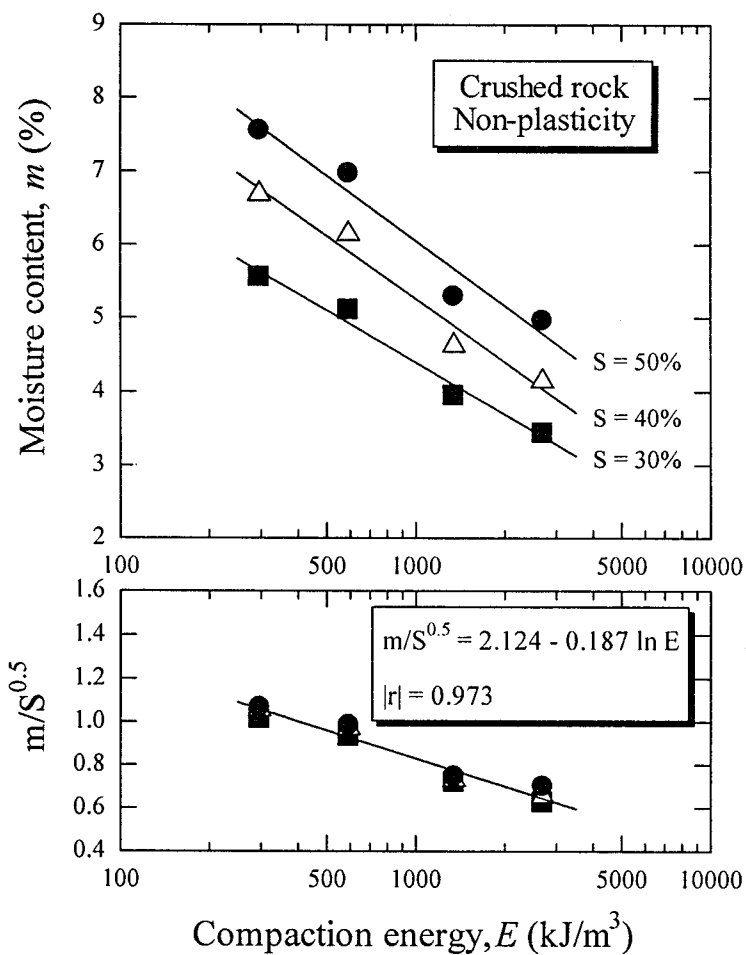


รูปที่ 3.7 ความสัมพันธ์ระหว่างปริมาณความชื้นและพัลส์งานการบดอัดของดินเหนียวปันดินตะกอน และเส้น Normalization

จากการ Normalization ปริมาณความชื้นด้วยระดับความอิ่มตัวด้วยน้ำ พบว่า $m/S^{0.5}$ มีความสัมพันธ์เชิงเส้นตรงกับพลังงานการบดอัดบนสเกลล็อกการทึบ ดังสมการที่ 3.1

$$\frac{m}{S^{0.5}} = a - b \ln E \quad (3.1)$$

เมื่อ m คือปริมาณความชื้น S คือระดับความอิ่มตัวด้วยน้ำ หน่วยเป็นเปอร์เซ็นต์ a และ b คือค่าคงที่ซึ่งเป็นค่าเฉลี่าของคืนแต่ละประเภท



รูปที่ 3.8 ความสัมพันธ์ระหว่างปริมาณความชื้นและพลังงานการบดอัดของหินคลุก และเส้น Normalization

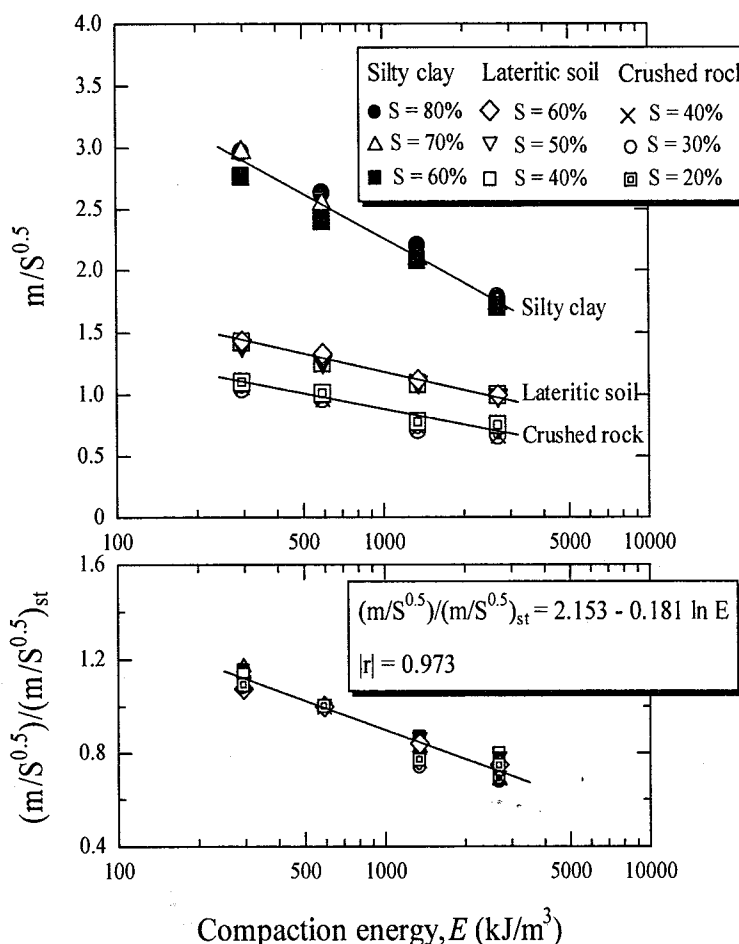
สมการข้างต้นนี้แสดงให้เห็นว่า ที่ปริมาณความชื้นน้อยกว่าปริมาณความชื้นเหมาะสม (ด้านแท้) $m/S^{0.5}$ เป็นค่าเฉลี่าสำหรับพลังงานการบดอัดค่าหนึ่ง ไม่แปรผันตามระดับความอิ่มตัวด้วยน้ำ ปริมาณความชื้น และหน่วยน้ำหนักแท้ จากรูปที่ 3.7 พบว่า a และ b มีค่าเท่ากับ 5.87 และ 0.524

ตามลำดับ สำหรับคินเนี่ยวนปนดินตะกอน ในทำงานของเดียวกัน a และ b สำหรับหินคลุก (รูปที่ 3.8) มีค่าเท่ากับ 2.124 และ 0.187 ตามลำดับ ซึ่งมีความแตกต่างจากค่าของคินเนี่ยวนปนดินตะกอน

รูปที่ 3.9 แสดงความสัมพันธ์ระหว่าง $m/S^{0.5}$ และ $\log E$ ของคินทั้งสามชนิด จะเห็นได้ว่าเส้นความสัมพันธ์ของคินที่มีปริมาณคินเนี่ยวนมากที่สุด จะมีความชันสูงที่สุด สิ่งที่น่าสนใจที่สังเกตได้จากความสัมพันธ์ดังกล่าวคือ ถึงแม้ว่าการเปลี่ยนแปลงของ $m/S^{0.5}$ ภายใต้การเพิ่มขึ้นของพลังงานการบดอัด จะมีความแตกต่างกันตามแต่ชนิดของคิน แต่อัตราส่วนของ $m/S^{0.5}$ มีค่าคงที่ หรือกล่าวมีนัยหนึ่งว่า

$$\left[\frac{(m/S^{0.5})_1}{(m/S^{0.5})_2} \right]_{\text{silty clay}} = \left[\frac{(m/S^{0.5})_1}{(m/S^{0.5})_2} \right]_{\text{lateritic soil}} = \left[\frac{(m/S^{0.5})_1}{(m/S^{0.5})_2} \right]_{\text{Crushed rock}}$$

เมื่อ $(m/S^{0.5})_1$ คือค่าของ $m/S^{0.5}$ ที่พลังงานการบดอัดค่าใดๆ $(m/S^{0.5})_2$ คือค่าของ $m/S^{0.5}$ ที่พลังงานการบดอัดค่าใดค่าหนึ่ง



รูปที่ 3.9 ตัวแปร $m/S^{0.5}$ และพลังงานของคินทั้งสามชนิด และอัตราส่วนของ $(m/S^{0.5})/(m/S^{0.5})_{st}$ ที่พลังงานต่างๆ

ในที่นี้ ถ้าเลือกใช้ค่า $(m/S^{0.5})_2$ เท่ากับ $m/S^{0.5}$ ที่พัลังงานการบดอัดแบบมาตรฐาน ($592.5 \text{ กิโลจูลต่อสูญเสียศักดิ์เมตร}^2$) และเขียนเป็น $(m/S^{0.5})_{st}$ ความสัมพันธ์ที่เป็นเอกภาพ (Unique Relationship) ระหว่าง $(m/S^{0.5})/(m/S^{0.5})_{st}$ ซึ่งรวมอิทธิพลของชนิดคินสามารถนำเสนอดังรูปที่ 3.9 และดังสมการต่อไปนี้

$$\frac{(m/S^{0.5})}{(m/S^{0.5})_{st}} = 2.153 - 0.181 \ln E \quad (3.2)$$

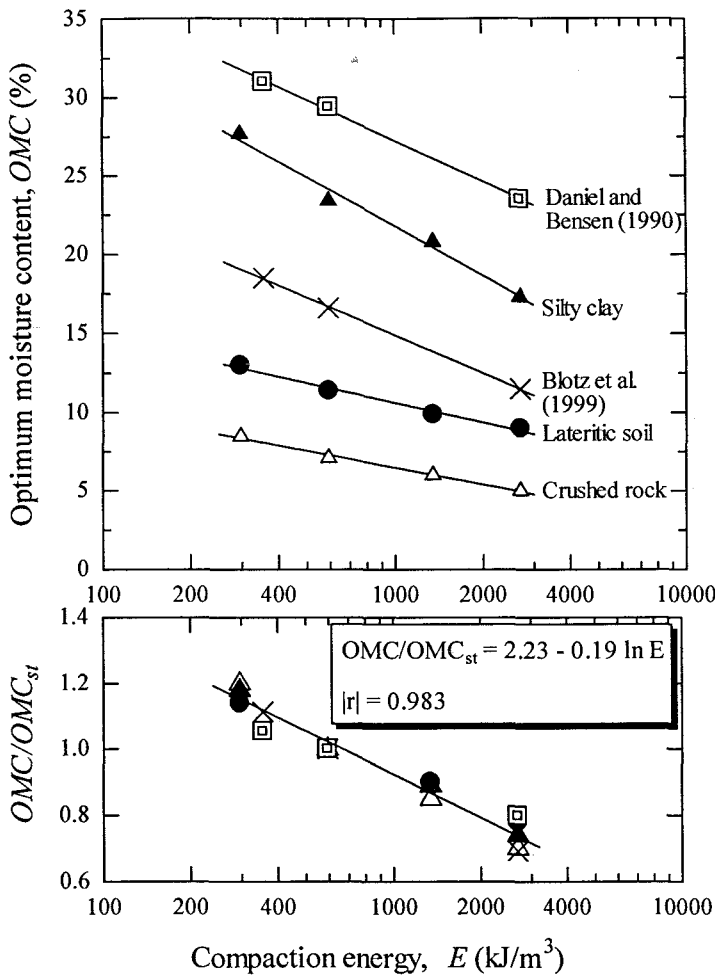
เมื่อ $(m/S^{0.5}) = (m/S^{0.5})_{st}$ และ $E = 592.5 \text{ กิโลจูลต่อสูญเสียศักดิ์เมตร}$ พจน์ทางซ้ายมีจะกลายเป็นหนึ่ง ขณะที่พจน์ทางขวาเมื่อจะเป็น 0.997 สิ่งนี้ยืนยันความเป็นไปได้ในการประยุกต์ใช้ของสมการนี้ในการประมาณ $(m/S^{0.5})$ ที่พัลังงานการบดอัดค่าอื่นๆ สมการที่ได้นี้มีประโยชน์อย่างมากในการสร้างความสัมพันธ์ระหว่างปริมาณความชื้นและหน่วยน้ำหนักแห้งที่ด้านแห้งของปริมาณความชื้นเหมาะสมภายใต้พัลังงานการบดอัดใดๆ เมื่อทราบค่าตัวแปร $m/S^{0.5}$ ที่พัลังงานการบดอัดค่าใดๆ หนึ่ง

ต่อไปนี้จะกล่าวถึงการสร้างเส้นโค้งการบดอัดที่ด้านเปียกของปริมาณความชื้นเหมาะสม จากรูปที่ 3.6 ในทางปฏิบัติ เราสามารถสมมติว่าเส้นโค้งของหน่วยน้ำหนักแห้งและปริมาณความชื้นที่ด้านเปียกของปริมาณความชื้นเหมาะสมเป็นเส้นโค้งเดียวกันสำหรับทุกพัลังงานการบดอัด ดังนั้น เราสามารถสร้างเส้นโค้งการบดอัดได้ทันที เมื่อทราบค่า OMC และ $\gamma_{dm_{max}}$ ที่พัลังงานการบดอัดต่างๆ รูปที่ 3.10 แสดงความสัมพันธ์ระหว่าง OMC และพัลังงานการบดอัดของดินบดอัดห้องสามชนิดร่วมกับดินบดอัดอิฐสองชนิดที่ได้จากผลทดสอบของ Daniel and Benson (1990) และ Blotz et al. (1998) จะเห็นได้ว่า ความสัมพันธ์ดังกล่าวเป็นสมการเชิงเส้นตรง ซึ่งสอดคล้องกับผลทดสอบของ Boutwell (1996)

จากการศึกษาของ Blotz et al. (1998) ทำให้ทราบว่า เราสามารถสร้างความสัมพันธ์ระหว่าง Normalized OMC และพัลังงานการบดอัดได้ โดยการเลือก OMC ที่พัลังงานการบดอัดแบบมาตรฐาน เป็นตัวอ้างอิง ผู้เขียนขอนำเสนอความสัมพันธ์ระหว่าง Normalized OMC และพัลังงานการบดอัดดังนี้

$$\frac{OMC}{OMC_{st}} = c + d \ln E \quad (3.3)$$

เมื่อ OMC_{st} คือปริมาณความชื้นเหมาะสมที่พัลังงานการบดอัดมาตรฐาน (592.5 kJ/m^3) E คือพัลังงานการบดอัดใดๆ และตัวแปร c และ d มีค่าคงที่ เท่ากับ 2.23 และ -0.19 ตามลำดับ (จากรูปที่ 3.10) ซึ่งให้ค่า Degree of Correlation สูงถึง 0.983

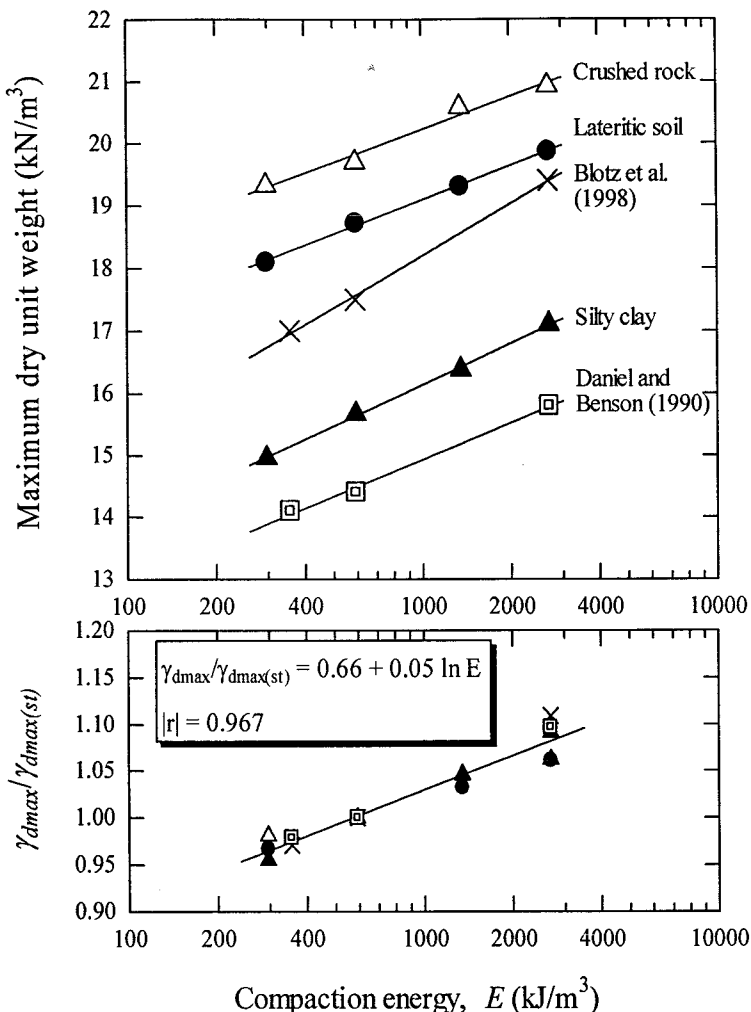


รูปที่ 3.10 ความสัมพันธ์ระหว่าง OMC และพลังงานการบดอัด ร่วมกับ Normalization

เนื่องจาก $\gamma_{d\max}$ มีความสัมพันธ์โดยตรงกับ OMC (Blotz et al, 1998, Gurtug and Sridharan, 2002 และ Boutwell, 1996) ดังนั้น $\gamma_{d\max}$ จึงควรมีความสัมพันธ์โดยตรงกับพลังงานการบดอัดด้วยเช่นกัน ความสัมพันธ์ระหว่าง Normalized $\gamma_{d\max}$ และพลังงานการบดอัด แสดงในรูปที่ 3.11 และสมการดังต่อไปนี้

$$\frac{\gamma_{d\max}}{(\gamma_{d\max})_{st}} = 0.70 + 0.05 \ln E \quad (3.4)$$

เมื่อ $(\gamma_{d\max})_{st}$ คือหน่วยน้ำหนักแห้งสูงสุดที่พลังงานการบดอัดมาตรฐาน



รูปที่ 3.11 ความสัมพันธ์ระหว่าง γ_{dmax} และพลังงานการบดอัด ร่วมกับ Normalization

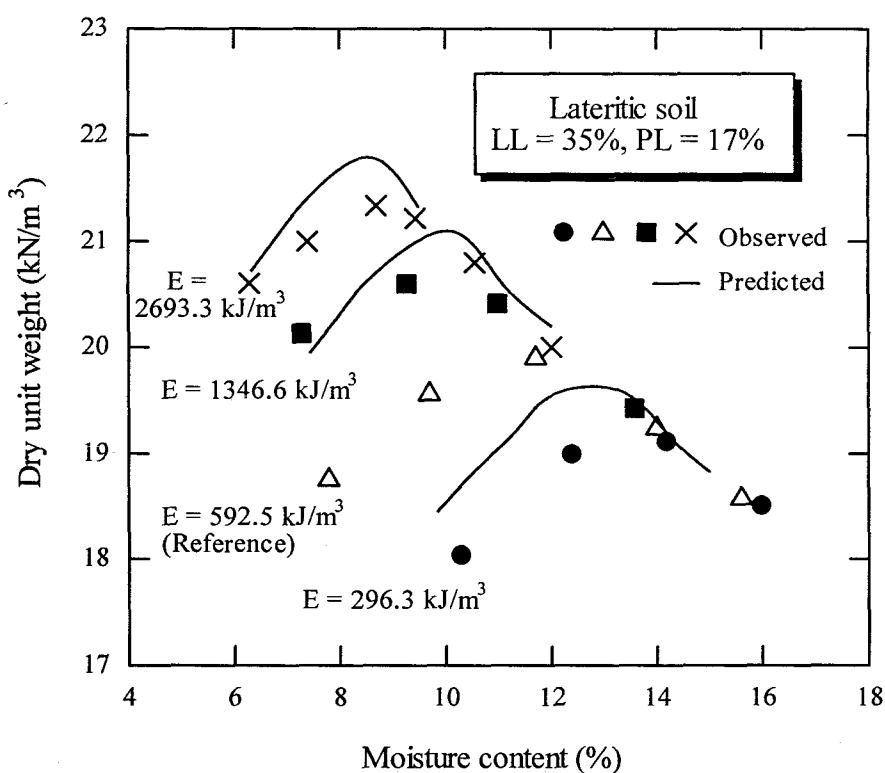
3.6 การทำนายเส้นกราฟการบดอัด

จากหัวข้อที่แล้ว ลักษณะของกราฟการบดอัดของคินเม็คหมายและคินเม็คละเอียด ได้ถูกวิเคราะห์ เส้นโค้งการบดอัดที่ด้านแห้งของปริมาณความชื้นเหมาะสมสามารถถูกโดยอาศัยสมการที่ (3.2) ส่วนเส้นโค้งการบดอัดที่ด้านเปียกของปริมาณความชื้นเหมาะสมสามารถถูกโดยอาศัยสมการที่ (3.3) และ (3.4) ดังนั้น เราสามารถทำนายเส้นกราฟการบดอัด ภายใต้พลังงานการบดอัดค่าต่างๆ จากข้อมูลกราฟการบดอัดของคินนิกินนิ่ง ภายใต้พลังงานการบดอัดค่าหนึ่ง ได้ดังวิธีต่อไปนี้

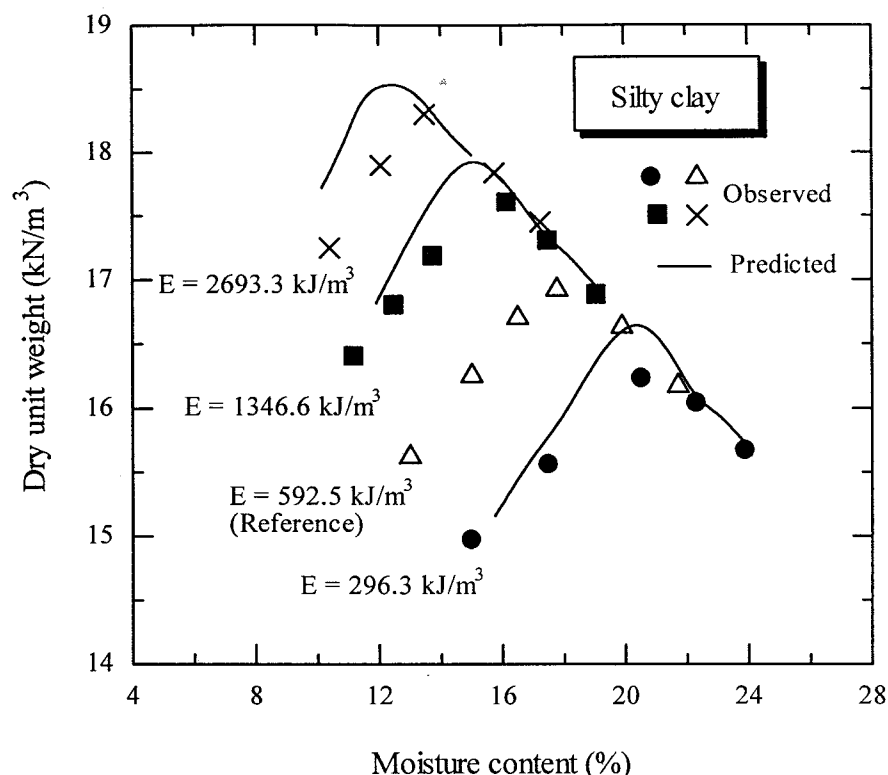
1. จากข้อมูลกราฟการบดอัด ภายใต้พลังงานการบดอัดค่าหนึ่ง หากค่าเฉลี่ยของ $m/S^{0.5}$ ที่ปริมาณความชื้นน้อยกว่าปริมาณความชื้นเหมาะสม (ด้านแห้ง)
2. คำนวณหา $m/S^{0.5}$ ของพลังงานการบดอัดที่ต้องการทราบ โดยอาศัยสมการที่ (3.2)
3. คำนวณหาจุดเหมาะสมของเส้นกราฟการบดอัด (Optimum Point, OMC และ γ_{dmax}) ที่พลังงานที่ต้องการทราบ โดยอาศัยสมการที่ (3.3) และ (3.4)

4. วัดเส้นกราฟการบดอัดคืนทางด้านแห้งจนถึงจุดเหมาะสม
5. คำนวณหาจุดเหมาะสม (Optimum Point, OMC และ $\gamma_{dm\max}$) ที่พลังงานการบดอัดค่าต่างๆ
6. สมมติว่าเส้นโค้งการบดอัดที่ด้านเปียกเป็นเส้นเดียวกันสำหรับทุกพลังงานการบดอัด ลากเส้นโค้งเชื่อมจุดเหมาะสมที่ได้จากการคำนวณในข้อที่ 5

จากวิธีการทำนายตามขั้นตอนที่นำเสนอ ผู้เขียนได้แสดงผลการทำนายกราฟการบดอัด ดังแสดงในรูปที่ 3.12 และ 3.13 ซึ่งเป็นผลการทดสอบคินลูกรังและดินเหนียวปันดินตะกอน ตามลำดับ จะเห็นได้ว่ากราฟการบดอัดคืนที่ได้จากการทำนายให้ผลที่สอดคล้องและใกล้เคียงกับผลการทดสอบจริงมาก



รูปที่ 3.12 เส้นกราฟการบดอัดคืนที่ได้จากการทดสอบและการทำนายของคินลูกรัง



รูปที่ 3.13 เส้นกราฟการบดอัดดินที่ได้จากผลทดสอบและการทำนายของคินเนนขึ้นบนคินตะกอน

บทที่ 4

แบบจำลองทำนายกำลังอัดของดินซีเมนต์บดอัด

4.1 บทนำ

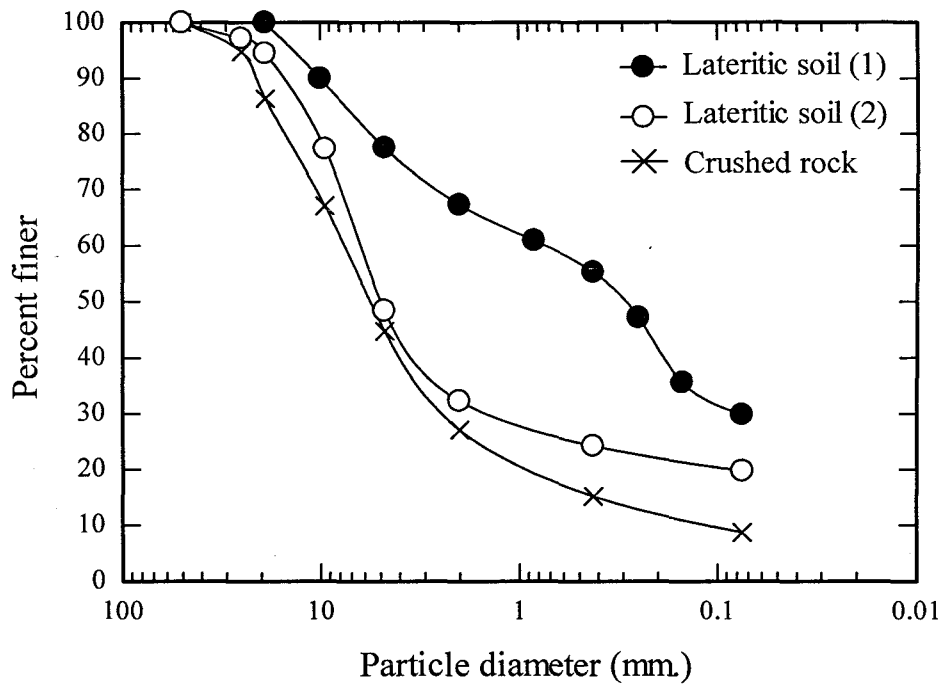
การซ่อมแซมถนนที่ชำรุดเนื่องจากการใช้งานมาเป็นเวลานาน โดยวิธีการหมุนเวียนวัสดุชั้นทางเดิมมาใช้ใหม่ (Pavement Recycling Technique) เป็นวิธีที่นิยมใช้กันอย่างมากในประเทศไทย ขณะนี้ แต่การศึกษาการพัฒนาการทำลังอัดยึดมือถือย่างจำกัด และยังไม่ปรากฏทฤษฎีดินซีเมนต์บดอัด ดังนั้น บทนี้จะนำเสนอถักมหะทางวิศวกรรมของดินซีเมนต์บดอัด และท้ายสุดจะสร้างทฤษฎีกำลังอัดและสมการทำนายกำลังอัดของดินซีเมนต์บดอัด

4.2 ดินตัวอย่าง

งานวิจัยนี้แบ่งออกเป็นสองส่วน คือ ส่วนที่หนึ่ง : การศึกษาอิทธิพลของคุณสมบัติพื้นฐานที่มีต่อความสามัคคีระหว่างความเค้น-ความเครียดของดินบดอัดผสมซีเมนต์และไม่ผสมซีเมนต์ และสร้างทฤษฎีกำลังอัดและสมการทำนายกำลังอัด ส่วนที่สอง : การตรวจสอบความถูกต้อง (Verification) ของสมการที่นำเสนอด้วยการทดสอบความถูกต้องของดินตัวอย่างสองชนิด (ดินสูกรังและหินคลุก) ซึ่งเป็นวัสดุที่นิยมใช้ในการก่อสร้างถนน ดินสูกรังที่ใช้ในการทดสอบจะนำมาจากแหล่งดินสองแหล่ง ดินสูกรัง (1) เป็นวัสดุที่เก็บมาจากบ่อเย็นบริเวณสวนสัตว์ อำเภอเมือง จังหวัดนราธิวาส ที่ความลึกประมาณ 4-5 เมตร ซึ่งเป็นบ่อเย็นที่ใช้สำหรับก่อสร้างถนนสายสวนสัตว์ - โชคชัย ดินตัวอย่างมีสีแดง ประกอบด้วยกรวดและทรายเป็นมวลรวมหลักในปริมาณ 32.7 และ 38.8 เปอร์เซ็นต์ ตามลำดับ ส่วนประกอบที่เหลือเป็นดินตะกอนในปริมาณ 28.5 เปอร์เซ็นต์ ดินตัวอย่างมีค่าจำกัดเหลวเท่ากับ 22.5 เปอร์เซ็นต์ และไม่มีสภาพความเป็นพลาสติก (Non-plasticity) และจัดเป็นทรายป่นดินตะกอน (SM) ตามการจำแนกระบบ USCS ดินสูกรัง (2) เป็นวัสดุที่เก็บจากจังหวัดเพชรบูรณ์ มีปริมาณดินเม็ดหินมากกว่า 80 เปอร์เซ็นต์ ค่าจำกัดเหลวและพิกัดพลาสติกมีค่าเท่ากับ 38.9 และ 20.4 เปอร์เซ็นต์ ตามลำดับ และจัดเป็นกรวดที่มีดินเหนียวปน (GC) ตามระบบการจำแนกแบบ USCS

หินคลุกเป็นวัสดุที่เก็บมาจากการก่อสร้างซ่อมแซมปรับปรุงถนนสายหลักระหว่างจังหวัดเพชรบูรณ์ – วิเชียรบุรี หินตัวอย่างมีสีเทาดำ ประกอบด้วยปริมาณดินเม็ดหินเกินกว่า 90 เปอร์เซ็นต์ และไม่มีสภาพความเป็นพลาสติก โดยอาศัยการจำแนกระบบ USCS หินคลุกจัดเป็นกรวดป่นดินตะกอน (GM) การกระจายตัวของหินสูกรังและหินคลุกแสดงดังรูปที่ 4.1 ดินทั้งสามนี้จึงถูกนำมาใช้ในการเปรียบเทียบอิทธิพลของความคละและสภาพความเป็นพลาสติกต่อกำลังอัดของดินซีเมนต์

ในส่วนที่สอง ซึ่งเป็นการตรวจสอบความถูกต้องของสมการทำนายกำลังอัดที่สร้างขึ้น ผู้วิจัยได้รวบรวมผลทดสอบกำลังอัดดินซีเมนต์บดอัดของธีรชาติและสมบัติกระແສ (2544) และทำการทดสอบดินลูกรัง (2) และหินคลุกในอัตราส่วน 20:80 และทดสอบกับซีเมนต์บดอัดที่พัฒนาการบดอัดเท่ากับ 2963.3 กิโลกรัมต่อสูตรบากเมตร เพื่อหากำลังอัดแคนเดี่ยวที่อายุบ่ม 7 และ 14 วัน และทำการเปรียบเทียบผลทดสอบที่ได้กับผลการทำนาย

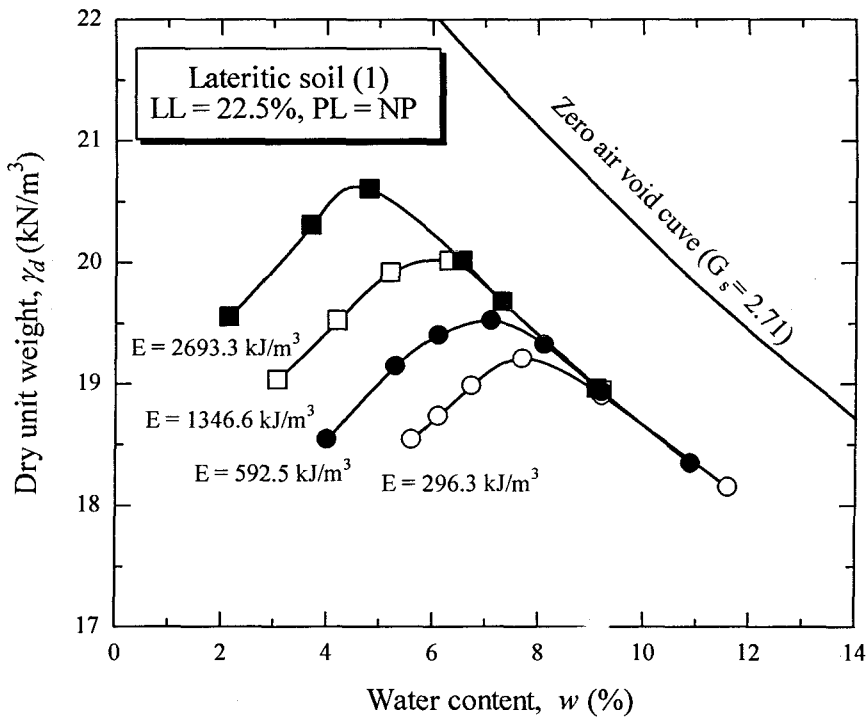


รูปที่ 4.1 การกระจายตัวของดินลูกรังและหินคลุก

4.3 วิธีการทดสอบ

ตัวอย่างดินทั้งหมดถูกนำมาร่อนผ่านตะแกรงขนาดช่องเปิด 19 มิลลิเมตร เพื่อขัดส่วนผสมที่มีขนาดใหญ่ อันจะก่อให้เกิดความไม่หนาแน่นทางด้านขนาดของวัสดุทดสอบ (Size Effect) ดินตัวอย่างที่ผ่านการร่อนจะถูกนำมาฝึกแห้งในอากาศอย่างน้อย 3 วัน จากนั้นนำไปปริมาณความชื้น และเตรียมทำการบดอัดที่ปริมาณความชื้นต่างๆ กันจำนวน 5 ถึง 6 จุดปริมาณความชื้น โดยในแต่ละจุดปริมาณความชื้น ทำการเติมน้ำใส่ตัวอย่างและห่อเก็บไว้ในถุงพลาสติก เป็นเวลาประมาณ 12 ชั่วโมง เพื่อให้ดินตัวอย่างมีปริมาณความชื้นทั่วถึงกัน จากนั้นวัดปริมาณความชื้นก่อนทำการบดอัด และทำการบดอัดตัวอย่างในแบบหล่อมาตรฐาน (Mould) ที่มีขนาดเส้นผ่านศูนย์กลาง 4 นิ้ว ตามมาตรฐาน ASTM D 698 ด้วยพัลส์งานการบดอัดเท่ากับ 296.3, 592.5, 1346.6 และ 2693.3 กิโลกรัมต่อสูตรบากเมตร เทียบเท่ากับพัลส์งานการบดอัดที่ครึ่งหนึ่งของพัลส์งานการบดอัดมาตรฐาน พัลส์งานการบดอัดมาตรฐาน ครึ่งหนึ่งของพัลส์งานการบดอัดที่สูงกว่ามาตรฐาน และพัลส์งานการบดอัดที่สูงกว่า

ตามลำดับ ภาระการบดอัดคินลูกรัง (1) และหินคลุก ที่พลังงานการบดอัดสี่ค่าแสดงดังรูปที่ 4.2 และ 4.3 ตามลำดับ ตารางที่ 4.1 แสดงค่าปริมาณความชื้นเหมาะสมและหน่วยวัน้ำหนักแห้งสูงสุดของคินลูกรัง (1) และหินคลุก ที่พลังงานการบดอัดทั้งสี่ค่า



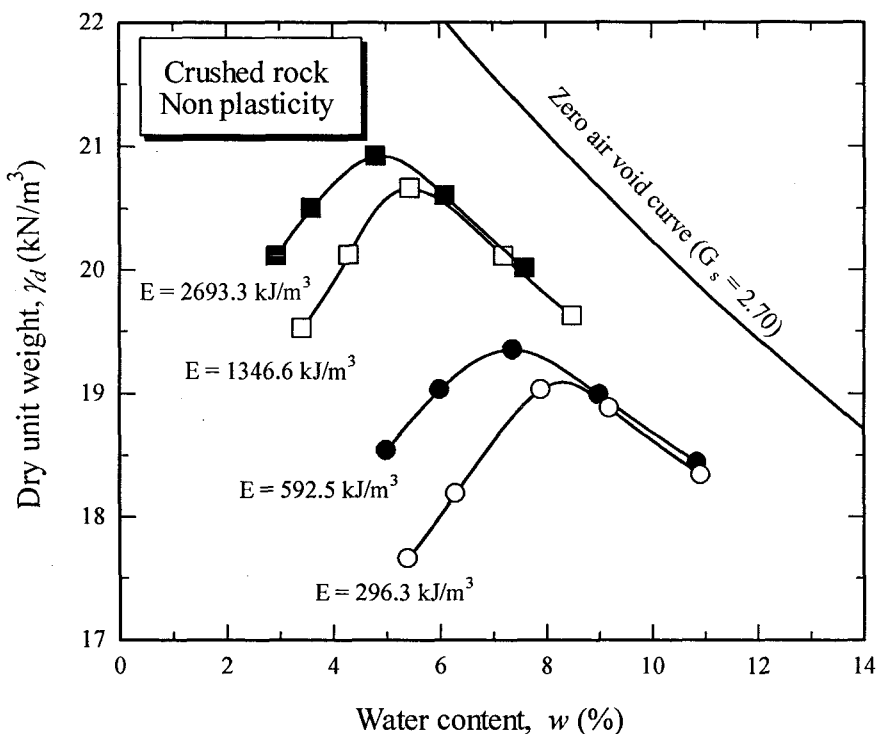
รูปที่ 4.2 ภาระการบดอัดของคินลูกรัง (1)

ตารางที่ 4.1 ปริมาณความชื้นเหมาะสมและหน่วยวัน้ำหนักแห้งสูงสุดของคินลูกรัง (1) และหินคลุก

พลังงานต่อหน่วยปริมาตร(Energy per unit volume)	Lateritic soil (1)		Crushed rock	
	OMC (%)	γ_{dmax} (kN/m³)	OMC (%)	γ_{dmax} (kN/m³)
1. Half standard proctor ($E = 296.3 \text{ kJ/m}^3$)	8.00	19.20	8.30	19.05
2. Standard proctor ($E = 592.5 \text{ kJ/m}^3$)	6.80	19.50	7.40	19.35
3. Half modified proctor ($E = 1346.6 \text{ kJ/m}^3$)	6.20	20.00	5.50	20.65
4. Modified proctor ($E = 2693.3 \text{ kJ/m}^3$)	5.40	20.55	4.80	20.90

เมื่อได้ภาระการบดอัด ทำการบดอัดส่วนผสมระหว่างคินและซีเมนต์ ที่ปริมาณความชื้นในคินเท่ากับ 0.6, 0.8, 1.0, 1.2 และ 1.4 เท่าของปริมาณความชื้นเหมาะสม ภายใต้พลังงานการบดอัดทั้ง 4 ค่าดังกล่าวข้างต้น ปริมาณซีเมนต์ที่ใช้คือ 1, 3, 5 และ 7 เบอร์เร็นต์ การเตรียมตัวอย่างคินชิ้นก่อนผสมซีเมนต์ทำเช่นเดียวกับการเตรียมตัวอย่างคินบดขัดที่ไม่ผสมซีเมนต์ หลังจากบดอัดได้ 24

ข้าวโพง คันคินตัวอย่างของจากแบบหล่อ ห่อตัวอย่างด้วยฟิล์มพลาสติก และเก็บไว้ในห้องควบคุมปริมาณความชื้นและอุณหภูมิ เมื่อได้อาชญาบ่อมครบ 7, 14, 28, 60 และ 120 วัน ทำการทดสอบแรงอัดแกนเดียวกับอัตราเร็วการเคลื่อนตัวในแนวตั้งเท่ากับ 1 เปอร์เซ็นต์ ต่อนาที ในแต่ละอัตราส่วนผสมระหว่างปริมาณน้ำและปริมาณซีเมนต์ พลังงานการบดอัด และอาชญาบ่อม ใช้จำนวนตัวอย่างอยู่ 3 ตัวอย่าง เพื่อตรวจสอบความสอดคล้อง (Consistency) ของผลทดสอบ

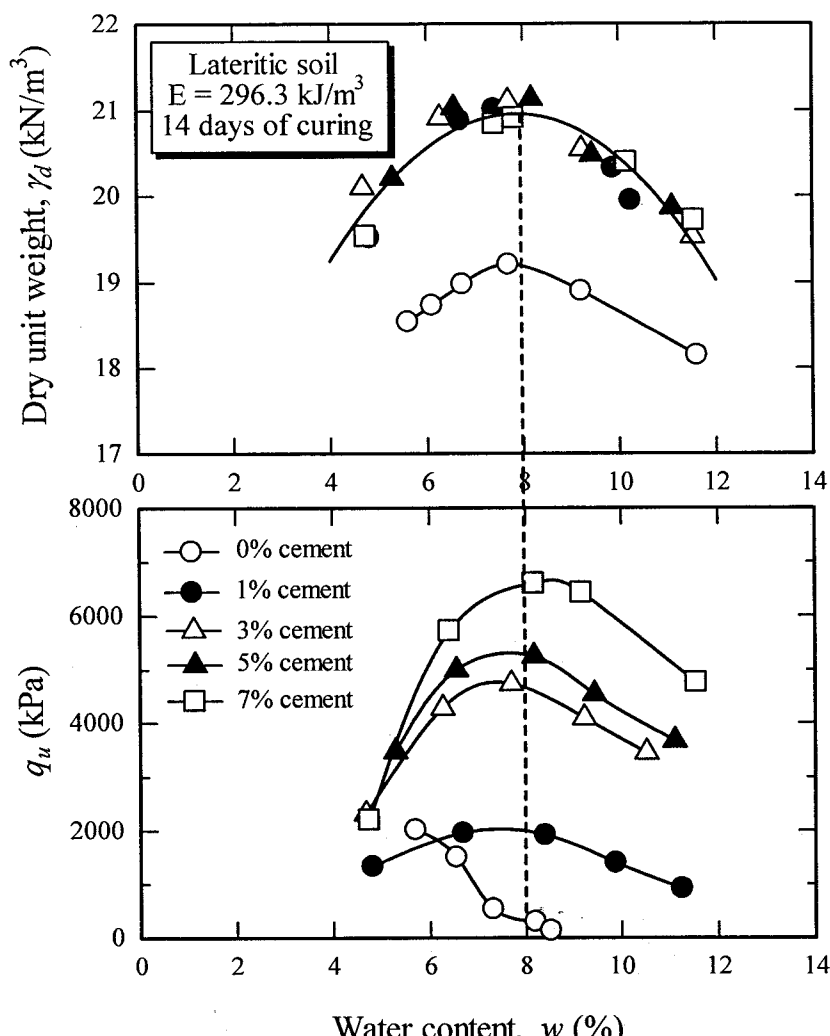


รูปที่ 4.3 กราฟการบดอัดของหินคลุก

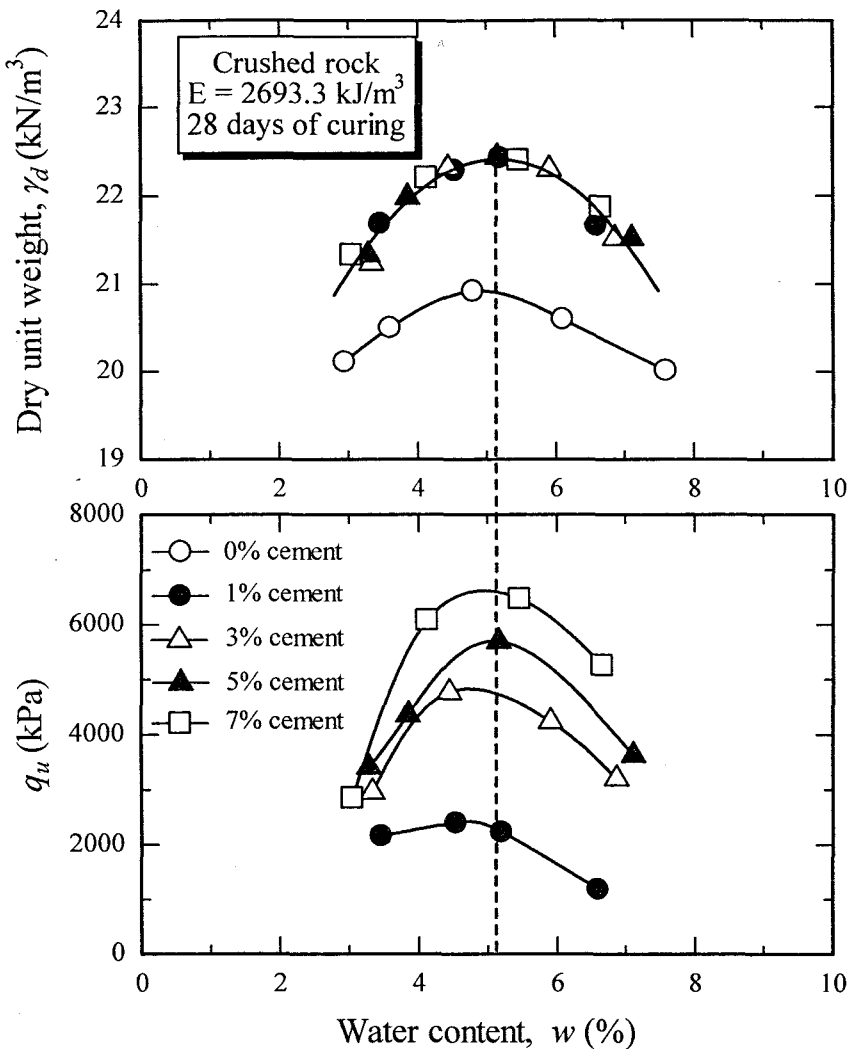
4.4 ผลทดสอบ

ลักษณะทั่วไปของกราฟการบดอัดหลังการบดอัดทันทีและแรงอัดแกนเดียวของคินซีเมนต์แสดงดังรูปที่ 4.4 และ 4.5 ซึ่งเป็นผลทดสอบของคินลูกรัง (1) และหินคลุก ตามลำดับ ที่ได้รับการบดอัดด้วยพลังงานการบดอัดเท่ากับ 293.3 และ 2963.3 กิโลจูลต่อลูกบาศก์เมตร ตามลำดับ จะเห็นได้ว่าปริมาณซีเมนต์มีอิทธิพลต่อกราฟการบดอัดอย่างมาก ดังจะเห็นได้ว่า ในช่วงปริมาณซีเมนต์ระหว่าง 1 ถึง 7 เปอร์เซ็นต์ กราฟการบดอัดของคินซีเมนต์มีลักษณะเหมือนกัน และความหนาแน่นแห้งสูงสุดของคินซีเมนต์มีค่าเท่ากันและสูงกว่าของคินบดอัด แต่ปริมาณความชื้นเหมาะสมมีค่าประมาณคงที่ กราฟการบดอัดสามารถแสดงได้โดยอาศัยฟังก์ชันพาราโบลา ซึ่งมีความสมมาตรรอบแกนที่ผ่านจุดสูงสุดของกราฟ ในขณะที่ ความสัมพันธ์ระหว่างปริมาณความชื้นและกำลังอัดแกนเดียว จะมีความสมมาตรจริงกระทั้งถึงปริมาณความชื้นค่าหนึ่งเท่านั้น ซึ่งมีค่าประมาณ 80

เพอร์เซ็นต์ ของปริมาณความชื้นเหมาะสม ที่เป็นเช่นนี้เนื่องจากว่า ปริมาณความชื้นที่ค่ากว่านี้ไม่เพียงพอที่จะทำให้เกิดปฏิกิริยาไฮเดรตตันได้สมบูรณ์ ดังจะเห็นได้ว่า ที่ปริมาณความชื้น 60 เพอร์เซ็นต์ ของปริมาณความชื้นเหมาะสม กำลังอัดมีค่าประมาณเท่ากันสำหรับทุกปริมาณซีเมนต์ และมีค่าใกล้เคียงกับกำลังอัดของดินบดอัด (ดูรูปที่ 4.4) จึงไม่มีประโยชน์ในการทดสอบซีเมนต์ในช่วงปริมาณความชื้นดังกล่าว ปริมาณความชื้นที่เหมาะสมในการปรับปรุงดินด้วยซีเมนต์ จึงควรมีค่าประมาณ 80 ถึง 140 เพอร์เซ็นต์ ของปริมาณความชื้นเหมาะสม จากผลทดสอบ เราสามารถสรุปได้ว่า ในทางปฏิบัติ ความสัมพันธ์ระหว่างกำลังอัดและปริมาณความชื้นที่ด้านแห้งมีความสมมาตร กับด้านเปียก ในช่วงที่ปริมาณความชื้นมีค่าอยู่ระหว่าง 80 ถึง 100 เพอร์เซ็นต์ ของปริมาณความชื้นเหมาะสม นอกเหนือนี้ยังเห็นได้อีกว่า ปริมาณความชื้นที่ให้กำลังอัดแกนเดียวและหน่วยน้ำหนักแห้งของดินซีเมนต์มีค่าสูงสุด คือปริมาณความชื้นเหมาะสม



รูปที่ 4.4 ความสัมพันธ์ระหว่างปริมาณชื้น-ความหนาแน่นแห้ง-กำลังอัดแกนเดียวของดินลูกรัง ที่อายุ บ่ม 14 วัน ภายใต้พลังงานการบดอัดครึ่งหนึ่งของพลังงานการบดอัดแบบมาตรฐาน

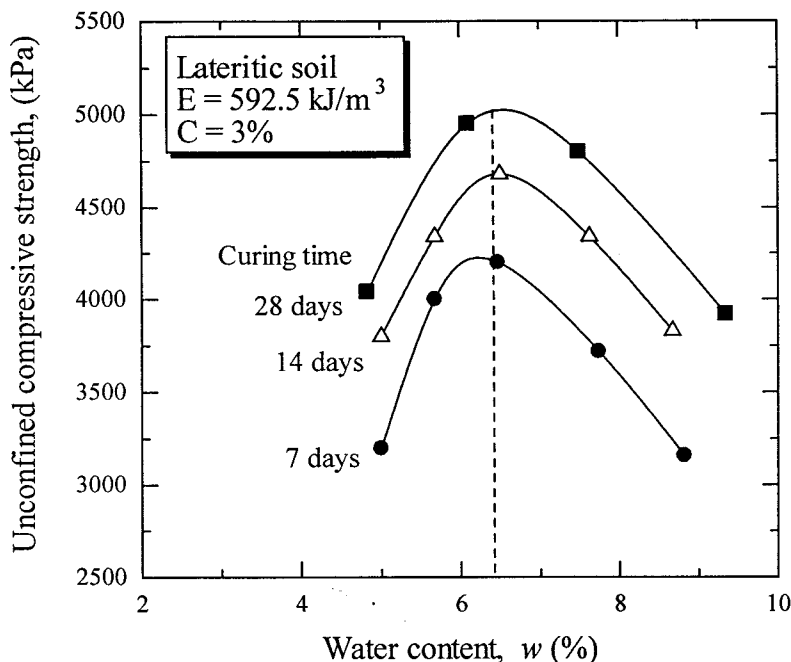


รูปที่ 4.5 ความสัมพันธ์ระหว่างปริมาณความชื้น-ความหนาแน่นแห้ง-กำลังอัดแกนเดียวยของหินคลุก
ที่อายุบ่ม 28 วัน ภายใต้พลังงานการบดอัดแบบสูงกว่ามาตรฐาน

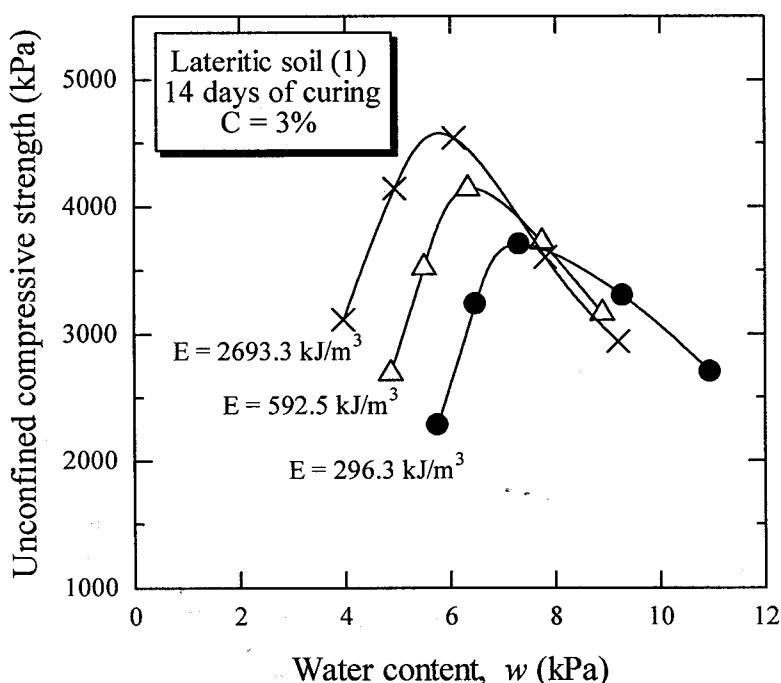
อิทธิพลของอายุบ่มต่อกำลังอัดแกนเดียวยของคินซีเมนต์บดอัดแสดงดังรูปที่ 4.6 ซึ่งเป็นผลทดสอบของคินลูกรังที่มีปริมาณความชื้น 80 ถึง 140 เปอร์เซ็นต์ ผสมกับซีเมนต์ปริมาณ 3 เปอร์เซ็นต์ ภายใต้พลังงานการบดอัดแบบมาตรฐาน และอายุบ่ม 7, 14 และ 28 วัน จะเห็นได้ชัดว่า อายุบ่มมีอิทธิพลอย่างมากต่อกำลังอัดแกนเดียวย ปริมาณความชื้นที่ให้กำลังอัดสูงสุดจะมีค่าไม่เปลี่ยนแปลงตามอายุบ่ม และมีค่าเท่ากับปริมาณความชื้นเหมาะสมของคินบดอัด

อิทธิพลของพลังงานการบดอัดต่อกำลังอัดของคินซีเมนต์แสดงให้เห็นดังรูปที่ 4.7 พลังงานการบดมีอิทธิพลต่อกำลังอัดของคินที่ด้านแห้ง (ในช่วง 0.8 ถึง 1.0 เท่าของ OMC) ที่ปริมาณความชื้นเหมาะสมและด้านเปียก ความสัมพันธ์ระหว่างกำลังอัดและปริมาณความชื้นมีค่าใกล้เคียงกันและสามารถประมาณเป็นความสัมพันธ์เส้นเดียวกันได้ สำหรับทุกพลังงานการบดอัด สิ่งนี้แสดง

ให้เห็นว่า กำลังอัดแกนเดียวของดินซีเมนต์ที่ผสมด้วยปริมาณความชื้นพอเพียง จะแปรผันตามปริมาณความชื้นและปริมาณซีเมนต์ พลังงานการบดอัดเพียงมีส่วนช่วยให้ปริมาณความชื้นที่พอเพียงสำหรับการผสมมีค่าลดลง อันนำมาซึ่งความสามารถในการลดปริมาณซีเมนต์

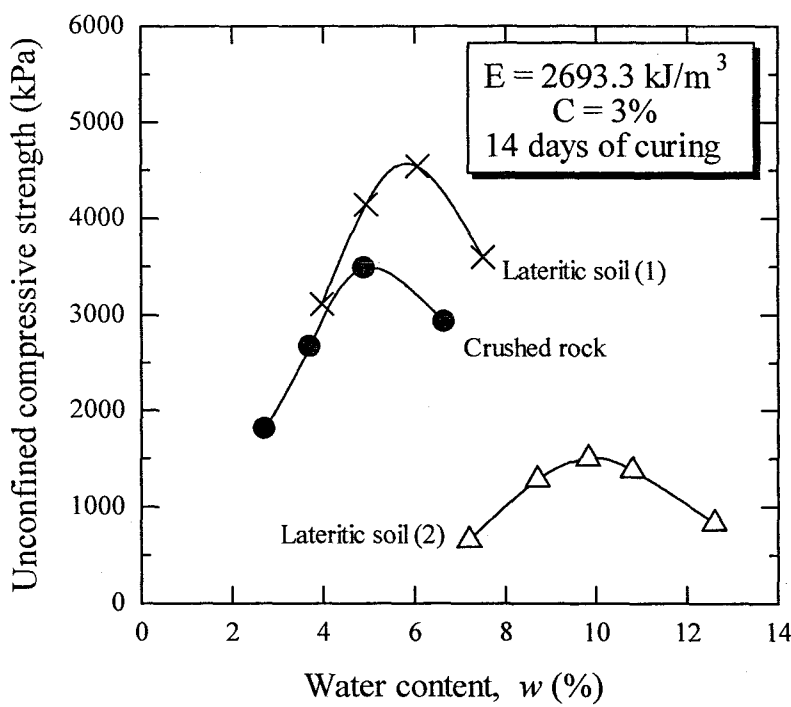


รูปที่ 4.6 ผลทดสอบแรงอัดแกนเดียวของดินลูกรังผสมซีเมนต์บดอัด ที่อายุบ่มต่างๆ
ภายใต้พลังงานการบดอัดแบบมาตรฐาน



รูปที่ 4.7 อิทธิพลของพลังงานการบดอัดต่อกำลังอัดของดินซีเมนต์

รูปที่ 4.8 แสดงความสัมพันธ์ระหว่างกำลังอัดและปริมาณความชื้นของดินทั้งสามชนิดผสมซีเมนต์ปริมาณ 3 เปอร์เซ็นต์ ภายใต้พลังงานการบดอัด 2693.3 กิโลจูลต่อลูกบาศก์เมตร อายุบ่ม 14 วัน เมื่อเปรียบเทียบกำลังอัดของดินซีเมนต์สองชนิด : ดินลูกรัง (2) และหินคลุก ซึ่งมีความคละคล้ายคลึงกัน แต่มีสภาพความเป็นพลาสติกต่างกัน เราสามารถล่าว่าได้ว่าสภาพความเป็นพลาสติกมีอิทธิพลอย่างมากต่อกำลังอัดและปริมาณความชื้นเหมาะสม ทั้งนี้เนื่องจากสภาพความเป็นพลาสติกเป็นตัวหน่วยของการเกิดปฏิกิริยาไขเครื่น ในดินที่ไม่มีความเป็นพลาสติก ขนาดของดินจะมีอิทธิพลต่อกำลังอัดของดินผสมซีเมนต์บดอัด ดังจะเห็นได้ว่า ดินลูกรัง (1) จะให้กำลังอัดที่สูงกว่าหินคลุกหลังจากผสมซีเมนต์ในปริมาณที่เท่ากัน ภายใต้พลังงานการบดอัดเดียวกัน ทั้งๆ ที่เป็นที่ทราบกันดีว่า หินคลุกจะให้กำลังอัดสูงกว่าดินลูกรัง เมื่อถูกบดอัดด้วยพลังงานการบดอัดเท่ากัน ทั้งนี้อาจเนื่องมาจากดินลูกรังมีปริมาณดินเม็ดเล็กมากกว่าหินคลุก จึงทำให้พันธะเชื่อมประสานระหว่างเม็ดดินมีการยึดเกาะกันได้ดีกว่าดินที่มีขนาดเม็ดใหญ่ยื่นหินคลุก เมื่อผสมซีเมนต์ด้วยปริมาณที่เท่ากัน ภายใต้พลังงานการบดอัดเดียวกัน

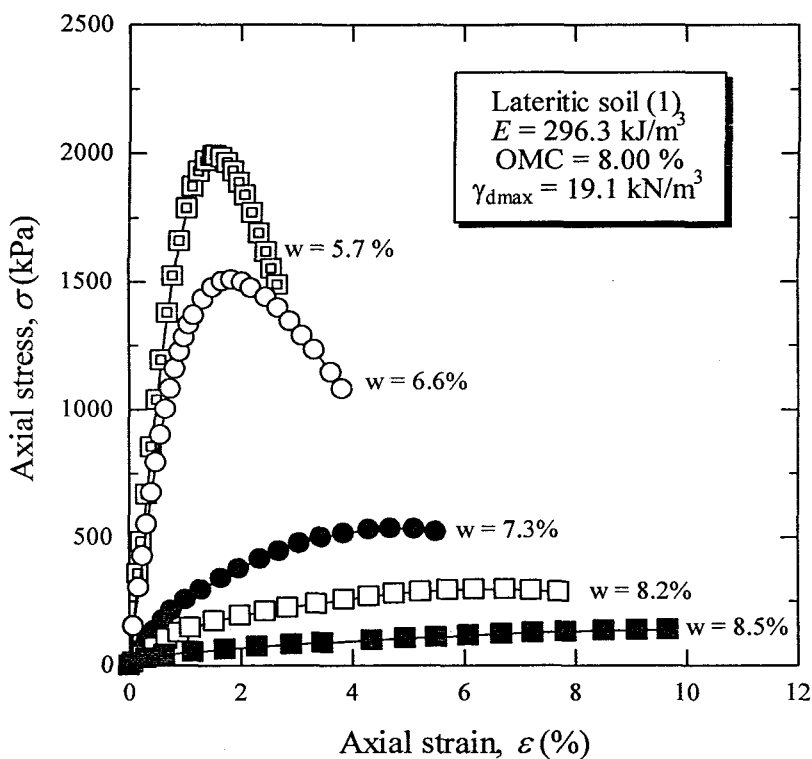


รูปที่ 4.8 อิทธิพลของชนิดดินต่อกำลังอัดของดินซีเมนต์

4.5 ลักษณะทางวัสดุของดินแม็คหมายและดินแม็คหมายผสมซีเมนต์บดอัด

ในดินเม็ดหมาย แรงระยะสั้นเป็นตัวแปรที่บบทาทสำคัญควบคุมลักษณะด้านกำลังและการเสียรูป ความเสียดทานที่อุดสัมผัสระหว่างเม็ดดินและ Matric suction จะก่อให้เกิดแรงต้านทานการลื่นไถล ด้วยเหตุนี้เอง เมื่อปริมาณความชื้นของดินบดอัดเพิ่มขึ้น กำลังต้านทานแรงนีออนและ

ความสามารถในการต้านทานการเสียรูปจะมีค่าลดลง เนื่องจาก การลดลงของ Matric suction ดังแสดงได้จากผลทดสอบแรงอัดแกนเดี่ยวของดินลูกรังบดอัด ดังรูปที่ 4.9

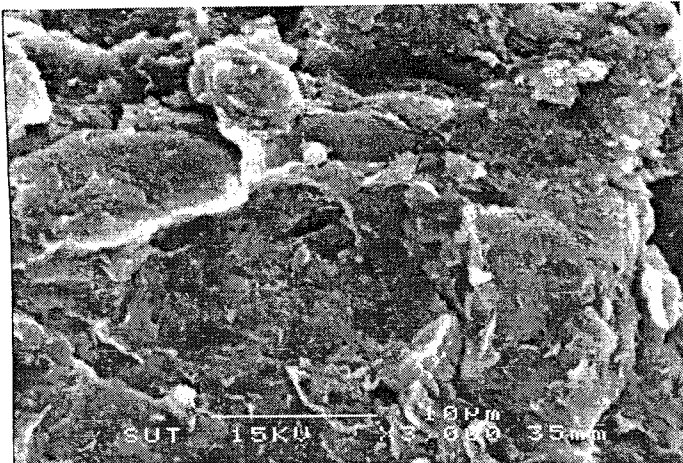


รูปที่ 4.9 ผลทดสอบแรงอัดแกนเดี่ยวของดินลูกรังผสมซีเมนต์บดอัด

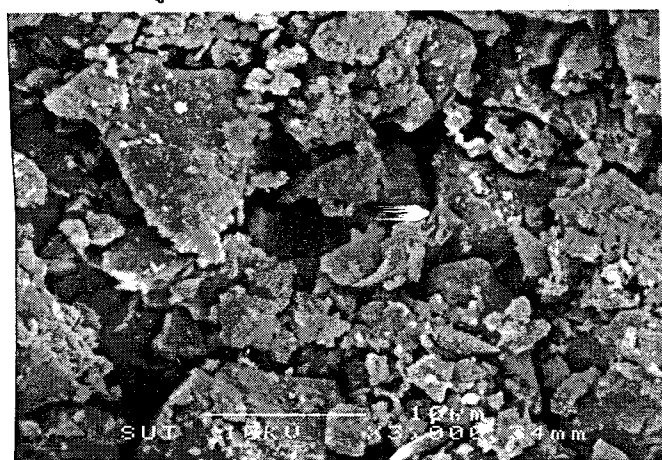
ทับดัดด้วยพลังงาน 296.3 กิโลจูลต่อลูกบาศก์เมตร

เมื่อดินมีเม็ดหยาบผสมกับซีเมนต์และน้ำ ซีเมนต์ซึ่งเป็นวัสดุที่ทำปฏิกิริยากับน้ำ จะก่อให้เกิดพันธะเชื่อมประสาน (Cementation bonds) และทำให้โครงสร้างเกิดความต่อเนื่องและแข็งแรง ด้วยเหตุนี้เอง ปริมาณความชื้นในดินเม็ดหยาบจึงเป็นตัวแปรสำคัญที่ควบคุมกำลังอัดของดินซีเมนต์บดอัด อิทธิพลของปริมาณความชื้นต่อการเพิ่มขึ้นของกำลังอัดแสดงให้เห็นอย่างชัดเจน โดยรูปถ่ายโครงสร้างจุลภาคของดินซีเมนต์บดอัดที่ด้านแห้ง (60 เปรอร์เซ็นต์ ของปริมาณความชื้นเหมาะสม) และที่ปริมาณความชื้นเหมาะสม เปรียบเทียบกับโครงสร้างจุลภาคของดินบดอัดที่ปริมาณความชื้นเหมาะสม ดังแสดงในรูปที่ 4.10 (รูปถ่ายทั้งสามมีกำลังขยาย 3000 เท่า) รูปที่ 4.10(ค) แสดงพันธะเชื่อมประสานที่เกิดขึ้นระหว่างช่องว่างของกลุ่มของเม็ดดิน (Pore space) อย่างชัดเจน ซึ่งมีลักษณะเหมือนใบมีด ในขณะที่ ไม่ปรากฏร่องรอยพันธะเชื่อมประสานในดินซีเมนต์บดอัดที่ปริมาณความชื้นต่ำ (รูปที่ 4.10(ข)) ทั้งนี้อาจเนื่องจากปริมาณความชื้นที่ต่ำเกินไปทำให้ไม่สามารถบดอัดได้ดีและเกิดช่องว่างระหว่างเม็ดดินสูง อีกทั้งปริมาณความชื้นดังกล่าวอาจไม่เพียงพอต่อการเกิดปฏิกิริยาไฮเดรชันได้สมบูรณ์ ดังนั้น พันธะเชื่อมประสานจึงเพียงแค่เคลือบรอบเม็ดดินเท่านั้น

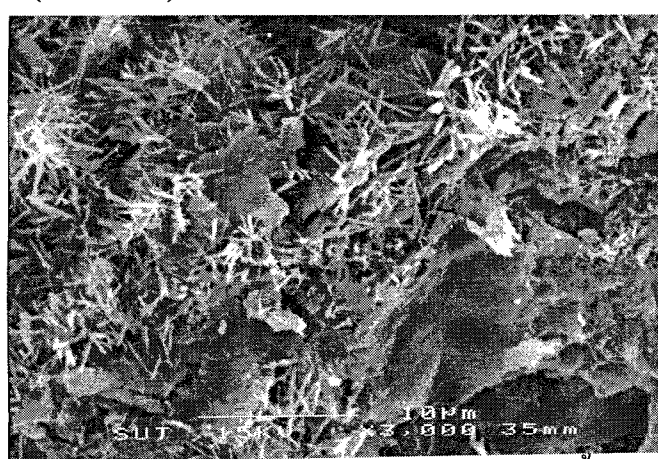
ดังจะเห็นได้ว่าอนุภาคของคินซีเมนต์บดอัดมีขนาดใหญ่กว่าคินบดอัดที่ไม่ผสมซีเมนต์ (เปรียบเทียบ
รูปที่ 4.10ก และ 4.10ข)



(ก) คินลูกรังบดอัดที่ปริมาณความชื้นเหมาะสม



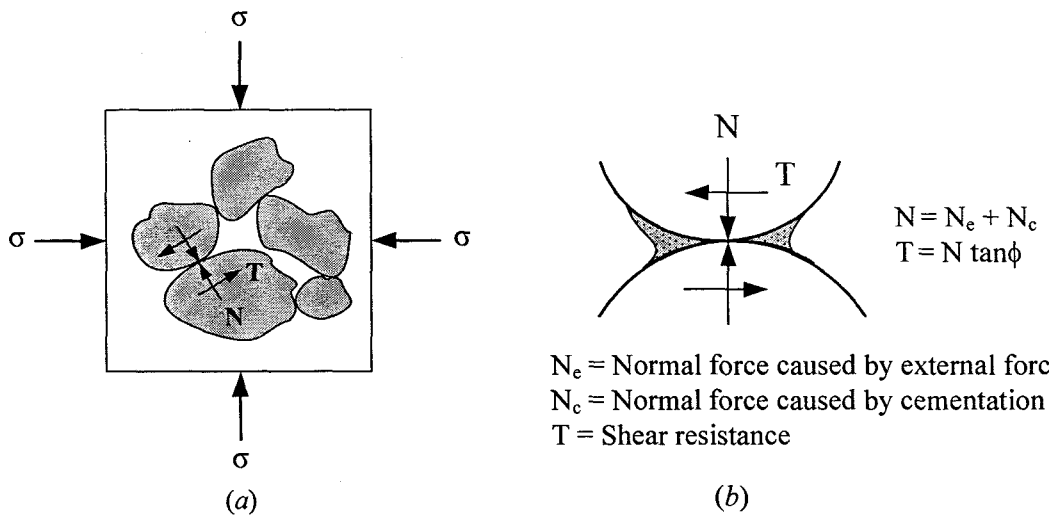
(ข) คินลูกรังซีเมนต์ (5% ซีเมนต์) บดอัดที่ปริมาณความชื้น 60% ของปริมาณความชื้นเหมาะสม



(ค) คินลูกรังซีเมนต์ (5% ซีเมนต์) บดอัดที่ปริมาณความชื้นเหมาะสม

รูปที่ 4.10 ภาพถ่ายโครงสร้างอุลกาคของคินลูกรังบดอัดและคินลูกรังซีเมนต์บดอัด (อายุบ่ม 7 วัน)
ภายใต้พลังงานการบดอัดที่ 293.3 กิโลกรัมต่อสูตรบากเมตร

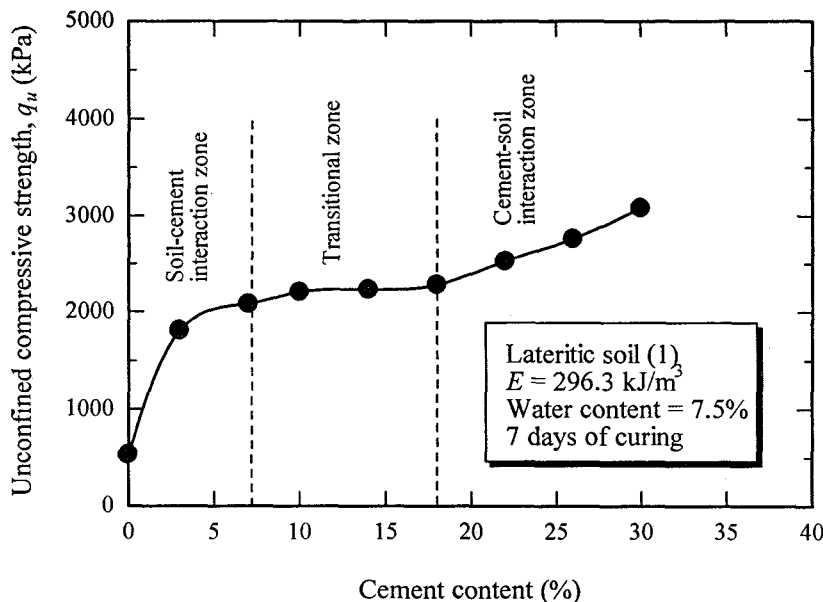
นอกจากนี้ จากการทดสอบพบว่า ปริมาณความชื้นเหมาะสมเป็นจุดที่ให้ปริมาณน้ำที่เหมาะสมกับการผสม ที่ปริมาณความชื้นค่านี้ กำลังด้านท่านแรงเนื่องและความสามารถในการด้านท่านการเสียรูปจะมีค่าเพิ่มขึ้นตามปริมาณซีเมนต์และอายุบ่ม พันธะเชื่อมประสานนี้จะก่อให้เกิดการเพิ่มขึ้นของหน่วยแรงตั้งฉาก ดังอธิบายได้โดยรูปที่ 4.11 กำลังด้านท่านแรงเนื่องจากแรงภายนอก (External load) และพันธะเชื่อมประสาน (Cementation bonds) ที่อายุบ่มใดๆ ความแข็งแรงของพันธะเชื่อมประสานนี้จะแปรผันตามปริมาณความชื้นและปริมาณซีเมนต์



รูปที่ 4.11 (a) แบบจำลองโครงสร้างดินเม็ดหยานผสมซีเมนต์บดอัด (b) แรงที่เกิดขึ้นระหว่างเม็ดดินหลังผสมซีเมนต์

อิทธิพลของปริมาณซีเมนต์ต่อกำลังอัดของดินหลังผสมซีเมนต์บดอัดที่ปริมาณน้ำพอเพียงแสดงได้ดังรูปที่ 4.12 ซึ่งเป็นผลทดสอบของดินลูกรังผสมซีเมนต์บดอัด ที่ปริมาณความชื้นเริ่มต้น 7.5 เปอร์เซ็นต์ พลังงานการบดอัด 296.3 กิโลกรัมต่อสูตรบากเมตร และอายุบ่ม 7 วัน จะเห็นได้ว่า โซนการปรับปรุงดินลูกรังเปล่งออกเป็นสามโซน ในโซนที่หนึ่ง เมื่อปริมาณซีเมนต์เพิ่มขึ้น ปริมาณซีเมนต์ต่ำจุดสัมผัสระหว่างอนุภาคดินเพิ่มขึ้นด้วย เมื่อเกิดการแข็งตัวของซีเมนต์ จะก่อให้เกิดพันธะเชื่อมประสานระหว่างจุดสัมผัติ โซนนี้เรียกว่า Soil-cement interaction แต่อย่างไรก็ตาม ทราบว่าความแข็งแรงของพันธะเชื่อมประสานที่จุดสัมผัสระยะหัก แม้ว่าจะมีการเพิ่มขึ้นของปริมาณซีเมนต์ก็ตาม ที่สภาวะนี้ จะเกิดความต่อเนื่องของโครงสร้างดินเม็ดหยาน แต่ปราศจากความต่อเนื่องที่สมบูรณ์ของโครงสร้างซีเมนต์เพส จนกระทั่งปริมาณซีเมนต์มีมากพอ จนทำให้เกิดความต่อเนื่องของซีเมนต์เพส โซนนี้เรียกว่า Cement-soil interaction โซนระหว่างโซนที่หนึ่งและสามเรียกว่าโซน Transitional ซึ่งเป็นโซนที่การเพิ่มขึ้นของกำลังมีน้อยมาก และปริมาณซีเมนต์มีไฉไลส่วนช่วงสร้าง

พันธะเชื่อมประสานระหว่างจุดสัมผัส งานวิจัยนี้จะศึกษาพฤติกรรมของดินซีเมนต์ในช่วงโชนที่หนึ่งและสองเท่านั้น



รูปที่ 4.12 โชนก ค่าปรับปรุงคุณภาพดินด้วยซีเมนต์บดขัด

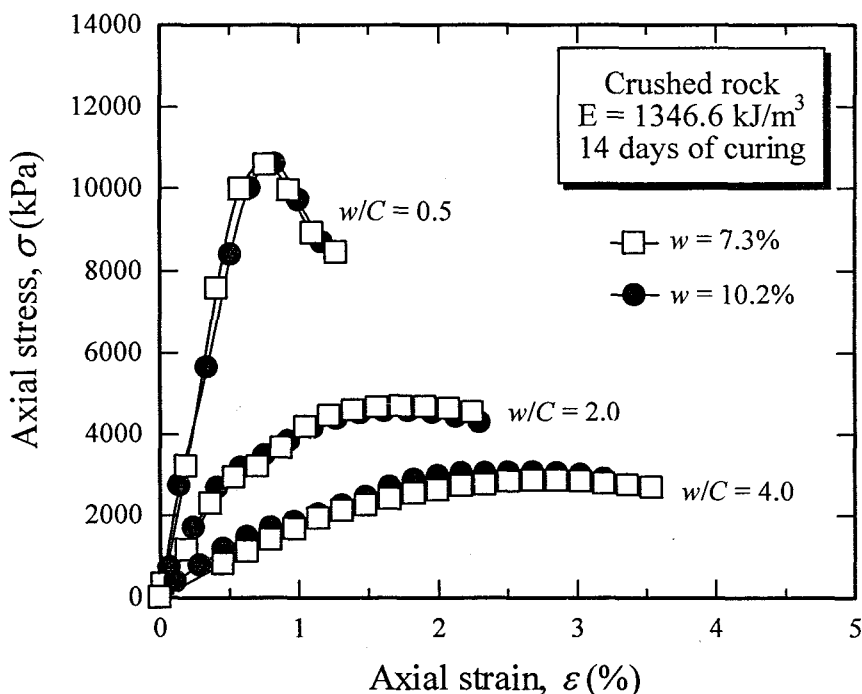
4.6 ฤทธิ์กำลังอัดของดินซีเมนต์บดขัด

งานวิจัยล่าสุดที่เกี่ยวข้องกับการศึกษาการพัฒนากำลังอัดของดินซีเมนต์ที่ปริมาณความชื้นสูงพอในการทำปฏิกิริยาอย่างสมบูรณ์กับปูนซีเมนต์ (Horipibulsuk et al., 2003 และ 2005) กล่าวว่า “ที่อายุบ่มค่าหนึ่ง กำลังอัดของดินซีเมนต์แปรผันตามปริมาณความชื้นในดินต่อปริมาณซีเมนต์เพียงอย่างเดียว” ทฤษฎีดังกล่าวจะถูกนำมาใช้ในการศึกษาพฤติกรรมกำลังอัดของดินซีเมนต์บดขัดที่ปริมาณความชื้นเหมาะสมสมและด้านเปียกของปริมาณความชื้นเหมาะสม โดยการสมมติว่าหน่วยแรงตึงจากที่เพิ่มขึ้นเนื่องจากพันธะเชื่อมประสานแปรผันตามอัตราส่วนปริมาณความชื้นต่อปริมาณซีเมนต์ (Soil-water/cement ratio, w/C) การทดสอบกระทำโดยการบดอัดหินคลุกผสมซีเมนต์ ที่ผลลัพธ์งานการบดอัดสามค่า ได้แก่ 296.3, 592.5, และ 1346.6 กิโลกรัมต่อลูกบาศก์เมตร ที่ปริมาณความชื้นสามค่า ได้แก่ 10.2, 8.3 และ 7.3 เปอร์เซ็นต์ ด้วยปริมาณซีเมนต์ที่ต่างกัน เพื่อให้ได้ค่า w/C ต่ำค่า คือ 0.5, 1.0, 2.0 และ 4.0 ผลทดสอบแรงอัดแกนเดียวกับของดินตัวอย่างที่มี w/C เท่ากัน ที่ผลลัพธ์งานการบดอัดเท่ากันและต่างกันแสดงดังรูปที่ 4.12 และ 4.13 ตามลำดับ

รูปที่ 4.13 แสดงผลทดสอบแรงอัดแกนเดียวกับของดินคลุกที่ปริมาณความชื้นสองคือ 7.3 และ 10.2 เปอร์เซ็นต์ ตัวอย่างทั้งสองนี้ถูกบดอัดด้วยพลังงานการบดอัดเท่ากันคือ 1346.6 กิโลกรัมต่อลูกบาศก์เมตร ที่อายุบ่ม 14 วัน และ w/C สามค่า คือ 0.5, 2.0, และ 4.0 จะเห็นได้ว่า ถึงแม้ว่าดิน

ตัวอย่างจะถูกทดสอบด้วยปริมาณความชื้นและปริมาณซีเม็นต์ที่ต่างกัน แต่ความสัมพันธ์ระหว่างความเด่นและความเครียดตามแนวแกนของคินตัวอย่างมีลักษณะเหมือนกันและมีค่ากำลังอัดแกนเดียวเท่ากัน คร่าวๆ ได้ที่ w/C เท่ากัน

รูปที่ 4.14 แสดงผลทดสอบแรงอัดแกนเดียวของหินคลุกซีเม็นต์ที่ได้รับการบดอัดด้านเปียกของปริมาณความชื้นเหมาะสมที่อายุบ่ม 14 วัน ด้วยพลังงานการบดอัดสามค่า ได้แก่ 296.3, 592.5 และ 1346.6 กิโลจูลต่อถูกบาศก์เมตร ที่ปริมาณความชื้นเท่ากับ 10.2, 8.3, และ 7.3 เปอร์เซ็นต์ ตามลำดับ จะเห็นได้ว่ากำลังอัดแกนเดียวของคินซีเม็นต์บดอัดแปรผันตาม w/C เท่านั้น w/C ยิ่งน้อย กำลังอัดแกนเดียวยิ่งมีค่ามาก



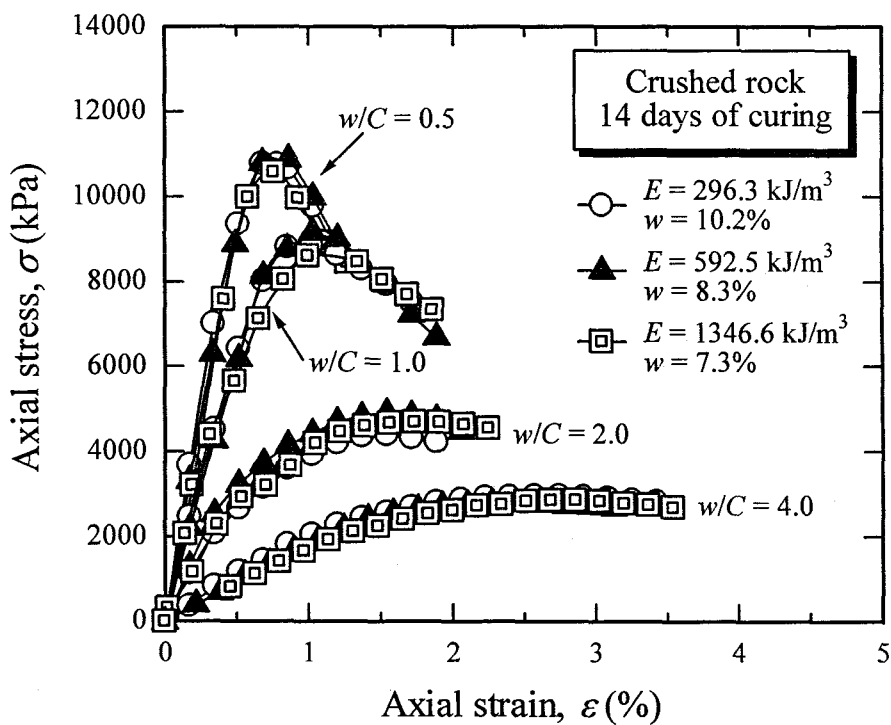
รูปที่ 4.13 ผลทดสอบแรงอัดแกนเดียวของหินคลุกซีเม็นต์บดอัด ที่ค่า w/C ต่างกันสามค่า คือ 0.5, 2.0 และ 4.0 ภายใต้พลังงานการบดอัดที่ 1346.6 กิโลจูลต่อถูกบาศก์เมตร

จากรูปที่ 4.13 และ 4.14 เราสามารถสรุปได้ว่ากำลังอัดแกนเดียวของคินซีเม็นต์บดอัดด้านเปียกแปรผันตามอัตราส่วนปริมาณความชื้นต่อปริมาณซีเม็นต์เท่านั้น เพื่อให้ได้กำลังอัดสูง เราต้องผสมคินและซีเม็นต์ที่อัตราส่วนปริมาณความชื้นต่อปริมาณซีเม็นต์ต่ำ ซึ่งสามารถกระทำได้โดยการใส่ปริมาณซีเม็นต์มาก หรือลดปริมาณความชื้นในคิน แต่อย่างไรก็ตาม ที่พลังงานการบดอัดค่าหนึ่งปริมาณความชื้นที่น้อยที่สุดที่สามารถบดอัดได้คือปริมาณความชื้นเหมาะสม ดังนั้น ถ้าต้องการลดปริมาณความชื้นให้น้อยลงจำเป็นต้องเพิ่มพลังงานการบดอัดให้สูงขึ้น ด้วยเหตุนี้เอง เราอาจกล่าวได้ว่าพลังงานการบดอัดมิได้มีผลโดยตรงต่อกำลังอัดแกนเดียวของคินซีเม็นต์บดอัดด้านเปียก แต่เป็น

เพียงตัวแปรที่ช่วยลดปริมาณความซึ้นในดินให้สามารถบดอัดได้เท่านั้น เพื่อให้ได้กำลังอัดเท่ากัน เรายาใช้พลังงานการบดอัดที่สูง ด้วยปริมาณซีเมนต์ที่ต่ำ หรือใช้พลังงานการบดอัดที่ต่ำ ด้วยปริมาณซีเมนต์ที่มาก จากผลงานวิจัยของ Horpibulsuk et al. (2004) เราสามารถประมาณค่าปริมาณความซึ้นเหมาะสมที่พลังงานการบดอัดได้ ได้ ถ้ามีผลทดสอบการบดอัดที่พลังงานการบดอัดได้ค่าหนึ่ง ดังนี้

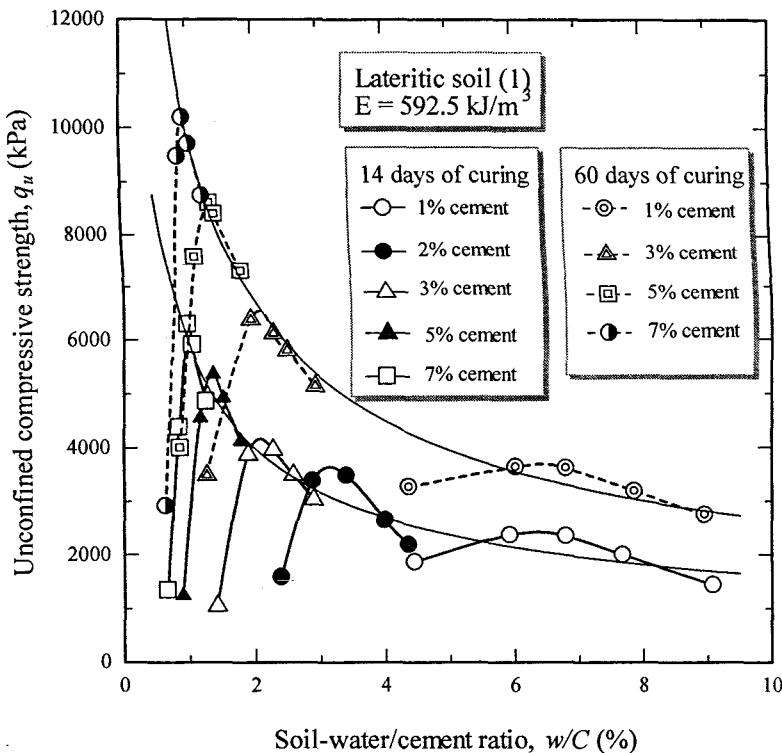
$$\frac{OMC}{OMC_{st}} = 2.23 - 0.19 \ln E \quad (4.1)$$

เมื่อ OMC_{st} คือปริมาณความซึ้นเหมาะสมที่พลังงานการบดอัดมาตรฐาน (592.5 กิโลกรัมต่อลูกบาศก์เมตร) และ E คือพลังงานการบดอัด (เมื่อแทนค่า $E = 592.5$ กิโลกรัมต่อลูกบาศก์เมตร พจน์ทางซ้ายมือจะเป็น 1.0 และทางขวาจะเป็น 1.02 ซึ่งแสดงถึงความเป็นไปได้ในการใช้สมการนี้เพื่อคำนวณปริมาณความซึ้นเหมาะสมที่พลังงานอื่นๆ)



รูปที่ 4.14 ผลทดสอบแรงอัดแกนเดียวของหินคลุกผสมซีเมนต์บดอัด ที่ค่า w/C เท่ากัน แต่พลังงานการบดอัดและปริมาณความซึ้นต่างกัน ที่อายุบ่ม 14 วัน

รูปที่ 4.15 แสดงความสัมพันธ์ระหว่าง q_u และ w/C ของดินลูกรัง (1) ผสมซีเมนต์บดอัด ที่ พลังงานการบดอัด 296.3 กิโลจูลต่อลูกบาศก์เมตร ที่อายุบ่ม 14 และ 60 วัน เมื่อถูกเส้นเชื่อมต่อจะดู ความสัมพันธ์ที่ปริมาณความชื้นเหมาะสมและด้านเปียก จะได้ความสัมพันธ์ที่เป็นเอกภาพ (Unique) สำหรับอายุบ่มหนึ่งๆ สิ่งนี้เป็นการยืนยันความเป็นไปได้ในการวิเคราะห์กำลังอัดของดินซีเมนต์ที่ ปริมาณความชื้นเหมาะสมและด้านเปียกด้วยพารามิเตอร์ w/C

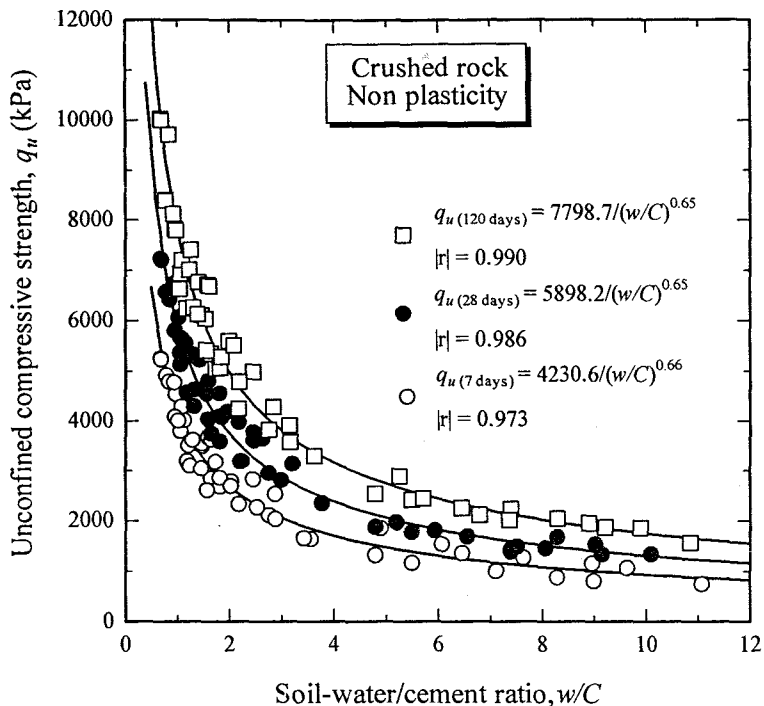


รูปที่ 4.15 ความสัมพันธ์ระหว่างกำลังอัดและ w/C ของดินลูกรังผสมซีเมนต์บดอัด ที่อายุบ่ม 14 และ 60 วัน

รูปที่ 4.16 และ 4.17 แสดงความสัมพันธ์ระหว่างกำลังอัดแกนเดี่ยวกับอัตราส่วนปริมาณ ความชื้นต่อปริมาณซีเมนต์ ที่พลังงานการบดอัดตั้งแต่ 296.3 ถึง 2963.3 กิโลจูลต่อลูกบาศก์เมตร ของดินลูกรังและหินคลุกผสมซีเมนต์บดอัด ตามลำดับ ความสัมพันธ์ดังกล่าวสามารถแสดงได้ใน พิงก์ชันกำลัง (Power Function) ดังต่อไปนี้

$$q_u = \frac{A}{(w/C)^B} \quad (4.2)$$

เมื่อ A และ B เป็นค่าคงที่ ซึ่งแปรผันตามชนิดของดิน B จะเป็นตัวแปรที่ควบคุมการเปลี่ยนแปลง ของ w/C ต่อกำลังอัด ค่า B ยิ่งมาก การเปลี่ยนแปลงจะมีค่ามากตาม ขณะที่ A จะทำให้



รูปที่ 4.17 ความสัมพันธ์ระหว่างกำลังอัดแกนเดียวและ w/C ของคินหินคลุกซีเมนต์บดอัด

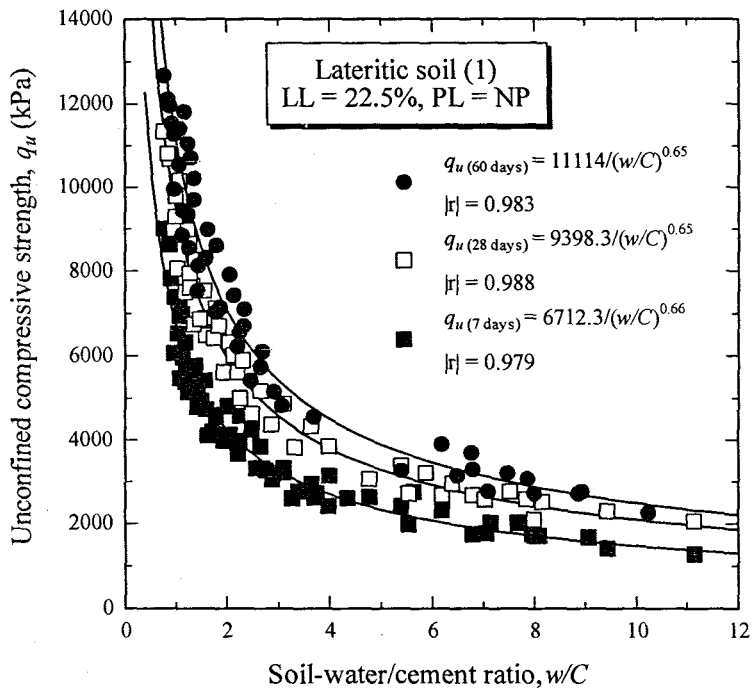
ความสัมพันธ์ดังกล่าวข้างต้นสามารถใช้ทำนายกำลังอัดของคินซีเมนต์ที่ปริมาณความชื้น หมายความและค้านเปียก ที่เพลิงงานและอัตราส่วนความชื้นต่อบริมาณซีเมนต์ใดๆ ได้ เมื่อทราบกราฟ การบดอัดของคินที่เพลิงงานการบดอัดต่างๆ และค่ากำลังอัดแกนเดียวของคินซีเมนต์บดอัดที่ปริมาณความชื้นเหมาะสมและค้านเปียก ที่อายุบ่ำนและ (w/C) ค่าหนึ่ง กราฟการบดอัดสามารถประมาณได้ อย่างง่าย โดยอาศัยแบบจำลองจากการสังเกตที่เสนอโดย Horpibulsuk et al. (2004)

ข้อจำกัดของความสัมพันธ์ดังกล่าวข้างต้นคือไม่สามารถประมาณกำลังอัดแกนเดียวของคินซีเมนต์บดอัดที่อายุบ่ำนใดๆ ได้ ซึ่งในทางปฏิบัติ อาจมีสถานการณ์ที่เราจำเป็นต้องเพิ่มปริมาณซีเมนต์ เพื่อลดอายุบ่ำน แต่ยังคงได้กำลังอัดตามต้องการ ด้วยเหตุนี้ จำเป็นต้องมีการศึกษาอิทธิพลของอายุบ่ำนต่อกำลังอัดแกนเดียว พร้อมทั้งสร้างความสัมพันธ์ระหว่างกำลังอัด ปริมาณซีเมนต์ ปริมาณน้ำในคิน และอายุบ่ำน

4.7 ความสัมพันธ์ระหว่างกำลังอัดและระยะบ่ำน

รูปที่ 4.18 แสดงความสัมพันธ์ระหว่างกำลังอัดแกนเดียวและอายุบ่ำน ที่เพลิงงานการบดอัดปริมาณความชื้น ปริมาณซีเมนต์ต่างๆ ของคินลูกรังซีเมนต์บดอัดที่ปริมาณความชื้นเหมาะสมและค้านเปียก ความสัมพันธ์เช่นเดียวกันสำหรับหินคลุกซีเมนต์บดอัดที่ปริมาณความชื้นเหมาะสมและ

ความสัมพันธ์เคลื่อนตัวขึ้นตามแนวแกน y ดังนั้น A จะเป็นค่าที่แปรผันตามแต่ชนิดของคิน คินที่ทำปฏิกริยาได้กับปูนซีเมนต์ (มีสภาพความเป็นพลาสติกต่ำ) จะมีค่า A สูง สำหรับคินชนิดหนึ่งผสมซีเมนต์บดอัด A มีค่าเพิ่มขึ้นตามอายุบ่ม อัตราการเปลี่ยนแปลงของ w/C ต่อกำลังอัด จะแปรผันอย่างมากกับประเภทของปูนซีเมนต์ (Horpibulsuk et al., 2003) เนื่องจากปูนซีเมนต์ที่ใช้ในการทดสอบเป็นปูนซีเมนต์ประเภทหนึ่ง ดังนั้น B จึงมีค่าประมาณคงที่ สำหรับคินทุกชนิด

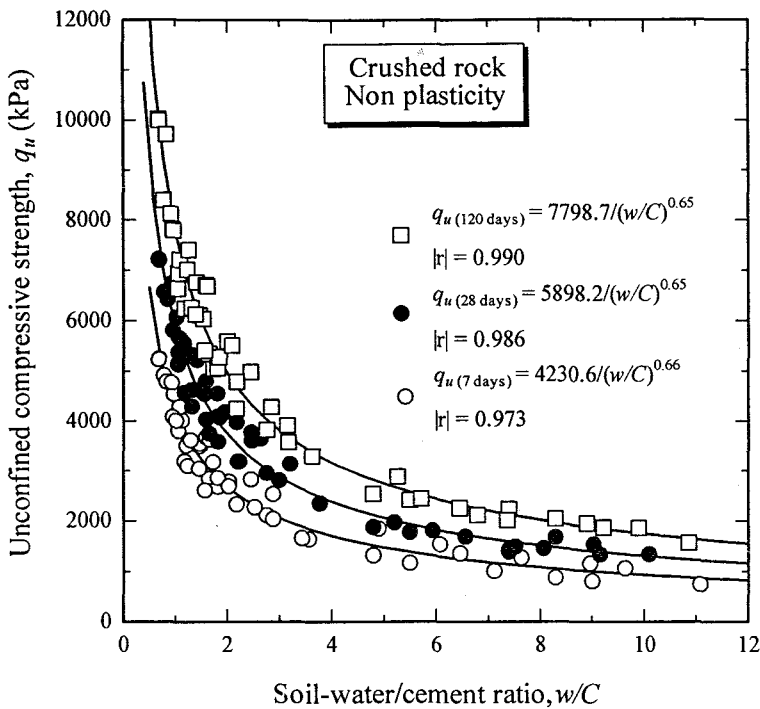


รูปที่ 4.16 ความสัมพันธ์ระหว่างกำลังอัดแกนเดียวและ w/C ของคินลูกรังซีเมนต์บดอัด

จากรูปที่ 4.16 และ 4.17 B มีค่าประมาณคงที่และมีค่าเท่ากับ 0.65 ด้วยเหตุนี้เอง อัตราส่วนกำลังอัดของคินซีเมนต์บดอัดที่ปริมาณความชื้นเหมาะสมและค้านเปียก ที่จะยับบ่มค่านี้สามารถแสดงให้ดังสมการต่อไปนี้

$$\left\{ \frac{q_{(w/C)_1}}{q_{(w/C)_2}} \right\} = \left[\frac{\cancel{A}/(w/C)_1^{0.65}}{\cancel{A}/(w/C)_2^{0.65}} \right] = \left[\frac{(w/C)_2}{(w/C)_1} \right]^{0.65} \quad (4.3)$$

เมื่อ $q_{(w/C)_1}$ คือกำลังอัดแกนเดียวที่ต้องการทราบค่าที่อัตราส่วนปริมาณความชื้นต่อปริมาณซีเมนต์เท่ากับ $(w/C)_1$ และ $q_{(w/C)_2}$ คือกำลังอัดแกนเดียวที่ทราบค่าที่อัตราส่วนปริมาณความชื้นต่อปริมาณซีเมนต์เท่ากับ $(w/C)_2$



รูปที่ 4.17 ความสัมพันธ์ระหว่างกำลังอัดแกนเดี่ยวและ w/C ของดินหินคลุกซีเมนต์บดอัด

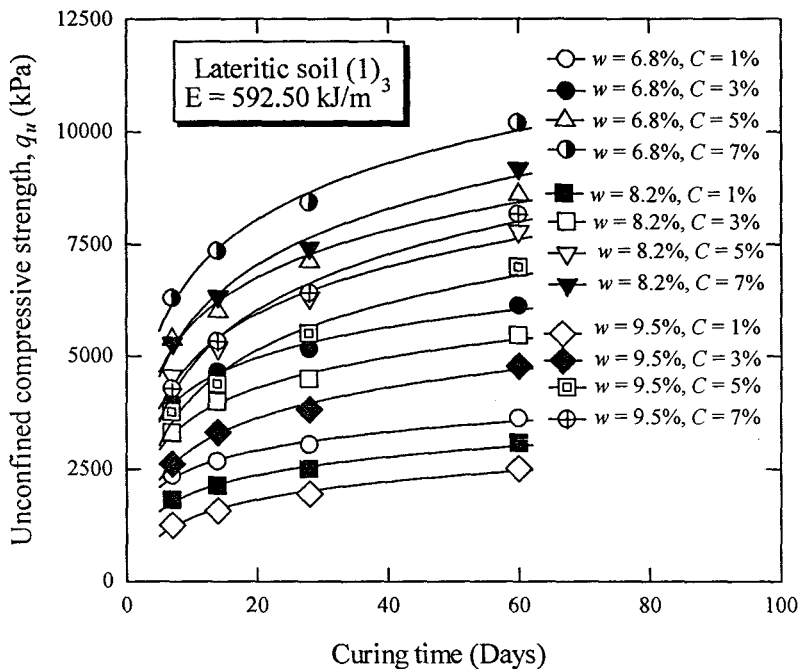
ความสัมพันธ์ดังกล่าวข้างต้นสามารถใช้สำหรับคำนวณกำลังอัดของดินซีเมนต์ที่ปริมาณความชื้นเหมาะสมและค่าน้ำเปียก ที่พลังงานและอัตราส่วนความชื้นต่อปริมาณซีเมนต์ได้ ได้ เมื่อทราบกราฟการบดอัดของดินที่พลังงานการบดอัดต่างๆ และค่ากำลังอัดแกนเดี่ยวของดินซีเมนต์บดอัดที่ปริมาณความชื้นเหมาะสมและค่าน้ำเปียก ที่อายุบ่มและ (w/C) ค่าหนึ่ง กราฟการบดอัดสามารถประมาณได้ อย่างง่าย โดยอาศัยแบบจำลองจากการสังเกตที่เสนอโดย Horpibulsuk et al. (2004)

ข้อจำกัดของความสัมพันธ์ดังกล่าวข้างต้นคือไม่สามารถประมาณกำลังอัดแกนเดี่ยวของดินซีเมนต์บดอัดที่อายุบ่มใดๆ ได้ ซึ่งในทางปฏิบัติ อาจมีสถานการณ์ที่เราจำเป็นต้องเพิ่มปริมาณซีเมนต์ เพื่อลดอายุบ่ม แต่ยังคงได้กำลังอัดตามต้องการ ด้วยเหตุนี้ จำเป็นต้องมีการศึกษาอิทธิพลของอายุบ่มต่อกำลังอัดแกนเดี่ยว พร้อมทั้งสร้างความสัมพันธ์ระหว่างกำลังอัด ปริมาณซีเมนต์ ปริมาณน้ำในดิน และอายุบ่ม

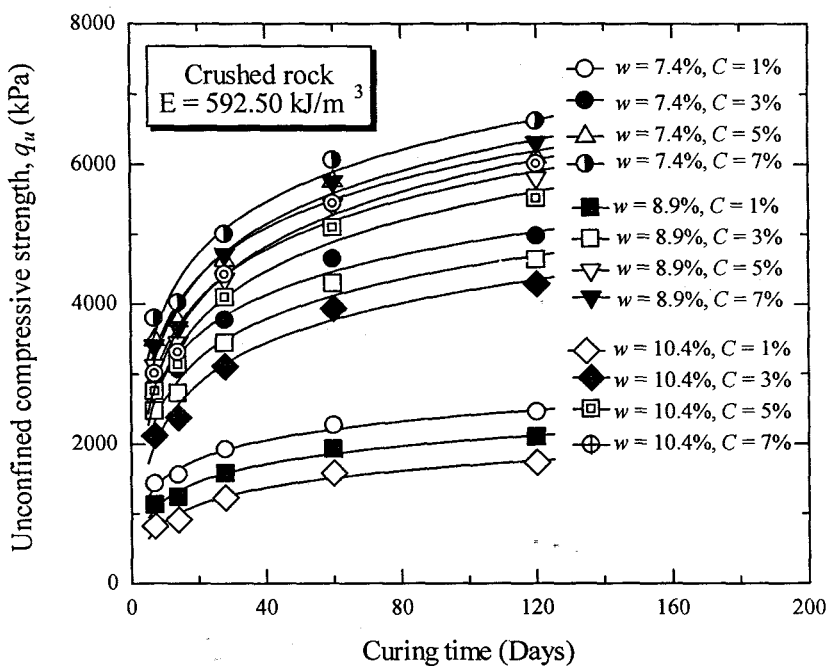
4.7 ความสัมพันธ์ระหว่างกำลังอัดและระยะบ่ม

รูปที่ 4.18 แสดงความสัมพันธ์ระหว่างกำลังอัดแกนเดี่ยวและอายุบ่ม ที่พลังงานการบดอัดปริมาณความชื้น ปริมาณซีเมนต์ต่างๆ ของดินลูกรังซีเมนต์บดอัดที่ปริมาณความชื้นเหมาะสมและค่าน้ำเปียก ความสัมพันธ์เช่นเดียวกันสำหรับหินคลุกซีเมนต์บดอัดที่ปริมาณความชื้นเหมาะสมและ

ค้านเปียกแสดงดังรูปที่ 4.19 จะเห็นได้ว่ากำลังอัดของดินซีเมนต์จะเพิ่มขึ้นตามอายุบ่ม (ในช่วง 7 ถึง 120 วัน) เป็นพังก์ชันลือคการทึบ



รูปที่ 4.18 ความสัมพันธ์ระหว่างกำลังอัดแกนเดี่ยวและอายุบ่มของดินลูกรัง (1) ซีเมนต์บดอัดค้านเปียก ที่พลังงานการบดอัดเท่ากับ 592.5 กิโลจูลต่อลูกบาศก์เมตร



รูปที่ 4.19 ความสัมพันธ์ระหว่างกำลังอัดแกนเดี่ยวและอายุบ่มของดินลูกรังซีเมนต์บดอัดค้านเปียก ที่พลังงานการบดอัดเท่ากับ 592.5 กิโลจูลต่อลูกบาศก์เมตร

จากรูปที่ 4.16 และ 4.17 จะเห็นได้ว่า ที่ค่า w/C ค่าหนึ่ง การเพิ่มขึ้นของกำลังอัดแกนเดียว ถูกควบคุมด้วยตัวแปร A เนื่องจากตัวแปร B มีค่าประมาณคงที่ ด้วยเหตุนี้เอง ความสัมพันธ์ทั่วไประหว่างการพัฒนากำลังและอายุบ่มสามารถแสดงได้ดังสมการต่อไปนี้

$$\frac{q_{D1}}{q_{D2}} = \frac{A_{D1}}{A_{D2}} \quad (4.4)$$

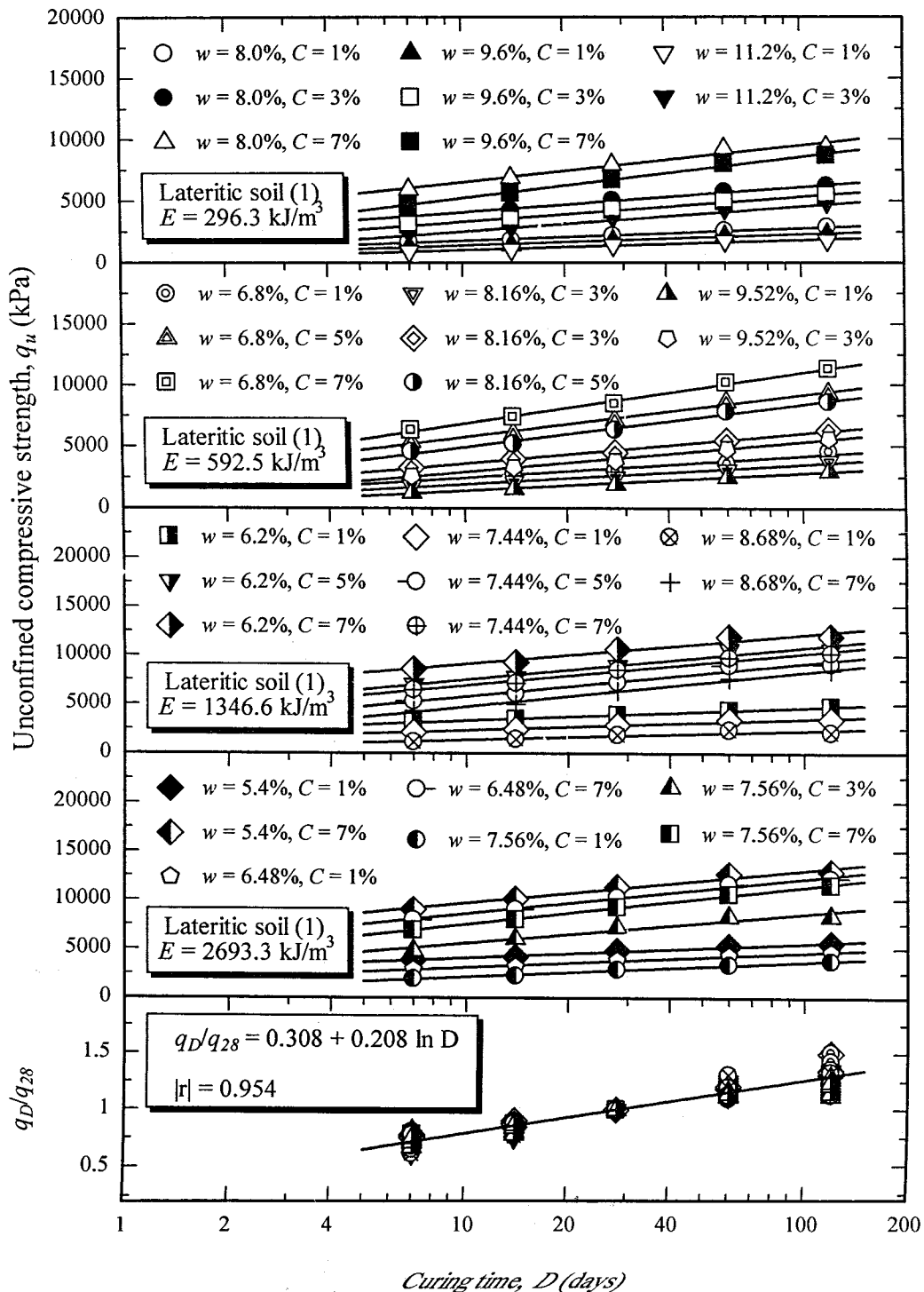
เมื่อ q_{D1} คือกำลังอัดแกนเดียวที่ต้องการทราบค่าที่อายุบ่ม D_1 วัน q_{D2} คือกำลังอัดแกนเดียวที่ทราบค่าที่อายุบ่ม D_2 วัน และ A_{D1} และ A_{D2} คือค่าของ A ที่สอดคล้องกับ D_1 และ D_2 ตามลำดับ

ดังได้กล่าวแล้วข้างต้นว่า ค่าของ A จะมีความแตกต่างกันตามแต่ชนิดของคินบอัด และ อายุบ่ม แต่อย่างไรก็ตาม อัตราการเพิ่มขึ้นของกำลังอัดต่อเวลาควรจะต้องมีค่าเท่ากันสำหรับคินซีเมนต์บดอัดทุกชนิด เนื่องจากปฏิกิริยาไออกซิเจนตัวแปรหลักในการควบคุมอัตราการเพิ่มขึ้นของกำลังอัด ด้วยเหตุนี้เอง สมการดังกล่าวข้างต้นจึงเป็นสมการเอกภาพสำหรับคินซีเมนต์บดอัดทุกชนิด ในทางปฏิบัติ จะเป็นประโยชน์อย่างยิ่ง ถ้าเราสามารถประมาณกำลังอัดแกนเดียวของคินซีเมนต์บดอัดที่เวลาใดๆ ในพจน์ของอายุบ่มเพียงอย่างเดียว ความพยายามดังกล่าวได้รับการจัดทำขึ้นโดยอาศัยสมมติฐานข้างต้น ดังแสดงในรูปที่ 4.20 และ 4.21 ซึ่งแสดงความสัมพันธ์ระหว่างกำลังอัด และลักษณะการลิ่นของอายุบ่ม ของคินลูกรัง (1) และหินคลุกผสมซีเมนต์บดอัดที่ปริมาณความชื้นเหมาะสมและด้านเปียก ถึงแม้ว่าความสัมพันธ์เชิงเส้นตรงที่ได้จะมีความชันแตกต่างกัน ตามแต่ พลังงานการบดอัด ปริมาณความชื้น ปริมาณซีเมนต์ และอายุบ่ม แต่อย่างไรก็ตาม โดยอาศัยการ Normalization อิทธิพลของตัวแปรดังกล่าวจะได้รับการพิจารณาและสามารถแสดงโดยสมการเส้นตรงเพียงเส้นเดียว ดังสมการต่อไปนี้

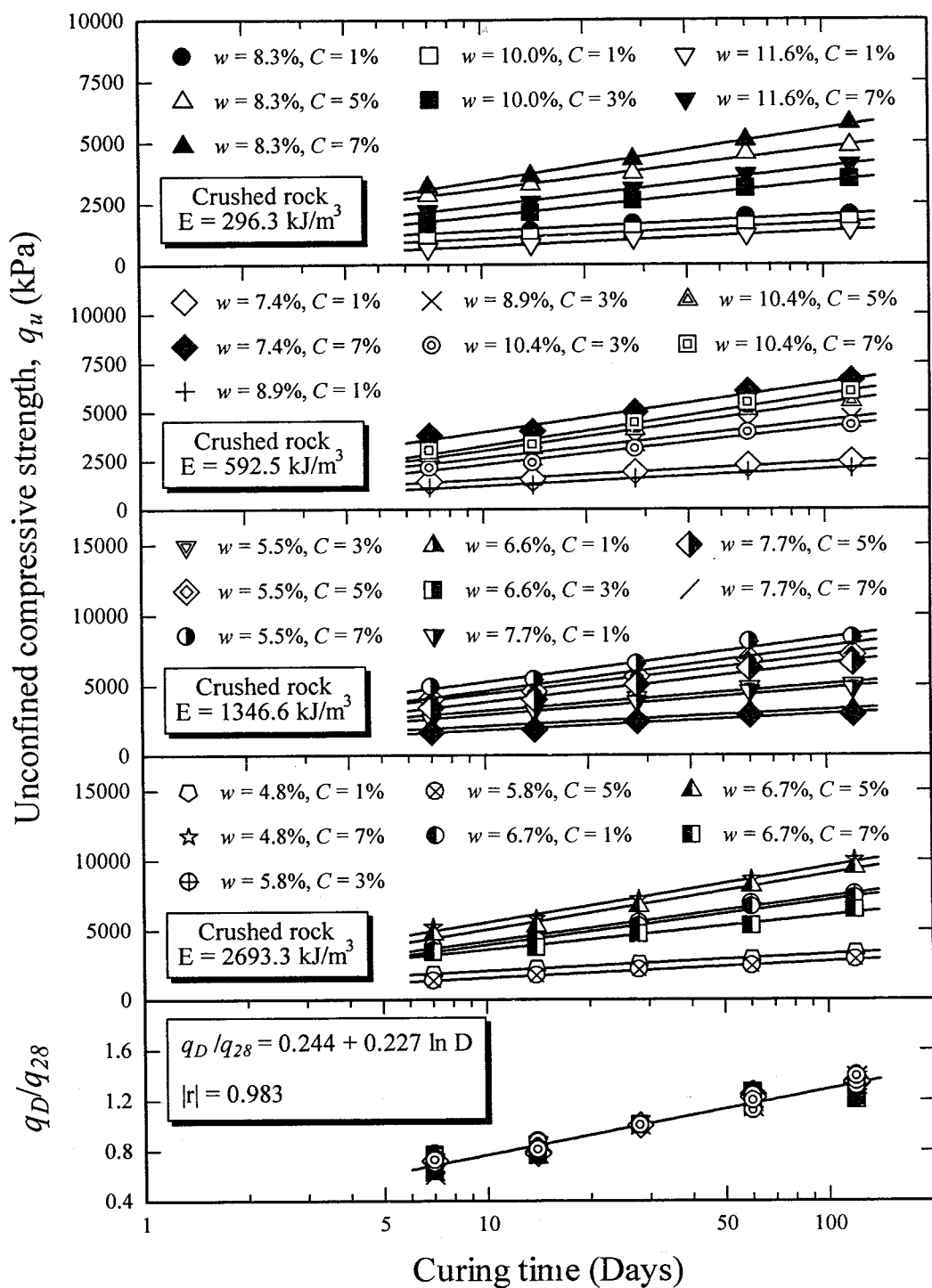
$$\frac{q_D}{q_{28}} = a + b \ln D \quad (4.5)$$

เมื่อ q_D คือกำลังอัดแกนเดียวของคินซีเมนต์ที่ระบะบ่ม D วันใดๆ q_{28} คือกำลังอัดแกนเดียวของคินซีเมนต์ที่ระบะบ่ม 28 วัน a และ b เป็นค่าคงที่ จากการศึกษาพบว่า a และ b มีค่าเท่ากับ 0.308 และ 0.208 ตามลำดับ สำหรับคินลูกรังซีเมนต์ และ 0.244 และ 0.277 ตามลำดับ สำหรับหินคลุกซีเมนต์ ซึ่งมีค่าใกล้เคียงกันมาก แสดงให้เห็นว่าสมการดังกล่าวสามารถกำจัดอิทธิพลของชนิดของคินได้จากการใช้ Linear regression ของผลทดสอบทั้งหมด เราจะได้สมการการเพิ่มขึ้นของกำลังอัด ดังต่อไปนี้ (รูปที่ 4.22)

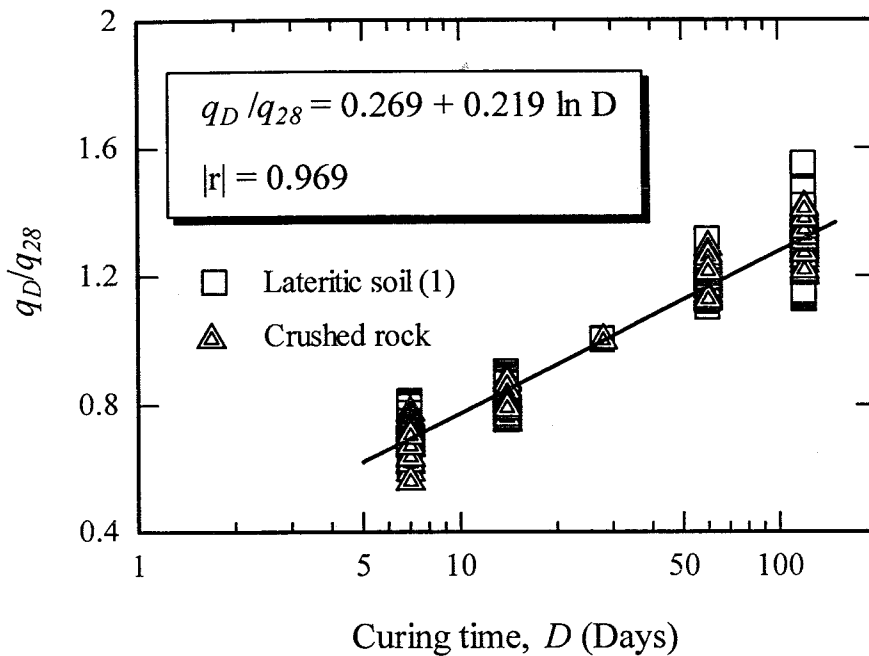
$$\frac{q_D}{q_{28}} = 0.269 + 0.219 \ln D \quad (4.6)$$



รูปที่ 4.20 ความสัมพันธ์ระหว่างกำลังแกนเดียวและอายุบ่มของคินลูกรังซีเมนต์บดอัดที่พลังงานการบดอัดต่างๆ และการ Normalization



รูปที่ 4.21 ความสัมพันธ์ระหว่างกำลังแกนเดี่ยวและอายุบ่มของหินคลุกซีเมนต์บดอัดที่พลังงานการบดอัดต่างๆ และการ Normalization



รูปที่ 4.22 Normalized strength development ของคินลูกรังและหินลูกซีเมนต์บดอัด

4.8 ความสัมพันธ์ระหว่างกำลังอัด อัตราส่วนปริมาณน้ำต่อปริมาณซีเมนต์ และอายุบ่ม

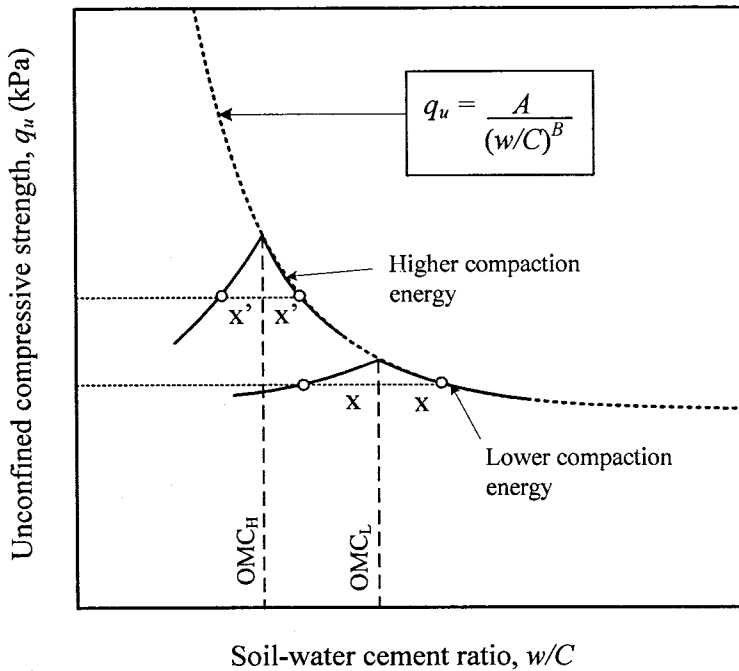
จากการศึกษา เรายพบว่าค่าของ B มีค่าประมาณ 0.65 ด้วยเหตุนี้เอง ทำให้เราได้สมการ อัตราส่วนกำลังที่อายุบ่มโดยๆ ซึ่งค่าของ A จะถูกตัดทอนออกไป จากการรวมสมการดังกล่าวที่กับ สมการอัตราการเพิ่มขึ้นของกำลังอัด ซึ่งเปรียบเท่ากับ 28 วัน เราจะได้ความสัมพันธ์ระหว่าง กำลังอัดแกนเดียว อัตราส่วนปริมาณความชื้นต่อปริมาณซีเมนต์ และอายุบ่ม ในช่วงที่ w/C มีค่า ระหว่าง 0.5 ถึง 10 ดังนี้

$$\left\{ \frac{q_{(w/C)_D}}{q_{(w/C)_{28}}} \right\} = \left[\frac{(w/C)_{28}}{(w/C)_D} \right]^{0.65} (0.269 + 0.219 \ln D) \quad (4.7)$$

เมื่อ $q_{(w/C)_1,D}$ คือกำลังอัดแกนเดียวของคินซีเมนต์ที่ต้องการทราบ ที่ w/C หลังจากอายุบ่ม D วัน
 $q_{(w/C)_{28}}$ คือกำลังอัดแกนเดียวของคินซีเมนต์ที่ทราบค่า ที่ระยะเวลา 28 วัน

เมื่อ $(w/C)_D = (w/C)_{28}$ พจน์ทางซ้ายมือของสมการที่ (4.7) จะมีค่าเท่ากับ 1.0 และพจน์ทาง ขวาเมื่อจะมีค่าเท่ากับ 0.999 ลิ้งนี้ยืนยันการความเป็นไปได้ในการใช้สมการนี้เพื่อคำนากำลังอัดที่ อายุบ่ม และ (w/C) ค่าอื่นๆ

แต่อย่างไรก็ตี สมการดังกล่าวเนี้ยใช้ได้เฉพาะกับคินซีเมนต์บดอัดที่ปริมาณความชื้นเหมาะสมและด้านเปียกเท่านั้น ถึงแม้ว่าสมการนี้จะไม่ได้แสดงตัวแปรพลังงาน แต่อิทธิพลของพลังงานการบดอัดแห่งอยู่ในในสมการนี้ เนื่องจากพลังงานจะทำให้ปริมาณความชื้นเหมาะสมของคินลดลง ก่อนที่จะใช้สมการดังกล่าวต้องตรวจสอบให้แน่ใจเสียก่อนว่า กำลังอัดที่ต้องการทราบค่าที่ปริมาณความชื้นใดๆ ต้องเป็นปริมาณความชื้นที่ปริมาณความชื้นเหมาะสมและด้านเปียกเท่านั้น ซึ่งสามารถตรวจสอบได้จากค่าปริมาณความชื้นเหมาะสม ที่พลังงานการบดอัดที่ต้องการทราบค่า (โดยอาจประมาณได้จากสมการที่ 4.1) กำลังอัดของคินซีเมนต์ด้านแห้งของปริมาณความชื้นเหมาะสม ในช่วง 0.8 ถึง 1.0 เท่าของปริมาณความชื้นเหมาะสม สามารถประมาณได้โดยอาศัยสมมติฐานที่ได้จากการสังเกต ที่ว่า ในช่วงปริมาณความชื้นดังกล่าว กำลังอัดของคินซีเมนต์ด้านแห้ง และด้านเปียกมีความสมมาตรรอบปริมาณความชื้นเหมาะสม แบบจำลองจากการสังเกต (Phenomenological model) แสดงดังรูปที่ 4.23



รูปที่ 4.23 แบบจำลองกำลังอัดแกนเดียวของคินซีเมนต์บดอัด

ผลการทำนายกำลังอัดของคินซีเมนต์โดยอาศัยแบบจำลองในรูปที่ 4.23 และสมการที่ (4.7) แสดงในตารางที่ 4.2 และ 4.3 สำหรับคินลูกรังซีเมนต์บดอัด (ธีระชาติและสมบัติกระแส 2544) และคินลูกรัง (2) ผสมกับหินคลุก ในอัตราส่วน 80:20 ผสมซีเมนต์บดอัด ตามลำดับ พลักสอบของธีระชาติและสมบัติกระแส เป็นผลทดสอบคินลูกรังที่มีจีดจำกัดเหลวและพิกัดพลาสติกเท่ากับ 36 และ 16 เบอร์เซ็นต์ ตามลำดับ และเป็นผลทดสอบกำลังอัดของคินซีเมนต์ที่ปริมาณความชื้นเหมาะสมเท่านั้น

ตารางที่ 4.2 การคำนวณค่าอัตราการดูดซึมของดินลูกรังผสมซีเมนต์บดอัด ($LL = 36\%$, $PL = 16\%$)
(ธีระชาติ และสมบัติกระแทก, 2544)

Compaction Energy, E (kJ/m ³)	Optimum moisture content, OMC (%)	Curing time, D (days)	Cement content, C (%)	Moisture content, w (%)	Water/cement ratio, w/C	Laboratory strength, q_u (kPa)	Predicted strength, q_{up} (kPa)
296.3	13.5	3	3	13.5	4.5	986	791
296.3	13.5	3	5	13.5	2.7	1185	1102
296.3	13.5	3	7	13.5	1.9	1843	1372
296.3	13.5	7	3	13.5	4.5	1200	1079
296.3	13.5	7	5	13.5	2.7	1562	1504
296.3	13.5	7	7	13.5	1.9	2048	1871
296.3	13.5	14	3	13.5	4.5	1265	1314
296.3	13.5	14	5	13.5	2.7	1718	1832
296.3	13.5	14	7	13.5	1.9	2279	2280
296.3	13.5	28	3	13.5	4.5	1479	1550
296.3	13.5	28	5	13.5	2.7	2248	2160
296.3	13.5	28	7	13.5	1.9	2868	2688
592.5	11.5	3	3	11.5	3.8	1354	878
592.5	11.5	3	5	11.5	2.3	1651	1223
592.5	11.5	3	7	11.5	1.6	2169	1522
592.5	11.5	7	3	11.5	3.8	1536	1197
592.5	11.5	7	5	11.5	2.3	2107	1669
592.5	11.5	7	7	11.5	1.6	2415	2077
592.5	11.5	14	3	11.5	3.8	1682	1459
592.5	11.5	14	5	11.5	2.3	2281	2033
592.5	11.5	14	7	11.5	1.6	2807	2530
592.5	11.5	28	3	11.5	3.8	1786	1720
592.5	11.5	28	5	11.5	2.3	2551	2397
592.5	11.5	28	7	11.5	1.6	3039	Reference

ตารางที่ 4.3 การทำนายกำลังอัดแกนเดี่ยวของดินซีเมนต์บดอัด
ที่มีอัตราส่วนดินถูกรังต่อหินกลุก 80: 20

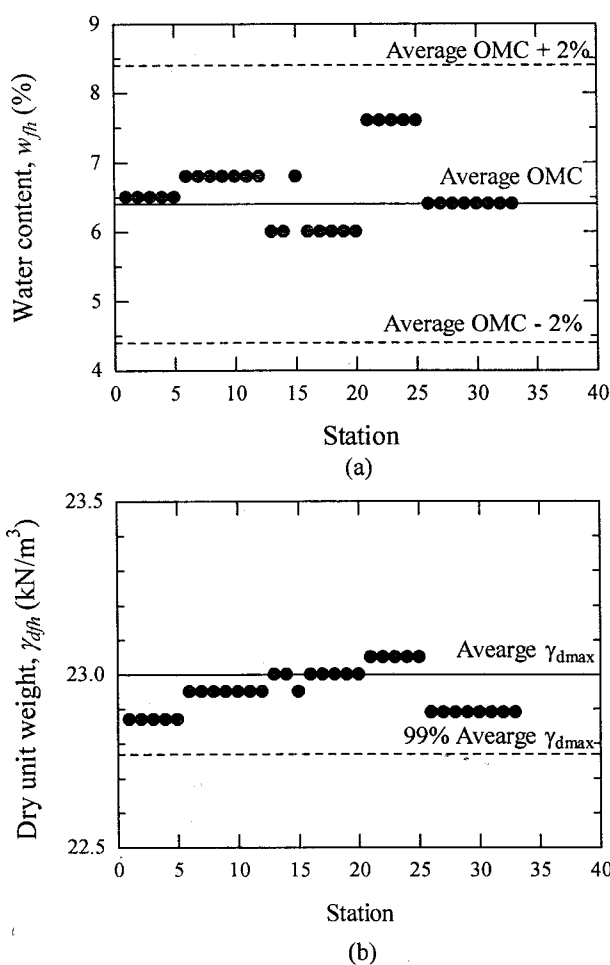
Compaction Energy, E (kJ/m ³)	Optimum moisture content, OMC (%)	Curing time, D (days)	Cement content, C (%)	Moisture content, w (%)	Water/cement ratio, w/C	Laboratory strength, q_u (kPa)	Predicted strength, q_{up} (kPa)
2963.3	8.0	7	1	8.8	8.8	526	613
2963.3	8.0	7	1	11.2	11.2	311	524
2963.3	8.0	7	3	8.4	2.8	1761	1290
2963.3	8.0	7	5	9.3	1.9	1930	1683
2963.3	8.0	7	7	10.6	1.5	1578	1924
2963.3	8.0	14	1	8.2	8.2	676	782
2963.3	8.0	14	1	10.7	10.7	378	658
2963.3	8.0	14	3	8.1	2.7	1688	1609
2963.3	8.0	14	3	10.8	3.6	1419	1335
2963.3	8.0	14	5	8.6	1.7	2034	2158
2963.3	8.0	14	5	9.7	1.9	1755	1995
2963.3	8.0	14	7	9.1	1.3	2599	2588
2963.3	8.0	14	7	11.2	1.6	2261	Reference

จากตารางที่ 4.2 และ 4.3 เราสามารถสรุปได้ว่าสมการทำนายกำลังอัดแบบจำลองที่นำเสนอ มีประสิทธิภาพในการทำนายกำลังอัดของดินซีเมนต์ชนิดต่างๆ ที่ปริมาณความชื้นก่อนผสม ด้านแห้งและด้านเปียกของปริมาณความชื้นเหมาะสม ภายใต้พลังงานในช่วง 293.3 ถึง 2963.3 กิโล จูลต่อคูลิกาคเมตร และอายุบ่ำน 7 ถึง 120 วัน ผลการคำนวณที่ได้มีค่าไกกลเคียงกับผลทดสอบมาก ($0.8 < q_{up}/q_{ul} < 1.2$) ความผิดพลาดที่เกิดขึ้นอยู่ในกรณที่ที่ยอมรับได้ในงานวิศวกรรม

4.9 การประยุกต์ใช้แบบจำลองในการทำนายกำลังอัดของดินซีเมนต์บดอัดในถนน

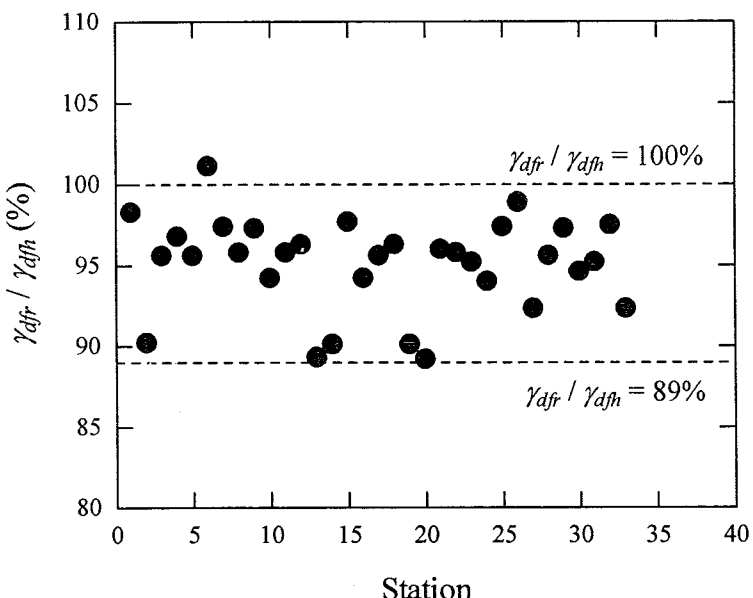
เพื่อให้เกิดประโยชน์สูงสุดจากการวิจัยนี้ จำเป็นอย่างยิ่งที่จะต้องประยุกต์ใช้แบบจำลอง ดังกล่าวในการทำนายการเพิ่มขึ้นของกำลังอัดของดินซีเมนต์บดอัดในถนน ปัจจัยที่มีอิทธิพลต่อ กำลังอัดของดินซีเมนต์บดอัดในถนน คือความแปรปรวนของวัสดุพิวาก ปริมาณความชื้น วิธีการ บดอัด และความไม่สม่ำเสมอของการผสมดินกับซีเมนต์ ปัจจัยเหล่านี้ได้รับการศึกษาโดยการเก็บ ตัวอย่างดินซีเมนต์จากถนนที่ได้รับการปรับปรุงด้วยเทคนิคการหมุนเวียนวัสดุชั้นทางเดินมาใช้ใหม่ (Pavement recycling technique) สายหนึ่งในจังหวัดเพชรบูรณ์ ที่สถานี (Station) ต่างๆ จำนวน 33

สถานี โดยแต่ละสถานีมีระยะห่างกันเท่ากับ 150 เมตร ตัวอย่างคินซีเมนต์ในสนามจะถูกเก็บโดยใช้ Coring cutter และตัดแต่งให้มีอัตราส่วนเส้นผ่านศูนย์กลางต่อความสูงเท่ากับ 1.0 ซึ่งเท่ากับก้อนตัวอย่างที่ใช้ทดสอบในห้องปฏิบัติการ ในการทดสอบจะควบคุมให้ปริมาณความชื้นของคินซีเมนต์บดอัดที่ได้จากการผสมในสนามและบดอัดในห้องปฏิบัติการ (Field roller-compacted sample) มีค่าอยู่ระหว่าง OMC±2 และหน่วยน้ำหนักแห้งมีค่าระหว่าง 98 ถึง 100 เปอร์เซ็นต์ ของหน่วยน้ำหนักแห้งสูงสุดของคินซีเมนต์ โดยที่ปริมาณความชื้นเหมาะสมและความหนาแน่นแห้งสูงสุดนี้เป็นค่าเฉลี่ยของผลทดสอบการบดอัดแบบสูงกว่ามาตรฐานของคินตัวอย่างที่เก็บจากบริเวณก่อสร้าง ซึ่งมีค่าเท่ากับ 6.4 เปอร์เซ็นต์ และ 23.05 กิโลกรัมต่อลูกบาศก์เมตร ตามลำดับ การผสมในสนามจะกระทำโดยเครื่องจักร ซึ่งจะบุดลองผิวทางเดินที่ชำรุด (ความหนาประมาณ 20 เซนติเมตร) ผสมกับน้ำและปูนซีเมนต์ในปริมาณที่กำหนด ปริมาณปูนซีเมนต์ที่ใช้ได้จากการสุ่มทดสอบ (Trial test) ในห้องปฏิบัติการจนได้กำลังอัดเท่ากับ 2800 กิโลปascal ที่อายุนับ 7 วัน ปริมาณความชื้นและหน่วยน้ำหนักแห้งของคินซีเมนต์บดอัดที่สถานีต่างๆ แสดงดังรูปที่ 4.24 ซึ่งแสดงให้เห็นว่าปริมาณความชื้นและหน่วยน้ำหนักแห้งอยู่ในเกณฑ์ที่กำหนด



รูปที่ 4.24 หน่วยน้ำหนักแห้งและปริมาณความชื้นของคินซีเมนต์บดอัดในสนาม

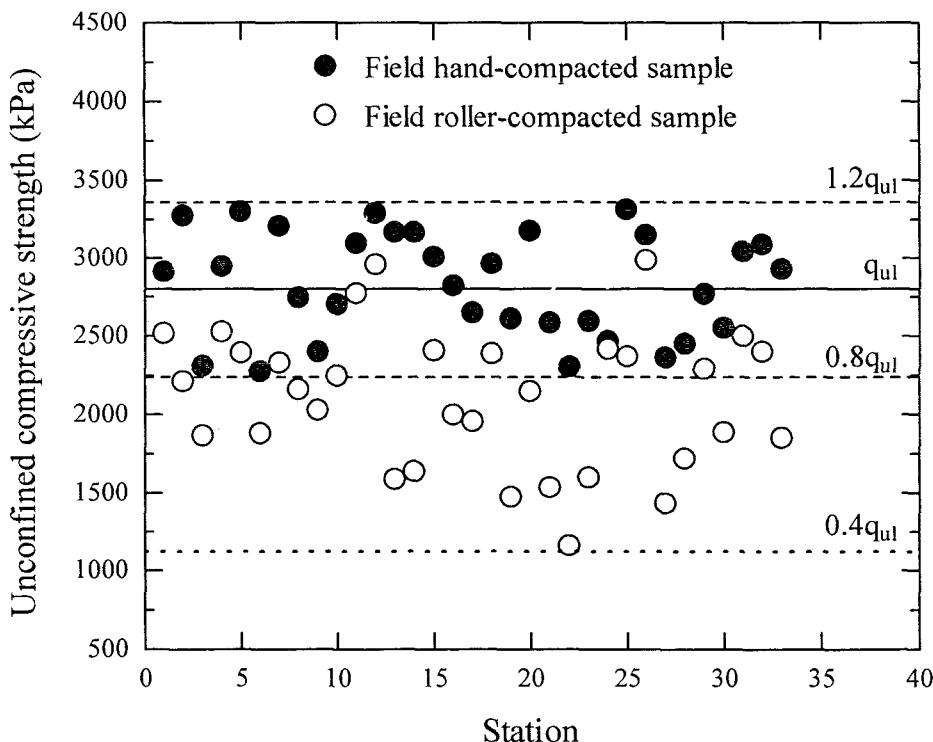
ประสิทธิภาพการบดอัดคินซีเมนต์ในสนามด้วยรถบดอัดถูกความคุณโดยกำหนดอัตราส่วนหน่วยน้ำหนักแห้งของคินซีเมนต์บดอัดที่สถานีต่างๆ โดยที่ γ_{df} คือหน่วยน้ำหนักแห้งของคินตัวอย่างที่ได้จากการทดสอบในสนามและทำการบดอัดซึ่งได้จากการทดสอบกรวยทราราย (Sand cone test) และ γ_{dfh} คือหน่วยน้ำหนักแห้งของคินตัวอย่างที่ได้จากการทดสอบในสนามและทำการบดอัดในห้องปฏิบัติการจะเห็นได้ว่าอัตราส่วนหน่วยน้ำหนักแห้งมีค่าประมาณ 89 ถึง 100 เปอร์เซ็นต์ ด้วยข้อมูลส่วนใหญ่ที่มีอัตราส่วนน้ำหนักแห้งสูงกว่า 95 เปอร์เซ็นต์ สิ่งนี้ทำให้เราสามารถสรุปได้ว่าประสิทธิภาพการบดอัดของคินในสนามเป็นได้ตามที่กำหนด



รูปที่ 4.25 อัตราส่วนหน่วยน้ำหนักแห้งที่สถานีต่างๆ

รูปที่ 4.26 แสดงกำลังอัดของคินซีเมนต์บดอัดที่ได้จากการทดสอบในสนามและทำการบดอัดในห้องปฏิบัติการ (Field hand-compacted strength, q_{uh}) และกำลังอัดของคินซีเมนต์บดอัดที่ได้จากการทดสอบในห้องปฏิบัติการ (Laboratory strength, q_u) เปรียบเทียบกับกำลังอัดของคินซีเมนต์ที่ได้จากการทดสอบในห้องปฏิบัติการ (Laboratory strength, q_u) จะเห็นได้ว่ากำลังอัดที่ได้จากการทดสอบในสนามและทำการบดอัดในห้องปฏิบัติการมีค่าระหว่าง 0.8 ถึง 1.2 เท่าของกำลังอัดที่ได้จากการทดสอบในห้องปฏิบัติการ ซึ่งอาจเกิดจากความแปรปรวนของ อัตราส่วนปริมาณความชื้นต่อปริมาณปูนซีเมนต์ (Soil-water/cement ratio) ในสนาม เนื่องจากในการปรับปรุงถนนที่ชำรุด ปริมาณปูนซีเมนต์และปริมาณน้ำที่ใช้มีค่าคงที่ตลอดสถานีทดสอบ แต่อาจมีการแปรปรวนของปริมาณความชื้นและสภาพชื้นดินอันเกิดจากอัตราส่วนผสมระหว่างหินคลุก (ชั้นทาง) และคินลูกรัง (ชั้นรองพื้นทาง) ในแต่ละสถานีทดสอบ อัตราส่วนกำลังอัดนี้มีค่าประมาณเท่ากับ

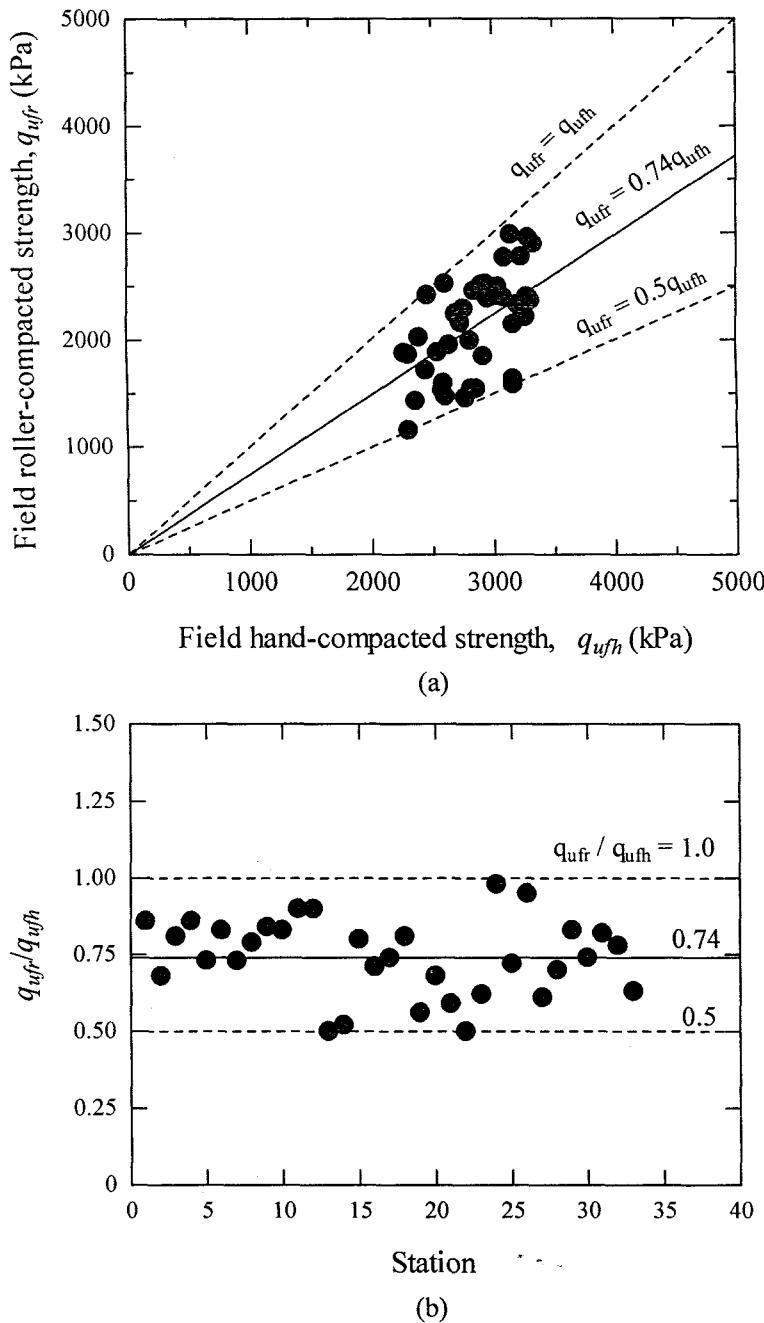
อัตราส่วนระหว่างกำลังอัดของดินซีเมนต์ที่ได้จากการทำนายและที่ได้จากห้องปฏิบัติการ สิ่งนี้เป็นการยืนยันให้เห็นว่าในทางปฏิบัติ เราสามารถใช้สมการทำนายกำลังอัดที่นำเสนอนี้มาใช้ในการประมาณกำลังอัดของดินซีเมนต์บดอัด โดยมีความผิดพลาดที่ยอมรับได้



รูปที่ 4.26 กำลังอัดของดินซีเมนต์บดอัดที่ได้จากการทดสอบในสนามและทำการบดอัดในห้องปฏิบัติการและโดยรอบด้วยท่ออายุบ่ม 7 วัน

ถึงแม้ว่าประสิทธิภาพการบดอัดดินในสนามมีค่าสูงพอสมควรในทางปฏิบัติ แต่ผลทดสอบ (รูปที่ 4.26) แสดงให้เห็นถึงความแตกต่างของกำลังอัดของดินซีเมนต์ที่ทดสอบในสนามและบดอัดโดยรถบดอัดและโดยการบดอัดในห้องปฏิบัติการ กำลังอัดของดินตัวอย่างที่ได้จากการทดสอบในสนามและบดอัดด้วยรถบดอัด (q_{uf}) มีค่าต่ำกว่ากำลังอัดของดินตัวอย่างที่ได้จากการทดสอบห้องปฏิบัติการมากซึ่งมีค่าอยู่ระหว่าง 0.4 ถึง 1.0 เท่าของกำลังอัดที่ได้จากการทดสอบในห้องปฏิบัติการ และมีค่าประมาณ 0.5 ถึง 1.0 เท่าของกำลังอัดที่ได้จากการทดสอบในสนามและบดอัดในห้องปฏิบัติการ ดังแสดงในรูปที่ 4.27 ตัวอย่างดินซีเมนต์ที่ทดสอบในสนามและบดอัดในห้องปฏิบัติการเก็บจากเครื่องผสมดินในส่วนท้ายของเครื่องบด สำหรับบดอัดในห้องปฏิบัติการเก็บจากเครื่อง Coring cutter ที่ตำแหน่งเดียวกับที่เก็บตัวอย่างสำหรับทดสอบในห้องปฏิบัติการ ดังนั้น ดินตัวอย่างที่ได้จะมีปริมาณน้ำและปริมาณซีเมนต์เท่ากัน แต่มีวิธีการบดอัดและสภาพการบ่มที่ความแตกต่างกัน ลักษณะการบดอัดที่แตกต่างกันทำให้ได้ลักษณะของเฟอร์กิล

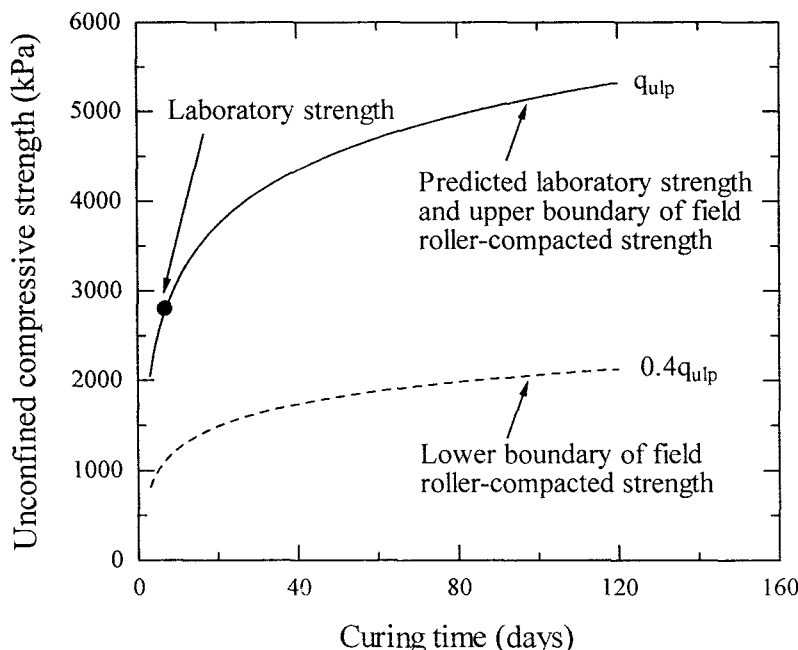
(Fabric) ที่แตกต่างกัน ดังได้อธิบายโดย Day and Daniel (1985) และ Prapaharan et al. (1991) การบ่มในสนามจะเกิดการสูญเสียน้ำมากกว่าในห้องปฏิบัติการเนื่องจากสภาพที่ร้อนชื้นของประเทศไทย ปัจจัยทั้งสองนี้ทำให้กำลังอัดของคินตัวอย่างที่เก็บจากถนนดินซีเมนต์มีค่าน้อยกว่ากำลังอัดของคินซีเมนต์ที่ได้รับการพسمในสนามและบดอัดในห้องปฏิบัติการ



รูปที่ 4.27 ผลเปรียบเทียบกำลังอัดของคินซีเมนต์บดอัดที่ได้จากการพsmในสนามและบดอัดด้วยรถบดอัดกับกำลังอัดของคินซีเมนต์บดอัดที่ได้จากการพsmในสนามและบดอัดในห้องปฏิบัติการ ที่อายุ

บ่ม 7 วัน

จากความรู้ที่ได้ข้างต้น (กำลังอัดของคินซีเมนต์ที่บดอัดโดยรอบอัดจะมีค่าประมาณ 40 ถึง 100 เปอร์เซ็นต์ ของกำลังอัดในห้องปฏิบัติการ) เราสามารถประมาณกำลังอัดของคินซีเมนต์บดอัดในสนามตลอดจนที่ปรับปรุง ได้โดยอาศัยผลทดสอบกำลังอัดของคินซีเมนต์ที่ได้จากการตัวอย่างที่เตรียมในห้องปฏิบัติการ การประมาณกำลังอัดของคินซีเมนต์ที่ผสมในสนามและบดอัดโดยรอบอัดที่อายุบ่ำๆ สามารถกระทำได้ดังแสดงในรูปที่ 4.28 โดยอาศัยสมการที่ (4.6) ดังนั้น กำลังอัดของคินซีเมนต์บดอัดในสนามจะมีค่าอยู่ระหว่างเส้นทึบและเส้นประ



รูปที่ 4.28 การทำนายกำลังอัดของคินซีเมนต์ที่ผสมในสนามและบดอัดด้วยรอบอัด

4.10 ข้อเสนอแนะในการทำงานทั้งในห้องปฏิบัติการและในสนาม

การปรับปรุงผิวจราจรที่เสียหายโดยวิธีการหมุนเวียนวัสดุชั้นทางเดินมาใช้ใหม่ จะเริ่มต้นจากการกำหนดปริมาณปูนซีเมนต์ที่เหมาะสมกับปริมาณความชื้นในสนาม เพื่อให้ได้กำลังอัดที่ต้องการ (Target strength) ในระยะเวลาที่กำหนด จากการศึกษา กำลังอัดที่ต้องการในสนามควรมีค่าไม่น้อยกว่า 2.5 เท่าของกำลังอัดที่ต้องการในห้องปฏิบัติการ เนื่องจากความแปรปรวนของสภาพชั้นดิน ปริมาณความชื้น วิธีการบดอัด และสภาพการบ่ม

เพื่อให้ได้ปริมาณปูนซีเมนต์ที่สอดคล้องกับกำลังอัดที่ต้องการ จำเป็นต้องเก็บตัวอย่างดินในสนามหลายๆ ตำแหน่ง และทำการทดสอบหลายครั้ง (Trial test) จนได้ปริมาณปูนซีเมนต์ที่เหมาะสม การทำงานสามารถทำได้ง่ายขึ้น โดยการใช้กำลังอัดที่อายุบ่ำๆ ปริมาณซีเมนต์ และปริมาณน้ำค่าหนึ่ง เป็นค่าอ้างอิง เพื่อทำนายอัตราส่วนปริมาณน้ำต่อปริมาณซีเมนต์ (Soil-water/cement

ratio, w/C) ภายใต้พลังงานและอายุบ่มที่ต้องการ โดยที่ความแปรปรวนของผลทำงานมีค่าอยู่ระหว่าง 80 ถึง 120 เปอร์เซ็นต์

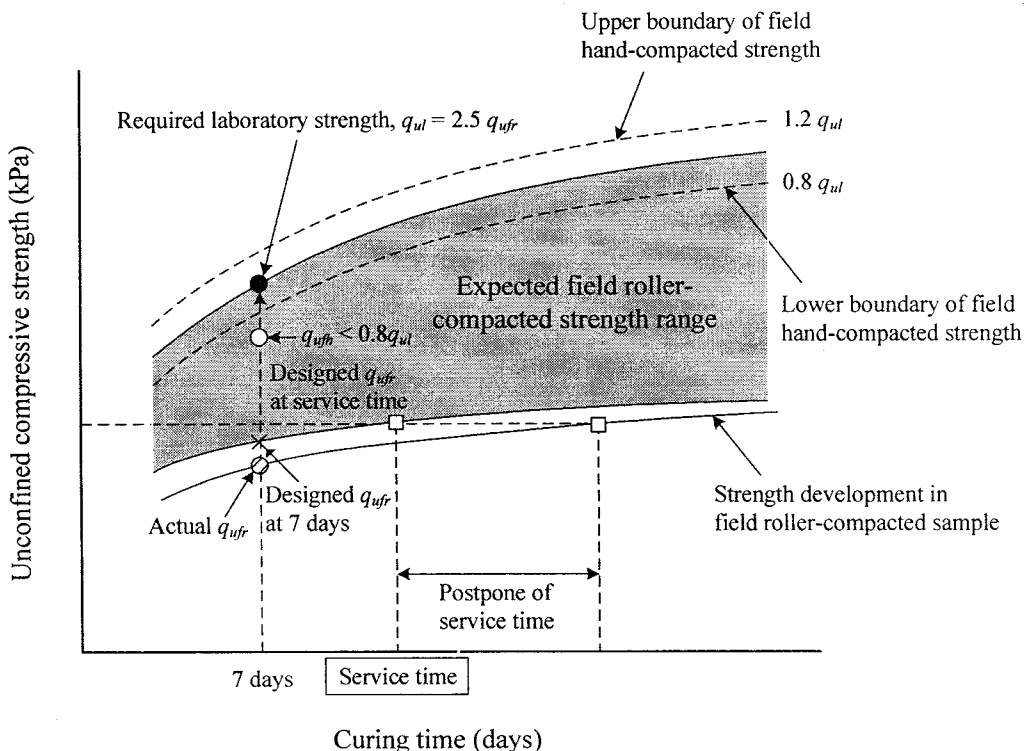
เมื่อได้ปริมาณปูนซีเมนต์สำหรับถนนทึ่งเส้นที่ต้องการปรับปรุงแล้ว ก็เริ่มทำการปรับปรุงถนนด้วยปริมาณน้ำและซีเมนต์ที่หาได้จากห้องปฏิบัติการและบดอัดด้วยรถบดจนได้พลังงานการบดอัดสูงกว่ามาตรฐาน การควบคุมประสิทธิภาพการบดอัดสามารถกระทำโดยการตรวจสอบอัตราส่วนหน่วยน้ำหนักแห้ง (ภายในเวลาไม่เกิน 1 ชั่วโมง หลังการปรับปรุงถนน) ให้มีค่าไม่น้อยกว่า 90 เปอร์เซ็นต์ ที่สภาวะนี้ กำลังอัดของคินซีเมนต์ที่ผสมในถนนและบดอัดโดยรถบดอัดมีค่าระหว่าง 80 ถึง 100 เปอร์เซ็นต์ ของกำลังอัดของคินซีเมนต์ที่ผสมในถนนและบดอัดในห้องปฏิบัติการ เมื่อบดอัดถนนแล้วเสร็จ ก็ต้องทำการตรวจสอบกำลังอัดของถนนคินซีเมนต์ว่าเป็นไปตามที่กำหนดในวันที่เปิดใช้ถนน (Service time) หรือไม่ โดยการเก็บตัวอย่างจากถนนมาทำการทดสอบกำลังอัดแกนเดียว

ขั้นตอนการทำงานและตรวจสอบคุณสมบัติของถนนที่ได้รับปรับปรุงด้วยวิธีหมุนเวียนวัสดุ ขั้นทางเดินมาใช้ใหม่ เมื่อทราบค่ากำลังอัดที่ต้องการสำหรับวันเปิดใช้ถนน (Service time) สามารถสรุปได้ดังนี้ (ครูปที่ 4.29)

1. ประมาณกำลังอัดที่ต้องการในถนนที่อายุบ่ม 7 วัน ซึ่งอาจหากการทดสอบหรือการประมาณจากสมการที่ (4.6)
2. ประมาณกำลังอัดที่ต้องการในห้องปฏิบัติการที่อายุบ่ม 7 วัน โดยใช้อัตราส่วนปีลดอกัยเท่ากับ 2.5
3. หาอัตราส่วนปริมาณซีเมนต์ที่ให้กำลังอัดที่ต้องการตามข้อ 2 ที่ปริมาณความชื้นเหมาะสม และพลังงานการบดอัดแบบสูงกว่ามาตรฐาน
4. ทำการปรับปรุงถนนด้วยเทคนิคการหมุนเวียนวัสดุชั้นทางเดินมาใช้ใหม่ โดยการควบคุมอัตราส่วนหน่วยน้ำหนักแห้งให้มีค่าไม่น้อยกว่า 90 เปอร์เซ็นต์
5. เก็บตัวอย่างคินซีเมนต์ที่ผสมในถนน เพื่อนำมาทำการทดสอบด้วยแบบสูงกว่ามาตรฐานในห้องปฏิบัติการ
6. ทำการทดสอบกำลังอัดแกนเดียวของถนนตัวอย่างที่อายุบ่ม 7 วัน
7. ถ้ากำลังอัดที่ได้จากการทดสอบมีค่ามากกว่า 80 เปอร์เซ็นต์ ของกำลังอัดที่ต้องการในห้องปฏิบัติการ เราสามารถสรุปได้ว่า ถนนที่สถาันนี้มีความแข็งแรงตามเกณฑ์
8. ถ้าพบว่ากำลังอัดมีค่าน้อยกว่า 80 เปอร์เซ็นต์ ของกำลังอัดที่ต้องการในห้องปฏิบัติการ ต้องทำการเก็บตัวอย่างจากถนน เพื่อนำตัวอย่างมาทดสอบในห้องปฏิบัติการ
 - 8.1 ถ้าได้กำลังอัดตามต้องการ แสดงว่าถนนมีความแข็งแรงตามเกณฑ์

8.2 ถ้าพบว่ากำลังอัดของตัวอย่างดินซีเมนต์จากถนนมีค่าต่ำกว่าที่กำหนดไม่มากนัก อาจเลื่อนเวลาการเปิดใช้งานในช่วงสถานีที่มีปัญหาออกไปอีก ดังแสดงในรูปที่ 4.28

8.3 ถ้าพบว่ากำลังอัดของตัวอย่างดินซีเมนต์จากถนนมีค่าต่ำกว่าที่กำหนดมาก ทำการปรับปรุงถนนเฉพาะสถานีที่มีปัญหา



รูปที่ 4.29 สรุปขั้นตอนการทำงานการปรับปรุงถนนด้วยวิธีหมุนเวียนวัสดุชั้นทางเดินมาใช้ใหม่

บทที่ 5

บทสรุป

งานวิจัยนี้ประกอบด้วยสองส่วนประกอบหลัก อันได้แก่ การศึกษาลักษณะและการทำนายกราฟการบดอัด และการศึกษาอิทธิพลของปริมาณความชื้น ปริมาณซีเมนต์ พลังงานการบดอัด และอายุบ่ม ต่อกำลังอัดของดินซีเมนต์บดอัด ร่วมถึงการสร้างสมการทำนายกำลังอัดของดินซีเมนต์บดอัดในห้องปฏิบัติการและในสถานที่ บทสรุปของงานวิจัยนี้สามารถกล่าวโดยสรุปได้ดังนี้

แบบจำลองทำนายกราฟการบดอัด

1. เส้นกราฟการบดอัดทางด้านแห้งของดินบดอัดชนิดหนึ่งๆ ถูกควบคุมโดยตัวแปร $m/S^{0.5}$ ถึงแม้ว่าดินบดอัดจะมีปริมาณความชื้นและหน่วยน้ำแห้งต่างกัน แต่ตัวแปร $m/S^{0.5}$ จะมีค่าคงที่สำหรับทุกพลังงานการบดอัด ตัวแปร $(m/S^{0.5})/(m/S^{0.5})_{st}$ ถูกสร้างขึ้นเพื่อจัดอิทธิพลของชนิดของดิน
2. ที่ปริมาณความชื้นเหมาะสมและปริมาณความชื้นทางด้านเปียก เส้นกราฟการบดอัดจะเป็นเส้นโค้งเดียวกันสำหรับทุกพลังงานการบดอัด
3. แบบจำลองที่เสนอในรายงานฉบับสมบูรณ์นี้นอกจากจะสามารถใช้สร้างกราฟการบดอัดได้กับดินทุกชนิดและทุกพลังงานการบดอัดแล้ว ยังสามารถประมาณค่าพลังงานการบดอัดที่ต้องใช้เพื่อให้ได้ค่าปริมาณความชื้นเหมาะสมและหน่วยน้ำหนักแห้งสูงสุดที่ต้องการ อีกทั้งยังสามารถใช้ตรวจสอบความถูกต้องของผลการทดสอบในห้องปฏิบัติการได้อีกด้วย

แบบจำลองทำนายกำลังอัดของดินซีเมนต์บดอัด

4. ความสัมพันธ์ระหว่างกำลังอัดและปริมาณความชื้น ของดินซีเมนต์บดอัดในช่วงปริมาณความชื้นระหว่าง 80 ถึง 140 เปอร์เซ็นต์ ของปริมาณความชื้นเหมาะสม (Optimum moisture content) มีลักษณะคล้ายระฆังกว่า ปริมาณความชื้นที่ให้กำลังอัดสูงสุด คือปริมาณความชื้นเหมาะสมของดินก่อนผสมซีเมนต์
5. ตัวแปรหลักที่มีอิทธิพลต่อกำลังอัดของดินซีเมนต์บดอัดคือด้านเปียก คืออัตราส่วนปริมาณความชื้นต่อปริมาณซีเมนต์ (Soil-water/cement ratio, w/C) พลังงานการบดอัดเพียงแค่มีส่วนช่วยในการลดปริมาณความชื้นเหมาะสม
6. สมการทำนายกำลังอัดของดินเม็ดหยาบผสมซีเมนต์ทุกชนิด ที่ปริมาณความชื้นเหมาะสมและด้านเปียก ที่อายุบ่มได้ สามารถแสดงได้ดังต่อไปนี้

$$\left\{ \frac{q_{(w/C)_D}}{q_{(w/C)_{28}}} \right\} = \left[\frac{(w/C)_{28}}{(w/C)_D} \right]^{0.65} (0.269 + 0.219 \ln D)$$

7. โดยอาศัยแบบจำลองจากการสังเกต (Phenomenological model) เรายสามารถประมาณกำลังอัดของดินซีเมนต์ค้านแห้งได้ทันทีหลังจากทราบค่ากำลังทางค้านเปียกแบบจำลองที่นำเสนอให้ได้รับการตรวจสอบความถูกต้องแล้ว และพบว่าค่าที่ประมาณมีค่าใกล้เคียงกับผลทดสอบ
8. ภายใต้อาชญากรรมเดียวกัน พลังงานการบดอัดที่ใกล้เคียงกัน และปริมาณน้ำและปริมาณซีเมนต์ที่เท่ากัน กำลังอัดของถนนดินซีเมนต์มีค่าน้อยกว่ากำลังอัดของดินซีเมนต์บดอัดในห้องปฏิบัติการประมาณ 0.4 ถึง 1.0 เท่า ดังนั้น กำลังอัดที่กำหนดในห้องปฏิบัติการต้องมีค่ามากกว่ากำลังอัดที่ต้องการในสนามอย่างน้อย 2.5 เท่า
9. ขั้นตอนการทำงานและตรวจสอบคุณสมบัติของถนนที่ได้รับการปรับปรุงด้วยวิธีหมุนเวียนวัสดุชั้นทางเดินมาใช้ใหม่ เมื่อทราบค่ากำลังอัดที่ต้องการสำหรับวันเปิดใช้ถนน ได้นำเสนอในรายงานฉบับสมบูรณ์ โดยอาศัยผลทดสอบทั้งในห้องปฏิบัติการและในสนาม

ประวัตินักวิจัย

นายสุขสันต์ หอพินิจสุข เกิดเมื่อวันที่ 28 พฤศจิกายน พ.ศ. 2518 สำเร็จการศึกษาวิศวกรรมศาสตรบัณฑิต (เกียรตินิยม) สาขาวิศวกรรมโยธา จากมหาวิทยาลัยขอนแก่น ในปี พ.ศ. 2539 วิศวกรรมศาสตร์ดุษฎีบัณฑิต สาขาวิศวกรรมปฐพี จากสถาบันเทคโนโลยีแห่งเอเชีย ในปี พ.ศ. 2541 และวิศวกรรมศาสตรดุษฎีบัณฑิต สาขาวิศวกรรมเทคนิคธรณี จากมหาวิทยาลัย Saga ประเทศญี่ปุ่น ในปี พ.ศ. 2544

นายสุขสันต์ หอพินิจสุข ได้เริ่มปฏิบัติงานในตำแหน่งอาจารย์ สาขาวิศวกรรมโยธา สำนักวิชาชีวกรรมศาสตร์ มหาวิทยาลัยเทคโนโลยีสุรนารี ในปี พ.ศ. 2545 ปัจจุบันดำรงตำแหน่งผู้ช่วยศาสตราจารย์ มีความชำนาญทางด้านลักษณะทางวิศวกรรมของดินเหนี่ยวกรุงเทพ การพัฒนาแบบจำลองดินเหนี่ยว และการปรับปรุงคุณสมบัติทางวิศวกรรมของดินด้วยการผสมซีเมนต์ ปัจจุบันมีผลงานวิจัยตีพิมพ์ในวารสารและสัมมนาวิชาการระดับนานาชาติและระดับประเทศกว่า 50 เรื่อง

Terrel, R.L., Barenberg, E.J., Michell, J.M. and Thomson, M.R. (1979). Soil Stabilization in Pavement Structure a User 's Manual Mixture Design Consideration. Washington : Government Printing Office.

Turnbull, W.J. (1948). Computation of the Optimum Moisture Content in the Moisture-Density Relationship of Soils. Proceedings of the 2nd International Conference on Soil Mechanics and Foundation Engineering, Rotterdam, Vol.4, pp.256-262.

Turnbull, W.J. (1950). Compaction and Strength Tests on Soil. Annual Meeting ASCE (January), 1950.

Washburn, E.W. (1921) .A note on a method of determining the distribution of pore size in a porous material. Proc. Nat. Acad. Sci. 7. pp. 115 – 116.

Wood, L. and Yoder, E.J. (1952) . Soil – cement and construction practices in Geotechnical Engineering. Highway Research Board.

- Nagaraj, T.S. and Srinivasa Murthy, B.R. (1985). Compressibility of partly saturated soils. Journal of Geotechnical Engineering, ASCE, Vol.111, No.7, pp.937-942.
- Nagaraj, T.S. and Tiwari, S.S. (1985). Prediction of strength of partly saturated soils. Proceedings of 1st International Conference on Geomechanics in Tropical Laterite and Saprolitic Soils, Sao Paulo, Brazil, pp.359-370.
- Nagaraj, T.S., Srinivasa Murthy, B.R. and Vatasala, A. (1994), Analysis and Prediction of Soil Behavior, Wiley Eastern Limited, 294p.
- Nagaraj, T.S., Vatasala, A., Srinivasa Murthy, B.R. (1990) .Discussion on "Change in pore size distribution due to consolidation of clay" by Griffiths, F.J. and Joshi, R.C. Geotechnique. Vol.40, No.2, pp.303-305.
- Nontananandh, S., and Yupakorn, A. (2002). Influence of cement content and water content on strength of lateritic soil cement. Proc. Symposium on Soft Ground Improvement and Geosynthetic Applications, Asian Institute of Technology, Bangkok, Thailand, 281-294.
- Pandian, N.S., Nagaraj, T.S. and Manoj, M. (1997). Re-examination of compaction characteristics of fine-grained soil. Geotechnique. Vol.47. No.2. pp.363-366.
- Parker, D.G. and Thornton, S.I. (1976). Permeability of Fly Ash and Fly Ash Stabilized Soil. Federal Highway Administration. Report No.FWHA / RD / M – 0356.
- Portland Cement Association. (1959). Soil – Cement Laboratory Handbook. Illinois: Portland Cement Association.
- Prapaharan, S., White, D.M., and Altschaeffl, A.G. (1991). Fabric of field- and laboratory-compacted clay. Journal of Geotechnical Engineering. Vol. 117. No. 12. pp. 1934-1940.
- Ruennkrairergsa, T. (1982). Principal of Soil Stabilization. Group Training in Road Construction. Bangkok. Thailand. pp. 17 – 26.
- Ramiah, B.K., Viswanath, V. and Krihnamurthy, H.V. (1970). Interrelationship of Compaction and Index Properties. Proceedings of the 2nd Southeast Asian Conference on Soil Engineering, Singapore, 1970, pp.577-587.
- Santucci De Magistris, F. and Tatsuoka, F. (2004). Effects of moulding water content on the stress-strain behavior of a compacted silty sand. Soils and Foundations, Vol.44, No.2, pp.85-101.
- Terashi, M., Tanaka, H. and Okumura, T. (1979). Engineering properties of lime treated marine soils and DMM. Proceedings of 6th Asian Regional Conference on Soil Mechanics and Foundation Engineering, Vol.1, pp.191-194.

- Horpibulsuk, S., Rachan, R. and Katkan, W. (2004). Phenomenological modeling of compaction curve. Proc. 5th International Symposium on Ground Improvement and Geosynthetics, Bangkok, Thailand, pp.131-137.
- Jeng, Y.S. and Strokm, W.E. (1976). Prediction of the Shear Strength and Compaction Characteristics of Compacted Fine-Grained Cohesive Soils, United States Waterways Experiment Station, Soil and Pavement Laboratory, Vicksburg, Miss.
- Joslin, J.C. (1959). Ohio's typical moisture-density curves. American Society for testing and materials, Special Technical Publication, STP 239, pp.111-118.
- Kamaluddin, M. and Balasubramaniam, A.S. (1995). Overconsolidated behavior of cement treated soft clay. Proceedings of 10th Asian Regional Conference on Soil Mechanics and Foundation Engineering, Thailand, 407-412.
- Kamom, M. and Bergado, D.T. (1992). Ground Improvement Techniques. Proceedings of 9th Asian Regional Conference on Soil Mechanics and Foundation Engineering, Bangkok, 2: 526-546.
- Kawasaki, T., Niina, A., Saitoh, S., Suzuki, Y. and Honjo, Y. (1981). Deep mixing method using cement hardening agent. Proceedings of 10th International Conference on Soil Mechanics and Foundation Engineering, Stockholm, 721-724.
- Korfiatis, G.P. and Manikopoulos, C.N. (1982). Correlation of maximum dry density and grain size. Journal of Geotechnical Engineering Division, ASCE, Vol.108, No.GT9, pp.1171-1176.
- Metcalf, J.B. (1977) .Principle and application of cement and lime stabilization. Australian Road Research Board. 20 p.
- Michell, J.K. and Jack, E.K. (1966). The fabric of soil – cement and its formation. Proceeding 14th National Conference on Clay and Clay Minerals. Vol 26. pp. 279 – 305.
- Mitchell, J.K., Hooper, D.R. and Campanella, R.G. (1965). Permeability of compacted clay. Journal of Soil Mechanics and Foundation Division, ASCE, Vol.91, No.4, pp.41-65.
- Miura, N., Horpibulsuk, S., and Nagaraj, T.S. (2001). Engineering behavior of cement stabilized clay at high water content. Soils and Foundations, 41(5): 33-45.
- Moh, Z.C. (1965). Reaction of soil minerals with cement and chemical. Highway Research Board. pp. 39 – 61.
- Nagaraj, T.S. and Bindumadhava. (1992). Analysis of compaction characteristics of fine grained soils. Proceedings of Indian Geotechnical Engineering Conference, Calcutta, Vol.1, pp.441-444.

- Davidson, D.T. and Gardiner, W.F. (1962) Calculation of Standard Proctor Density and Optimum Moisture Content from Mechanical, Analysis, Shrinkage and Factors and Plasticity Index. Highway Research Board, Proceedings of the Annual Meeting, Vol.29, pp.447-481.
- Davidson, D.T., Pitre, G.L., Mateos, M. and Kalankamary, P.G. (1962). Moisture – density, Moisture – strength and compaction characteristic of cement – treated soil mixture. Highway Research Board. pp. 42-63.
- Day, S.R. and Daniel, D.E. (1985). Hydraulic conductivity of two prototype clay liners. Journal of Geotechnical Engineering, ASCE. Vol. 111. No. 8. pp. 957-970.
- Digioia, A.M., Mclearn, R.J., Burn, D.D.L. and Miller, D.E. (1986). Fly ash design manual for road and site application. Interim Report CS – 4419 Research Project 2422 – 2. Electric Power Research Institute.
- Felt, E.J. (1955). Factors influencing physical properties of soil – cement mixture. Highway Research Board. pp.138 – 163.
- Griffith, F.J. and Joshi, R.C. (1989). Change in pore size distribution due to consolidation of clay. Geotechnique. Vol. 39. No. 1. pp. 159 – 167.
- Grimer, F.L. and Krawezyk, J. (1963). Relative between strength and age for soil – cement with particular reference to the prediction of later strength from earlier strength. Magazine Concrete Research. pp. 21 – 30.
- Gurtug, Y. and Sridharan. (2002). Prediction of compaction characteristics of fine-grained soils. Geotechnique, Vol.52, No.10, pp.761-763.
- Herzog, A. and Mitchell, J.K. (1963). Reaction accompanying stabilization of clay with cement. Highway Research Record. pp. 146 – 171.
- Horpibulsuk, S., Miura, N. and Nagaraj, T.S. (2003). Assessment of strength development in cement – admixed high water content clay with Abrams's law as a basic. Geotechnique. Vol. 53. No. 4. pp. 439–444.
- Horpibulsuk, S., Miura, N. and Bergado, D.T. (2004) . Undrained shear behavior of cement admixed clay at high water content. Journal of Geotechnical and Geoenvironmental Engineering, ASCE. Vol.130, No.10, pp.1096-1105.
- Horpibulsuk, S., Miura, N., Nagaraj, T.S. (2005). Clay-water/cement ratio identity of cement admixed soft clay. Journal of Geotechnical and Geoenviromeal Engineering, ASCE, Vol.131, No.2, pp.187-192.

เอกสารอ้างอิง

เกยม เพชรเกตุ และ พินิต ตั้งนุญเติม (2540). การปรับปรุงคุณภาพดินด้วยปูนซีเมนต์ปอร์ตแลนด์.
โยธาสาร. หน้า 30 – 39.

ชัชวาล เศรษฐบุตร (2536). ค้อนกรีทเทก โนโลยี. กรุงเทพฯ :บริษัทคอนกรีตผสมเสร็จซีแพค.

ธีรชาติ รื่นไกรฤกษ์ และสมบัติกระแสง จรัสกร (2544). กำลังรับแรงอัดของดินที่มีความหนาแน่น
แตกต่างกัน. รายงานวิจัยฉบับที่ วพ. 188, ศูนย์วิจัยและพัฒนางานทาง. กรมทางหลวง.

มนสิช สาริกะภูมิ และ วุฒิ จินตนawan (2539). คุณสมบัติทางแร่ที่ทางของถ่านหิน (Fly Ash), Slag
และ Silica Fume. โยธาสาร. หน้า 26–32.

สุขสันติ หอพิมูลสุข และ รุ่งลาวัลย์ ราชัน (2546). ลักษณะการอัดตัวดินน้ำและการซึมผ่านน้ำของ
ดินเหนียวซีเมนต์. วิศวกรรมสาร ฉบับวิจัยและพัฒนา. หน้า 25–31.

สมชาย กอกคำแหง (2539). ศักยภาพการนำถ่านหินไปใช้ประโยชน์. โยธาสาร. หน้า 31
-39.

ASTM, Annual Book of ASTM Standards, West Conshohocken, PA, 2001.

Akoto, B.K.A. (1988). Influence of Fly Ash on the Strength Characteristics of Lime Lateritic Soil
Mixture. Australian Road Research. pp. 224 – 231.

American Society for Testing Material. (1989). ASTM C 618 – 89: Specification for fly ash and
raw or calcined natural pozzolan for use as a mineral admixture in Portland cement
concrete :ASTM.

Bell, F.G. (1976). The influence of the mineral content of clay on their stabilization with
cement. Association of Engineering Geologists. pp. 267 – 278.

Blotz, L.R., Benson, C.H. and Boutwell, G.P. (1998). Estimating Optimum Water Content and
Maximum Dry Unit Weight for Compacted Clays. Journal of Geotechnical Engineering,
ASCE, Vol.124, pp.907-912.

Boutwell, G. (1996). Effects of variation of fill construction on the material properties and the
subsequent fill performance. Independent Study Rep., School of Civil engineering,
Georgia Institute of Technology, Atlanta, Ga., 1996.

Daniel, D. and Benson, C. (1990). Water content-density criteria for compacted soil liners. Journal
of Geotechnical Engineering, ASCE, Vol.116, No.12, pp.1181-1130.

Davidson, D.T. (1961). Soil stabilization with Portland cement. Highway Research Board. 200 p.